

Physik der sozio-ökonomischen Systeme *mit dem Computer*

JOHANN WOLFGANG GOETHE UNIVERSITÄT
14.11.2025

MATTHIAS HANAUSKE

*FRANKFURT INSTITUTE FOR ADVANCED STUDIES
JOHANN WOLFGANG GOETHE UNIVERSITÄT
INSTITUT FÜR THEORETISCHE PHYSIK
ARBEITSGRUPPE RELATIVISTISCHE ASTROPHYSIK
D-60438 FRANKFURT AM MAIN
GERMANY*

5. Vorlesung

Plan für die heutige Vorlesung

- Kurze Wiederholung der Inhalte der 4. Vorlesung
- Numerisches Lösen von Differentialgleichungen
- Einführung in die evolutionäre Spieltheorie
 - Die Differentialgleichung eines evolutionären, symmetrischen (2x3)-Spiels
 - Die 19 Zeeman – Klassen
- Anwendungsfelder Spieltheorie
 - Anwendungsfelder in den Wirtschafts- Sozialwissenschaften und Biologie
 - Experimentelle Ökonomie
 - Die Finanzkrise als Falke-Taube Spiel
 - Die Entstehung einer dritten Strategie im Elfmeter-Spiel (Nesken Effekt)
 - Evolutionäre Entwicklung einer Eidechsen Population als symmetrisches (2x3)-Spiel
 - Das Räuber-Beute Spiel und die Lotka-Volterra-Gleichung
 - Die Klimakrise als Populationsdilemma

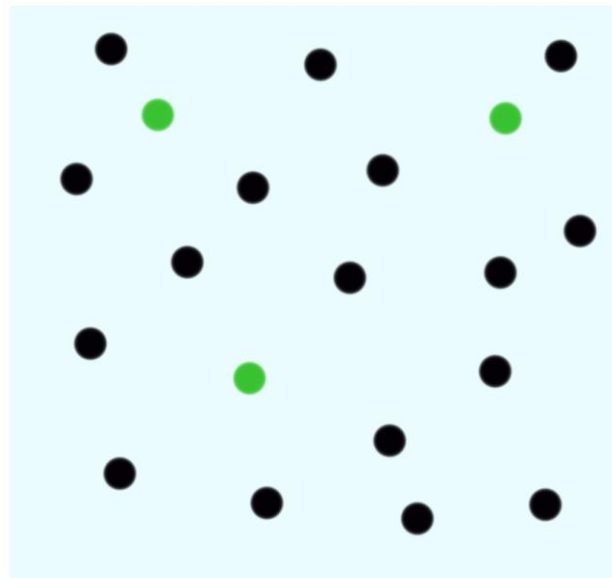
Inhalte Vorlesung 4

- Einführung in die Evolutionäre Spieltheorie
 - Die Differentialgleichung eines evolutionären, symmetrischen (2x2)-Spiels
 - Dominante Spiele
 - Koordinationsspiele
 - Anti-Koordinationsspiele
 - Das System von Differentialgleichung eines evolutionären, unsymmetrischen (2x2)-Spiels (Bi-Matrix Spiele)
 - Eckenspiele (Corner Class Games)
 - Sattelpunktspiele (Saddle Class Games)
 - Zentrumsspiele (Center Class Games)

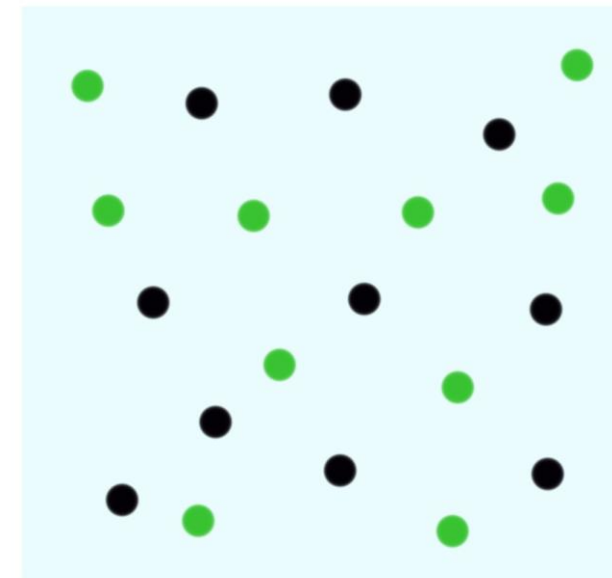
Evolutionäre Spieltheorie

Symmetrische (2x2)-Spiele einer Population

Die evolutionäre Spieltheorie betrachtet die zeitliche Entwicklung des strategischen Verhaltens einer gesamten Spielerpopulation.



zeitliche
Entwicklung
der
Population



$x(0)=0.15$

$x(10)=0.5$

Mögliche Strategien: (grün, schwarz), Parameter t stellt die „Zeit“ dar.
 $x(t)$: Anteil der Spieler, die im Zeitpunkt t die Strategie „grün“ spielen.

Nimmt man zusätzlich ein symmetrisches Spiel an ($\hat{\$} := \hat{\$}^A = \left(\hat{\$}^B\right)^T$), in welchem die Auszahlungswerte (Fitness-Werte) der Populationsgruppen gleich sind, so kann man die beiden Gruppen von ihrer mathematischen Struktur her als ununterscheidbare Spielergruppen mit identischen Populationsvektoren $x(t) = y(t)$ annehmen. Die Differentialgleichung schreibt sich dann wie folgt:

$$\frac{dx(t)}{dt} = [(\$_{11} - \$_{21})(x - x^2) + (\$_{12} - \$_{22})(1 - 2x + x^2)] x(t) =: g(x) \quad (3)$$

Verallgemeinert man diese Differentialgleichung wieder auf mehr als zwei Strategien, so kann man abkürzend die folgende Formulierung schreiben:

$$\frac{d\vec{x}}{dt} = \hat{\mathbf{x}} (\hat{\$} \vec{x}) - \left((\hat{\$} \vec{x})^T \vec{x} \right) \vec{x}$$

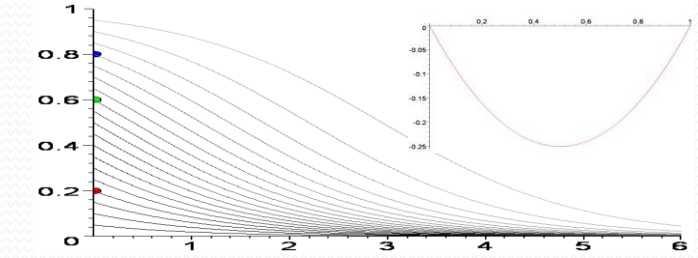
Klassifizierung von evolutionären, symmetrischen (2x2)-Spielen

- **Dominante Spiele**

(2. Strategie dominiert 1. Strategie)



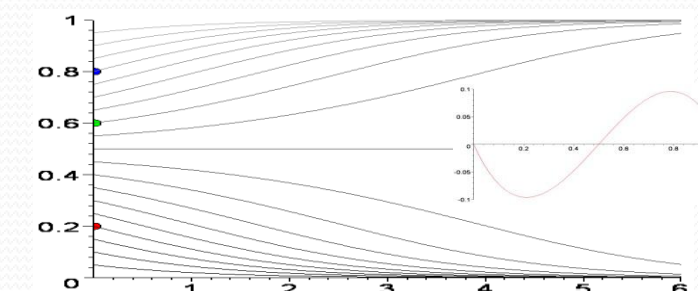
Es existiert ein Nash - Gleichgewicht, welches die anderen Strategien dominiert. ESS bei $x=0$.



- **Koordinationsspiele**



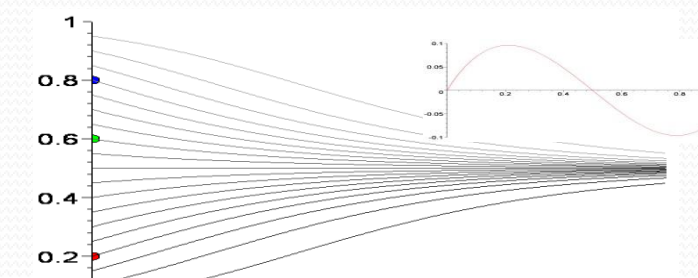
Es existieren drei Nash - Gleichgewichte und zwei reine ESS, die abhängig von der Anfangsbedingung realisiert werden.



- **Anti - Koordinationsspiele**



Es existieren drei Nash - Gleichgewichte aber nur eine gemischte ESS, die unabhängig von der Anfangsbedingung realisiert wird.

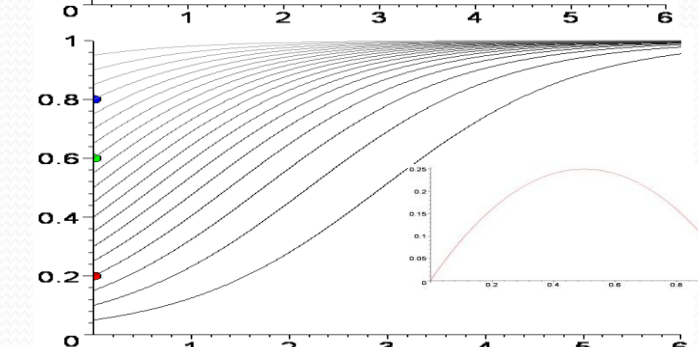


- **Dominante Spiele**

(1. Strategie dominiert 2. Strategie)

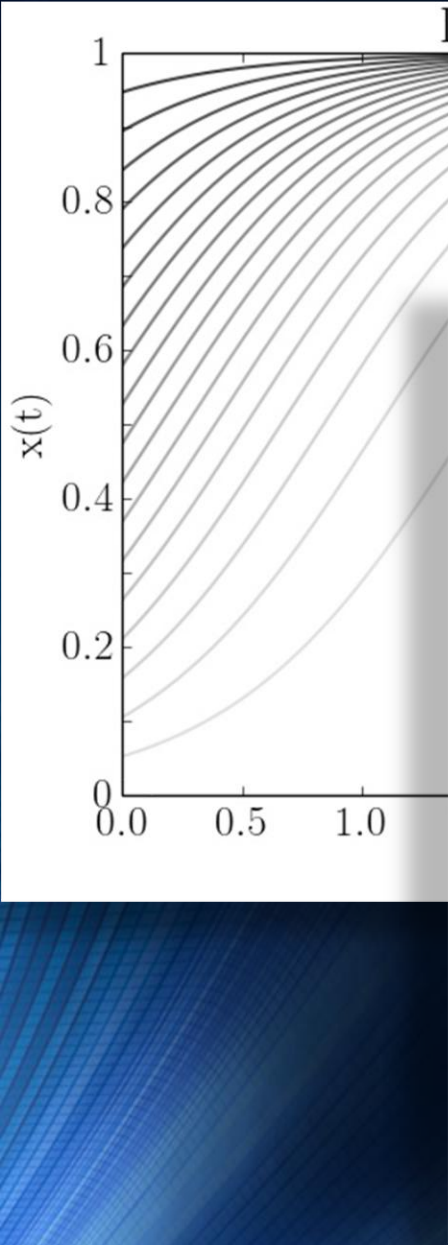


Es existiert ein Nash - Gleichgewicht, welches die anderen Strategien dominiert. ESS bei $x=1$.



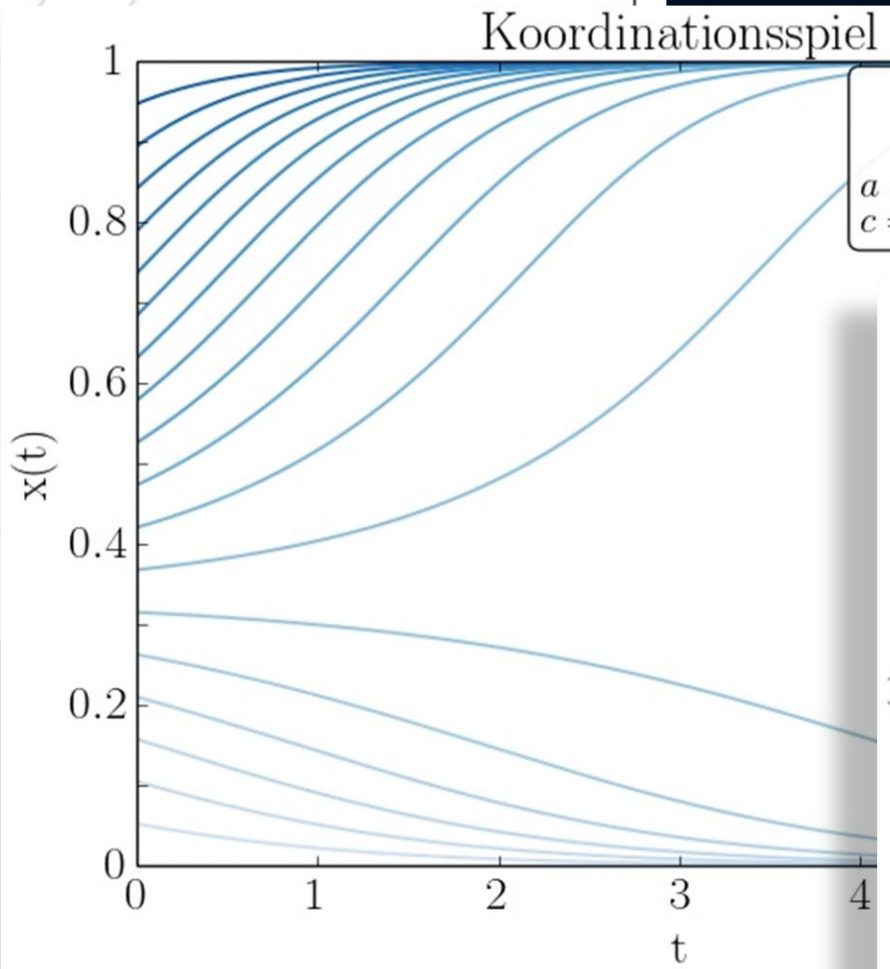
Dominantes Spiel

$$\hat{\$} = \begin{pmatrix} a & b \\ c & d \end{pmatrix}$$
$$a = -7, b = -1$$
$$c = -9, d = -3$$

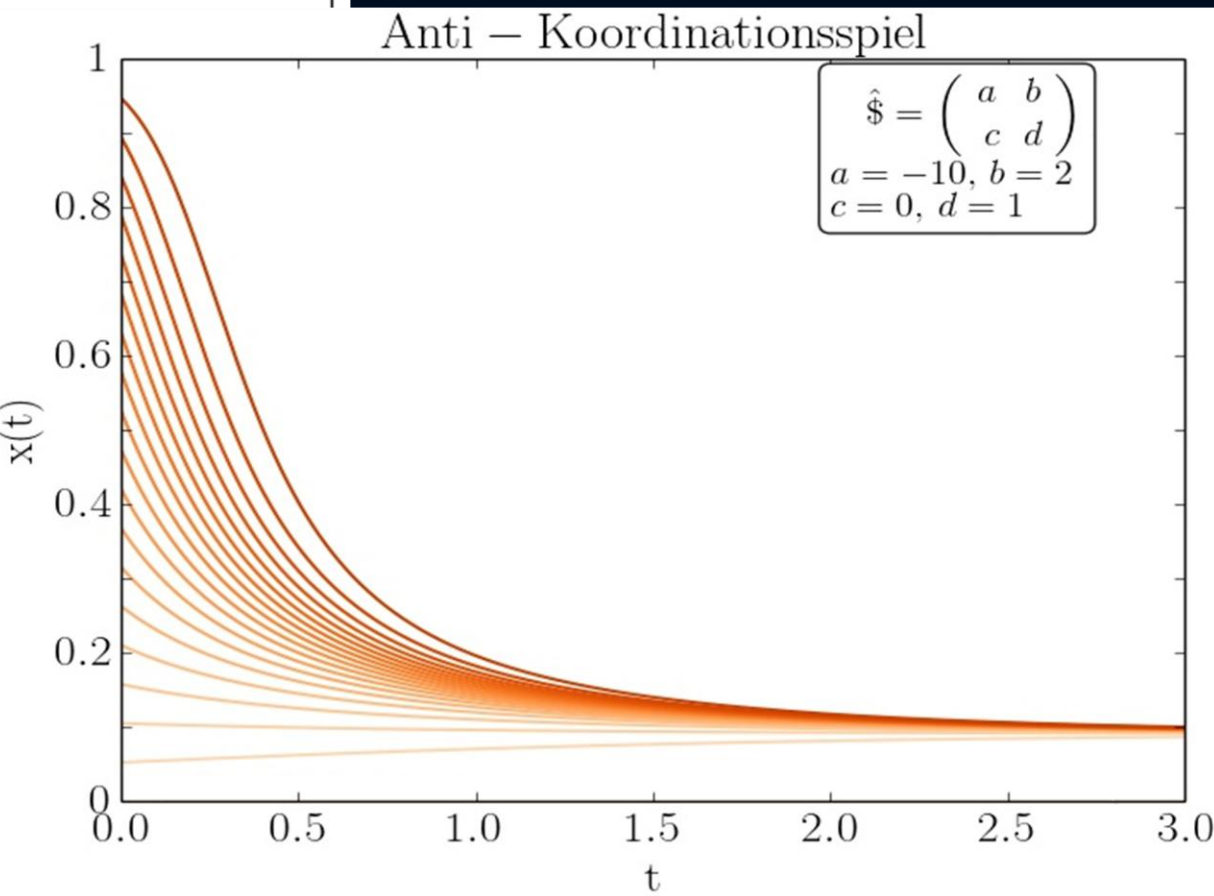


Koordinationsspiel

Lösen des evolutionären Spiels
mit Python Version evol1.py



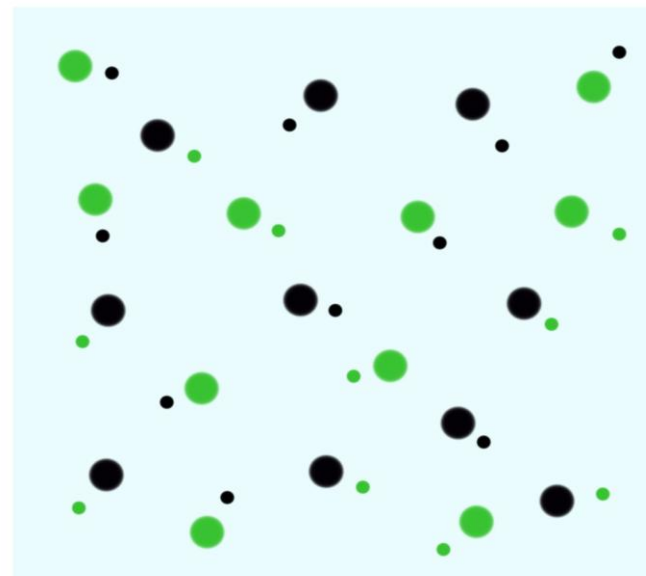
Anti – Koordinationsspiel



Evolutionäre Spieltheorie

Unsymmetrische (2x2)-Spiele (Bimatrixspiele) zweier Populationen

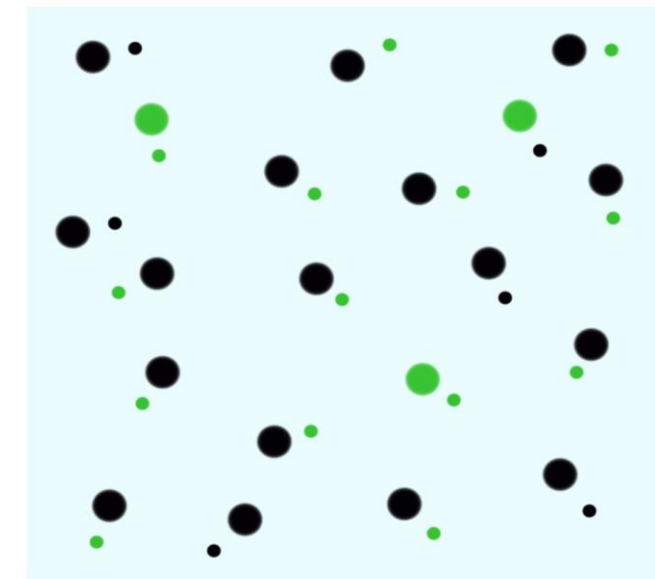
Bei unsymmetrischen (2x2)-Spielen besteht die zugrundeliegende Population aus zwei Gruppen (hier große und kleine Kreise). Aufgrund der unterschiedlichen Auszahlungsmatrizen können die Populationsgruppen sich in ihren Strategieentscheidungen (grün, schwarz) unterschiedlich entwickeln.



$$x(0)=0.5 \quad , \quad y(0)=0.5$$



zeitliche
Entwicklung
der
Population



$$x(10)=0.15 \quad , \quad y(10)=0.7$$

Mögliche Strategien: (grün, schwarz), Parameter t stellt die „Zeit“ dar.

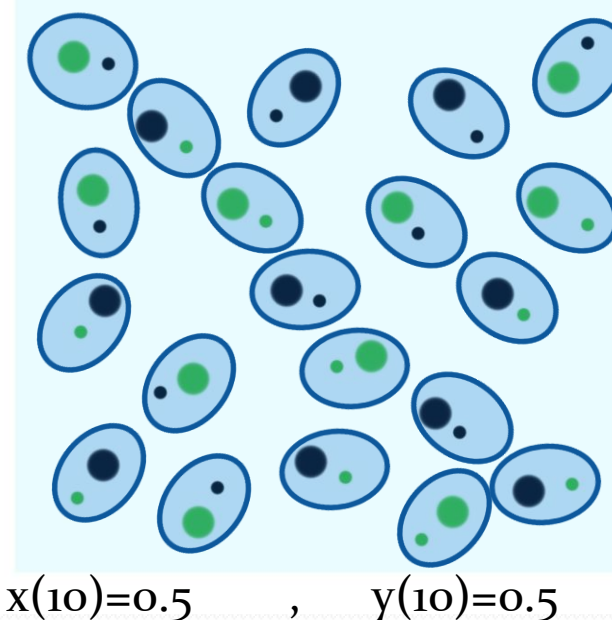
$x(t)$: Anteil der großen Spieler, die im Zeitpunkt t die Strategie „grün“ spielen.

$y(t)$: Anteil der kleinen Spieler, die im Zeitpunkt t die Strategie „grün“ spielen.

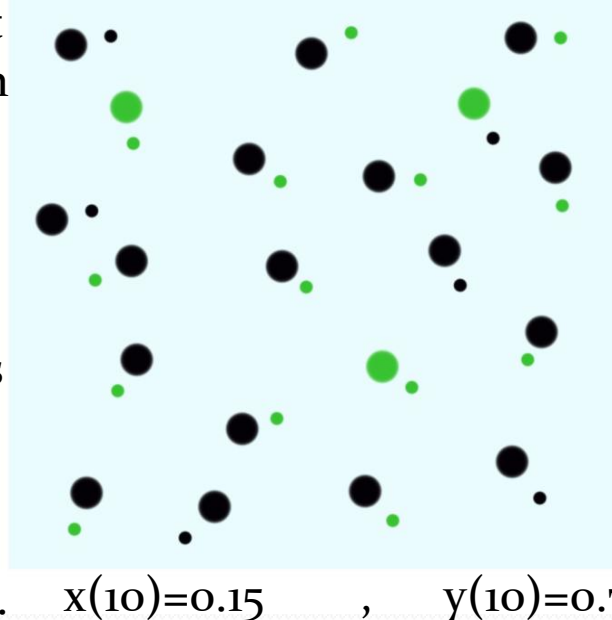
Evolutionäre Spieltheorie

Unsymmetrische (2x2)-Spiele (Bimatrixspiele)

Die einzelnen Akteure innerhalb der betrachteten gesamten Population spielen ein andauernd sich wiederholendes Spiel miteinander, wobei sich jeweils zwei Spieler mit unterschiedlichen Gruppenzugehörigkeiten zufällig treffen, das Spiel spielen und danach zu dem nächsten Spielpartner der anderen Gruppe wechseln .



Die Anfangspopulation von Spielern spielt zum Zeitpunkt $t=0$ das erste Mal das Spiel. Es bilden sich stets Zweier-Gruppen aus großen und kleinen Kreisen.



Das evolutionäre Spiel schreitet voran und die grüne Strategie wird für die kleinen Spieler zunehmend attraktiver ($y(10)=0.7$), wohingegen sie für die großen Spieler zunehmend weniger attraktiv wird ($x(10)=0.15$).

Wir beschränken uns im folgenden auf den 2-Strategien Fall ($m_A = m_B = 2$), lassen jedoch weiter eine Unsymmetrie der Auszahlungsmatrix zu. Die beiden Komponenten der zweidimensionalen gruppenspezifischen Populationsvektoren lassen sich dann, aufgrund ihrer Normalisierungsbedingung, auf eine Komponente reduzieren ($x_2^A = 1 - x_1^A$ und $x_2^B = 1 - x_1^B$). Das zeitliche Verhalten der Komponenten der Populationsvektoren (Gruppe A: $x(t) := x_1^A(t)$ und Gruppe B: $y(t) := x_1^B(t)$) wird in der Reproduktionsdynamik mittels des folgenden Systems von Differentialgleichungen beschrieben (siehe z.B. [4], S:116 oder [3], S:69):

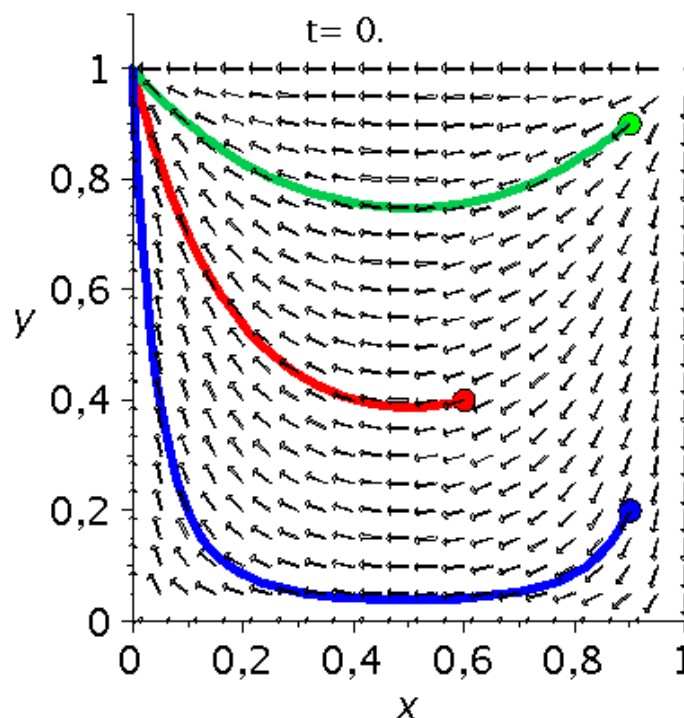
$$\frac{dx(t)}{dt} = [(\$_{11}^A + \$_{22}^A - \$_{12}^A - \$_{21}^A) y(t) + (\$_{12}^A - \$_{22}^A)] (x(t) - (x(t))^2) =: g_A(x, y)$$

$$\frac{dy(t)}{dt} = [(\$_{11}^B + \$_{22}^B - \$_{12}^B - \$_{21}^B) x(t) + (\$_{21}^B - \$_{22}^B)] (y(t) - (y(t))^2) =: g_B(x, y)$$

Klassifizierung von Bi-Matrix Spielen

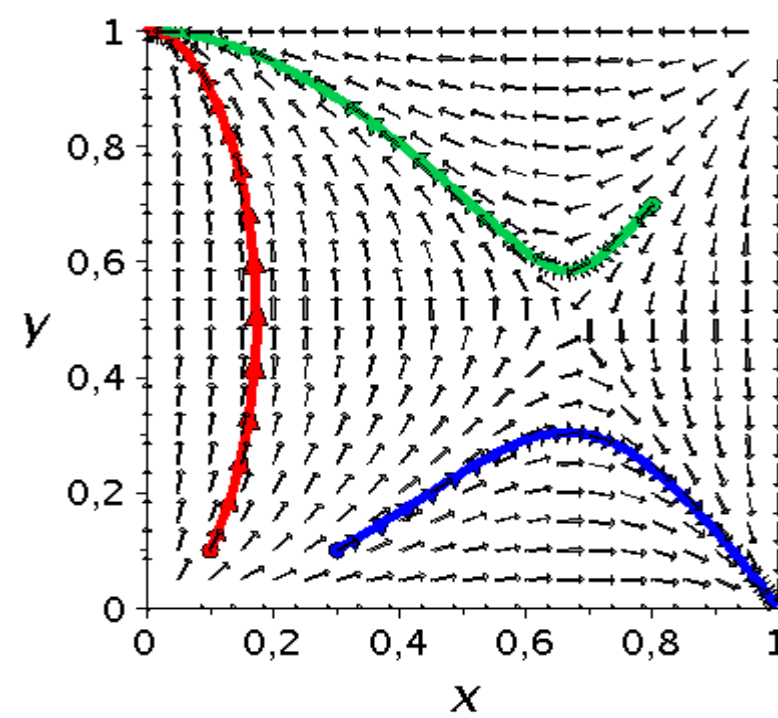
Eckspiele

Die Spielklasse der Gruppe A
oder der Gruppe B ist ein
Dominantes Spiel



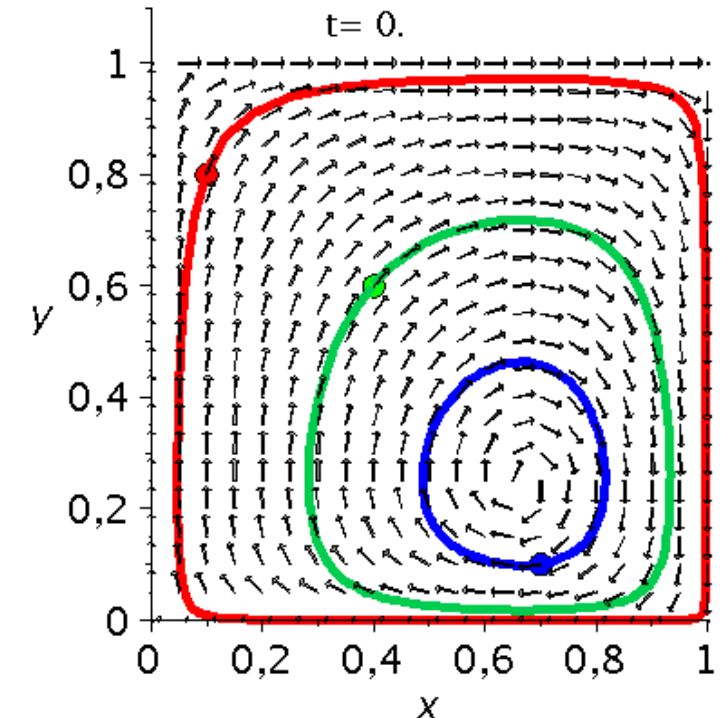
Sattelspiele

Spiel A: Koordinationsspiel
Spiel B: Koordinationsspiel
oder
Spiel A: Anti-Koordinationspiel
Spiel B: Anti-Koordinationspiel



Zentrumsspiele

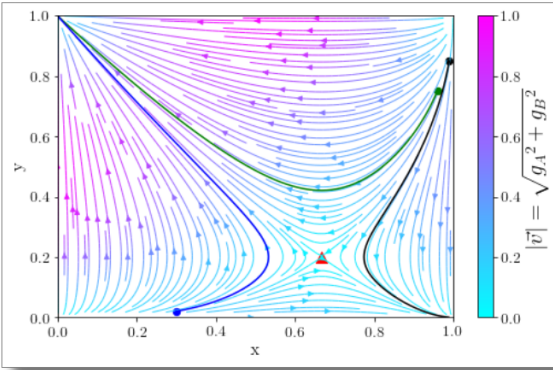
Spiel A: Koordinationsspiel
Spiel B: Anti-Koordinationspiel
oder
Spiel A: Anti-Koordinationspiel
Spiel B: Koordinationsspiel



Jupyter Notebook

Auf der Internetseite der Vorlesung

Evolutionäre unsymmetrische (2×2) Spiele (Bi-Matrix Spiele)



Die im oberen Bereich des rechten Panels dieser Vorlesung dargestellten Gleichungen der Reproduktionsdynamik lassen sich nach Spezifikation der Auszahlungsmatrizen $\hat{\A und $\hat{\B auf unterschiedlichste Populationsspiele anwenden. Generell lassen sich evolutionäre unsymmetrische (2×2) Spiele in die folgenden drei Spielklassen gliedern: Eckenspiele, Sattelpunktspiele und Zentrumsspiele. Ein Eckenspiel liegt vor, falls zumindest eine der Auszahlungsmatrizen der Spielergruppen eine dominante Struktur hat. Aufgrund der Dominanz der Strategie endet die zeitliche Entwicklung der Populationen, unabhängig von der Anfangsbedingungen, in einer Ecke des x-y Populationsvektor Diagramms - die ESS des Eckenspiels. Ein Sattelpunktspiel liegt vor, falls beide Spielergruppen gleichzeitig ein Koordinationsspiel oder Anti-Koordinationsspiel spielen. Bei einem Sattelpunktspiel

das aus zwei Anti-Koordinationsspielen besteht, existieren zwei ESSs (($x=0, y=1$) oder ($x=1, y=0$)) zu denen sich die Populationen im Laufe der Zeit entwickeln. Welche dieser evolutionär stabilen Strategien erreicht wird, hängt von der

Anfangsstrategiewahl der Population ab. Die nebenstehende Abbildung zeigt die zeitliche Entwicklung von drei Anfangszuständen in einem solchen Eckenspiel. Auch bei sehr ähnlichen Werten der Anfangsstrategiewahl kann es geschehen, dass sich die Population im Laufe der Zeit zu unterschiedlichen Ecken entwickelt (siehe grüne und schwarze Trajektorien).

Eine besondere Bedeutung hat der Sattelpunkt des Spiels (siehe rotes Dreieck). Die Position des Sattelpunktes im x-y Diagramm entspricht dem Wert des gemischten Nash-Gleichgewichtes bzw. lässt sich durch die Nullstellen der Funktionen $g_A(x, y)$ und $g_B(x, y)$ bestimmen. Bei einem Zentrumsspiel existiert keine ESS, da die Strategiewahl der Population sich im Laufe der Zeit ständig verändert und um ein Zentrum kreist. Die Position dieses Zentrums im x-y Diagramm entspricht dem Wert des gemischten Nash-Gleichgewichtes bzw. lässt sich durch die Nullstellen der Funktionen $g_A(x, y)$ und $g_B(x, y)$ bestimmen (siehe [Evolutionäre Spieltheorie unsymmetrischer \(\$2 \times 2\$ \)-Spiele](#)).

Weiterführende Links

Folien der 4. Vorlesung

Vorlesungsaufzeichnung der 4. Vorlesung: [WS 2022/23](#) bzw. [WS 2021/22](#)

[View Jupyter Notebook: Evolutionäre Spieltheorie symmetrischer \(\$2 \times 2\$ \)-Spiele](#)

[Download Jupyter Notebook: Evolutionäre Spieltheorie symmetrischer \(\$2 \times 2\$ \)-Spiele](#)

Download Python Programm: Evolutionäre Spieltheorie symmetrischer (2×2)-Spiele
([Version 1](#), [Version 2](#), [Version 3](#))

[View Jupyter Notebook: Evolutionäre Spieltheorie unsymmetrischer \(\$2 \times 2\$ \)-Spiele](#)

[Download Jupyter Notebook: Evolutionäre Spieltheorie unsymmetrischer \(\$2 \times 2\$ \)-Spiele](#)

Download Python Programm: Evolutionäre Spieltheorie unsymmetrischer (2×2)-Spiele
([Version 1](#), [Version 2](#), [Version 3](#))

Physik der sozio-ökonomischen Systeme mit dem Computer

(Physics of Socio-Economic Systems with the Computer)

Vorlesung gehalten an der J.W.Goethe-Universität in Frankfurt am Main

(Wintersemester 2025/26)

von Dr.phil.nat. Dr.rer.pol. Matthias Hanauske

Frankfurt am Main 27.10.2025

Erster Vorlesungsteil:

Klassifizierung evolutionärer Bi-Matrix Spiele (unsymmetrische (2×2)-Spiele)

Einführung

In diesem Unterkapitel werden die unterschiedlichen Spieltypen evolutionärer Bi-Matrix Spiele (unsymmetrische (2×2)-Spiele) klassifiziert. Ausgangspunkt sind die folgenden allgemeinen Auszahlungsmatrizen der Spielergruppen A und B. Da es

sich um unsymmetrische Auszahlungsmatrizen nehmen wir das Folgende an: $\hat{\$}^B \neq (\hat{\$}^A)^T$.

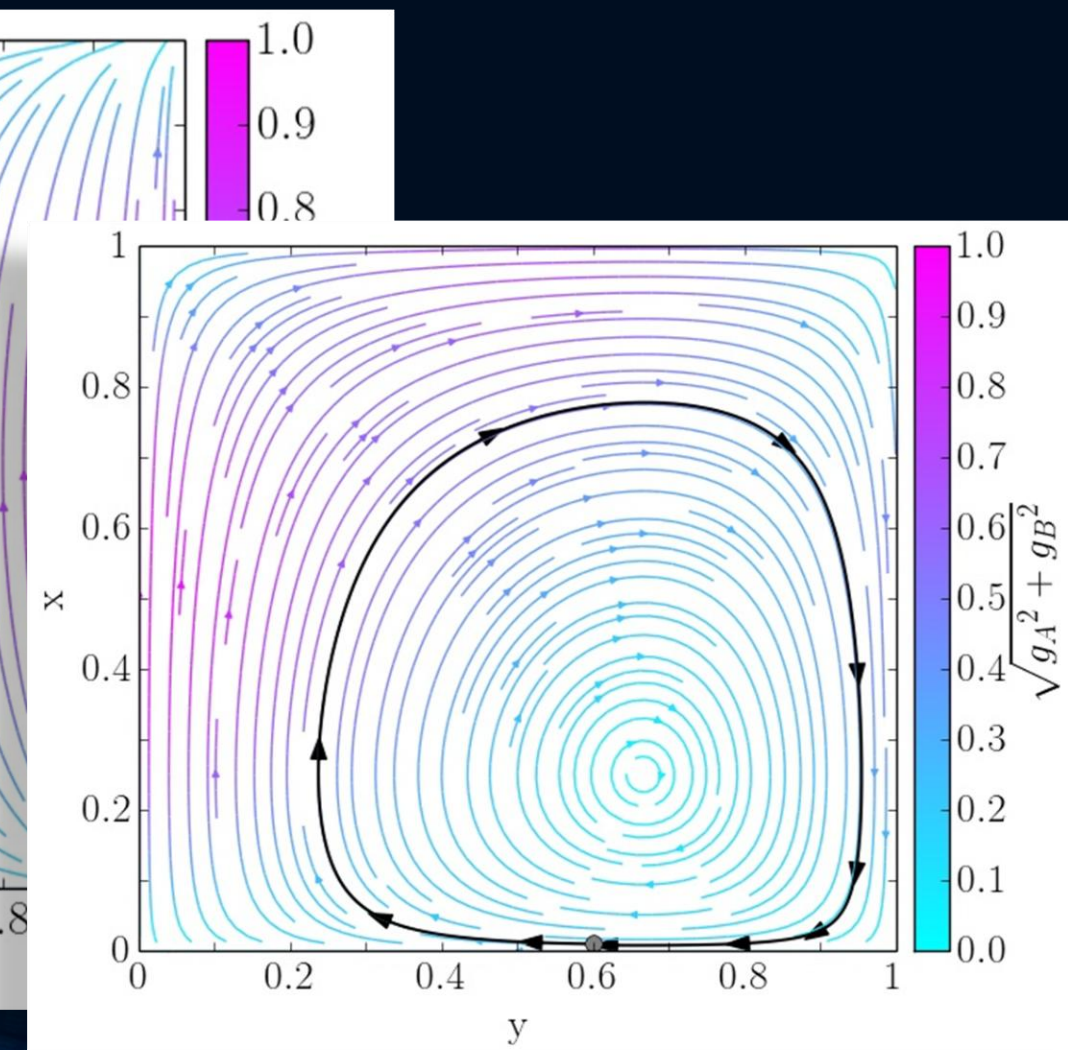
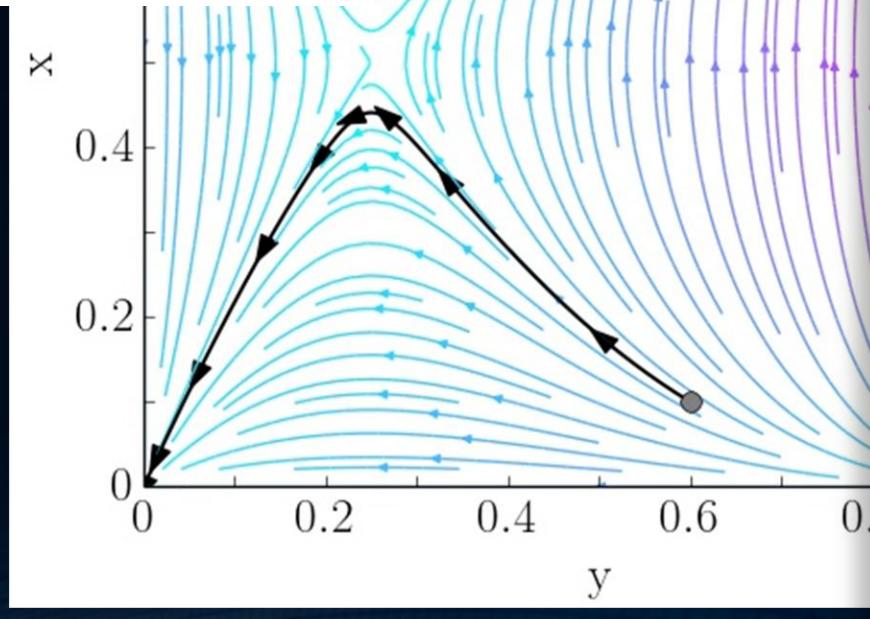
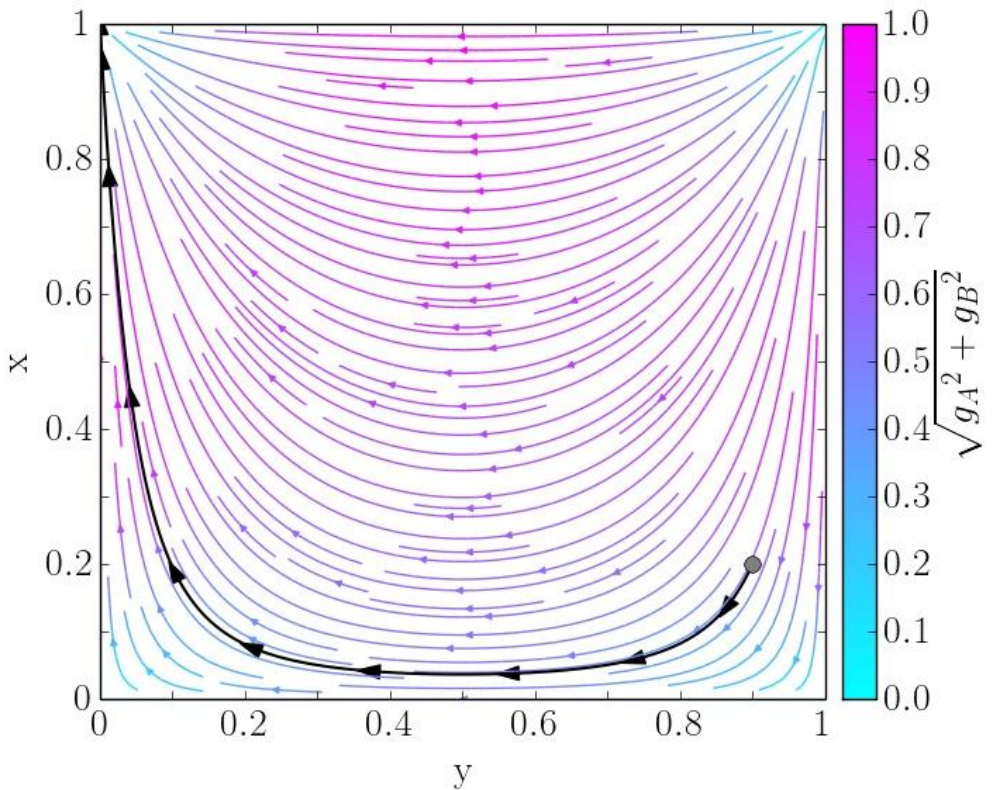
$$\hat{\$}^A = \begin{pmatrix} \$_{11}^A & \$_{12}^A \\ \$_{21}^A & \$_{22}^A \end{pmatrix}, \quad \hat{\$}^B = \begin{pmatrix} \$_{11}^B & \$_{12}^B \\ \$_{21}^B & \$_{22}^B \end{pmatrix} \quad (1)$$

Unsymmetrische (2×2) Spiele lassen sich in die folgenden Spielklassen gliedern:

Die Klasse der Eckenspiele (engl.: corner class games)

Ein Eckenspiel liegt vor, falls eine der Auszahlungsmatrizen der Spielergruppen eine dominante Struktur hat; falls $\hat{\A oder $\hat{\B ein dominantes Spiel ist.

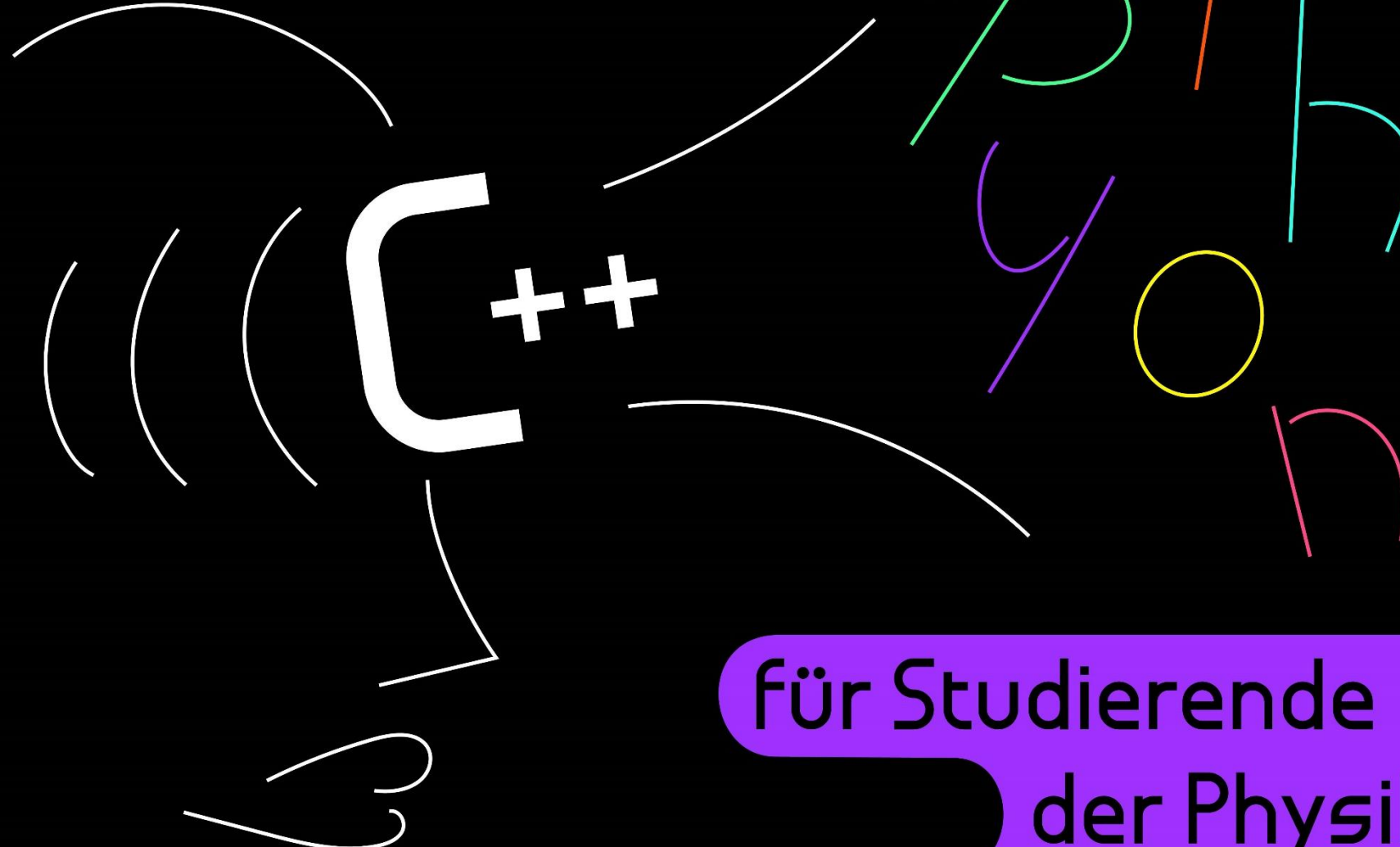
Bi-Matrix Spiele mit den Python Programmen `bimatrix1.py` und `bimatrix1a.py`



Einführung in die

Programmierung

<http://itp.uni-frankfurt.de/~hhanuske/VPROG/index.html>



für Studierende
der Physik

Differentialgleichungen: Numerische Lösung von Anfangswertproblemen

Im vorigen Unterpunkt hatten wir die Bewegung einzelner Teilchen in einer Kiste simuliert. In der Physik ist die zeitliche Entwicklung eines Systems of in Form von Differentialgleichungen (DGLs) gegeben. In diesem Unterpunkt betrachten wir das numerische Lösen einer Differentialgleichung erster Ordnung der Form

$$\dot{y}(t) = \frac{dy(t)}{dt} = f(t, y(t)) \quad , \text{ mit: } a \leq t \leq b, \quad y(a) = \alpha \quad .$$

Die Funktion $f(t, y(t))$ bestimmt die DGL und somit das Verhalten der gesuchten Funktion $y(t)$. Es wird hierbei vorausgesetzt, dass $f(t, y(t))$ auf einer Teilmenge $\mathcal{D} = \{(t, y) | a \leq t \leq b, -\infty \leq y \leq \infty\}$ kontinuierlich definiert ist. Weiter wird angenommen, dass das so definierte Anfangswertproblem "well-posed" ist und eine eindeutige Lösung $y(t)$ existiert ("well-posed" bedeutet hier, dass die Differentialgleichung eine Struktur hat, bei der kleine Störungen im Anfangszustand nicht exponentiell anwachsen). Wir hatten bereits gesehen, wie man Differentialgleichungen mittels Jupyter Notebooks und SymPy DGLs analytisch löst (siehe [Jupyter Notebooks und das Rechnen mit symbolischen Ausdrücken](#)). Nicht jede DGL lässt sich analytisch lösen und falls der Befehl "dsolve()" keine sinnvollen Resultate liefert, muss man die zeitliche Entwicklung der Funktion $y(t)$ numerisch berechnen. Die numerische Lösung der DGL kann man sich auch direkt in Python mittels der Methode "integrate.odeint()" berechnen (Python-Modul "scipy"). Möchte man die Lösung jedoch in einem C++ Programm berechnen, so ist man auf die Anwendung eines numerischen Verfahrens angewiesen.

Das einfache Euler Verfahren zum Lösen einer DGL



Das wohl einfachste Verfahren zum Lösen einer DGL erster Ordnung ist die Euler Methode. Hierzu schreibt man die DGL als eine Differenzengleichung um

$$\frac{dy(t)}{dt} = f(t, y(t)) \rightarrow \Delta y = f(t, y) \cdot \Delta t \rightarrow \Delta y = h \cdot f(t, y)$$

und unterteilt das Zeitintervall $[a, b]$ in $N + 1$ äquidistante Zeit-Gitterpunkte $(t_0, t_1, t_2, \dots, t_N)$, wobei $t_i = a + i h \quad \forall i = 0, 1, 2, \dots, N$. Im Algorithmus der Euler Methode startet man bei $t = t_0$ und $y = y_0 = \alpha$ (Anfangsbedingungen des Systems) und erhöht dann iterativ die Zeit t um den Wert von h . Den neuen y-Wert erhält man mittels $y_1 = y_0 + h \cdot f(t_0, y_0)$ und man führt das Verfahren so lange aus, bis man an den letzten zeitlichen Gitterpunkt gelangt.

Betrachten wir z.B. die einfache Differentialgleichung

$$\frac{dy(t)}{dt} = f(t, y(t)) = -y(t) \quad ,$$

die den exponentiellen Abfall einer Funktion $y(t)$ beschreibt. Obwohl sich die allgemeine Lösung der DGL einfach bestimmen lässt ($y(t) = \alpha \cdot e^{-t}$, mit $\alpha = y(0)$), möchten wir die DGL auf numerischem Wege lösen. Das folgende C++ Programm benutzt die Eulermethode und entwickelt die obere Differentialgleichung im Zeitintervall $[a, b] = [0, 2]$ mittels 101 Gitterpunkten. Die simulierten Daten werden dann, zusammen mit der analytischen Lösung im Terminal ausgegeben.

Das Euler Verfahren:

$$y_{i+1} = y_i + h \cdot f(t_i, y_i)$$

Mittelpunktmethode:

$$y_{i+1} = y_i + h \cdot \left[f\left(t_i + \frac{h}{2}, y_i + \frac{h}{2} f(t_i, y_i)\right) \right]$$

Modifizierte Euler Methode: $y_{i+1} = y_i + \frac{h}{2} \cdot [f(t_i, y_i) + f(t_{i+1}, y_i + h f(t_i, y_i))]$

Runge-Kutta Ordnung vier: $y_{i+1} = y_i + \frac{1}{6} \cdot (k_1 + 2 k_2 + 2 k_3 + k_4)$, wobei:

$$k_1 = h f(t_i, y_i)$$

$$k_2 = h f\left(t_i + \frac{h}{2}, y_i + \frac{1}{2} k_1\right)$$

$$k_3 = h f\left(t_i + \frac{h}{2}, y_i + \frac{1}{2} k_2\right)$$

$$k_4 = h f(t_{i+1}, y_i + k_3)$$



Anwendung auf die DGL: $\frac{dy}{dt} = y - t^2 + 1$

```
* Zeitentwicklung der fuenften Ordnung der DGL
* Ausgabe zum Plotten mit Python Jupyter Notebook DGL_11.ipynb
*/
#include <stdio.h>
#include <cmath>

double f(double t, double y){
    double wert;
    wert = y - pow(t,2) +1;
    return wert;
}

double y_analytisch(double t, double alpha){
    double wert;
    wert = (alpha + (pow(t,2) + 2*t + 1)*exp(-t) -1)*exp(t);
    return wert;
}

int main(){
    double a = 0;
    double b = 2;
    int N = 10;
    double h = (b - a)/N;
    double alpha = 0.5;
    double t;
    double y_Euler = alpha;
    double y_Midpoint = alpha;
    double y_Euler_M = alpha;
    double y_RungeK_4 = alpha;
    double k1, k2, k3, k4;

    printf("# 0: Index i \n# 1: t-Wert \n# 2: Euler Methode \n");
    printf("# 3: Mittelpunkt Methode \n# 4: Modifizierte Euler Methode \n");
    printf("# 5: Runge-Kutta Ordnung vier \n# 6: Analytische Loesung \n");

    for(int i = 0; i <= N; ++i){
        t = a + i*h;
        printf("%3d %19.15f %19.15f %19.15f %19.15f %19.15f\n", i, t, y_Euler, y_Midpoint, y_Euler_M, y_RungeK_4, y_analytisch(t,0.5)); // Ausgaben der Loesung

        y_Euler = y_Euler + h*f(t,y_Euler);
        y_Midpoint = y_Midpoint + h*f(t+h/2,y_Midpoint+h/2*f(t,y_Midpoint));
        y_Euler_M = y_Euler_M + h/2*( f(t,y_Euler_M) + f(t+h,y_Euler_M+h*f(t,y_Euler_M)) ); // Modifizierte Euler Methode

        k1 = h*f(t,y_RungeK_4);
        k2 = h*f(t+h/2,y_RungeK_4+k1/2);
        k3 = h*f(t+h/2,y_RungeK_4+k2/2);
        k4 = h*f(t+h,y_RungeK_4+k3);
        y_RungeK_4 = y_RungeK_4 + (k1 + 2*k2 + 2*k3 + k4)/6;
    }
}

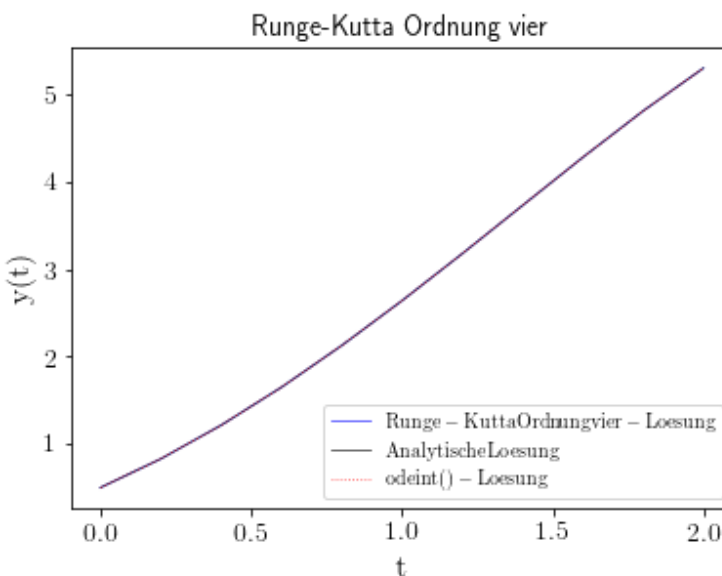
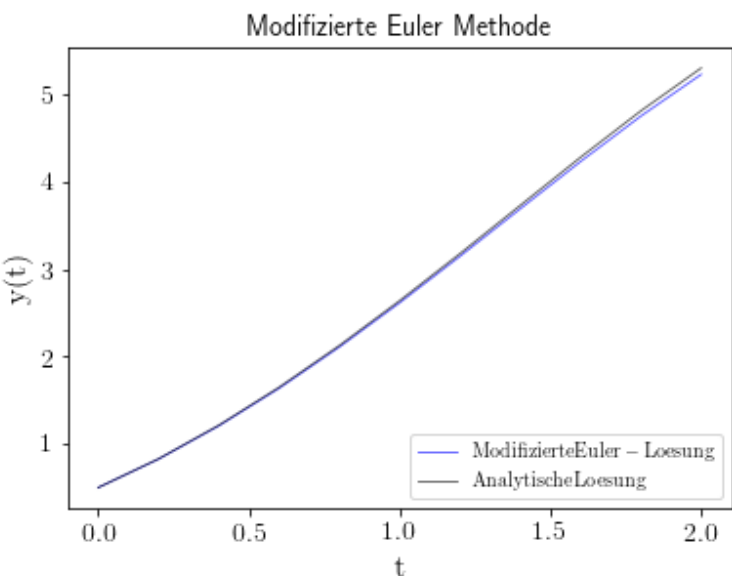
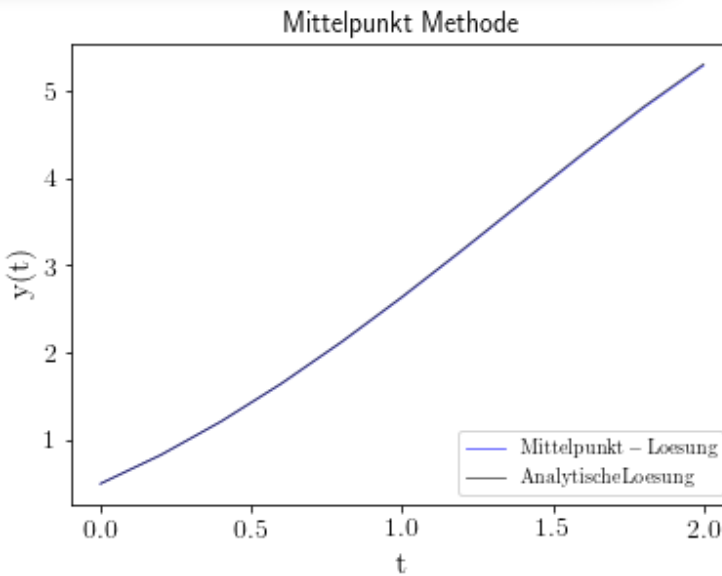
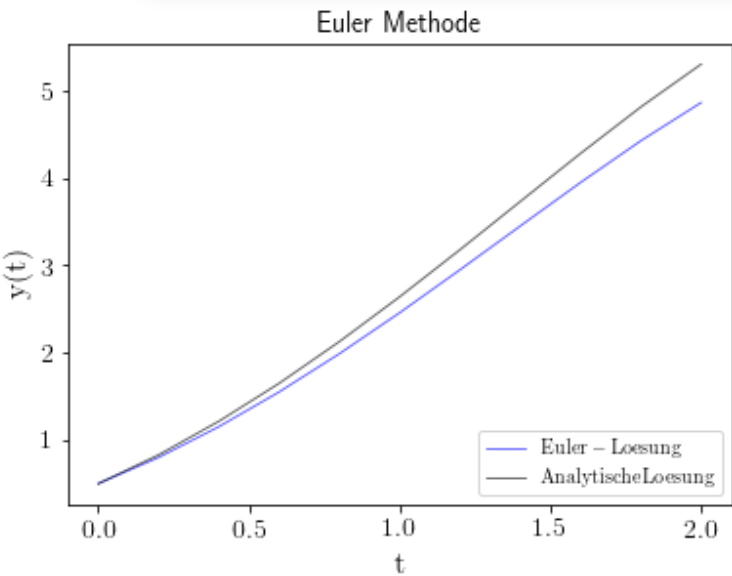
// Standard Input- und Output Bibliothek in C, z.B. printf(...)
// Bibliothek fuer mathematisches (e-Funktion, Betrag, ...)

// Definition der Funktion f(t,x)
// Eigentliche Definition der Funktion
// Rueckgabewert der Funktion f(t,x)
// Ende der Funktion f(t,x)

// Analytische Loesung der DGL
// bei gegebenem Anfangswert y(a)=alpha
// Eigentliche Definition der analytische Loesung
// Rueckgabewert
// Ende der Definition

// Hauptfunktion
// Untergrenze des Zeit-Intervalls [a,b] in dem die Loesung berechnet werden soll
// Obergrenze des Intervalls [a,b]
// Anzahl der Punkte in die das t-Intervall aufgeteilt wird
// Abstand dt zwischen den aequidistanten Punkten des t-Intervalls (h=dt)
// Anfangswert bei t=a: y(a)=alpha
// Aktueller Zeitwert
// Deklaration und Initialisierung der numerischen Loesung der Euler Methode
// Deklaration und Initialisierung der numerischen Loesung der Mittelpunkt Methode
// Deklaration und Initialisierung der numerischen Loesung der modifizierte Euler Methode
// Deklaration und Initialisierung der numerischen Loesung der Runge-Kutta Ordnung vier Methode
// Deklaration der vier Runge-Kutta Parameter
```

Anwendung auf die DGL: $\frac{dy}{dt} = y - t^2 + 1$



Einführung in die Programmierung für Studierende der Physik

(Introduction to Programming for Physicists)

Vorlesung gehalten an der J.W.Goethe-Universität in Frankfurt am Main

(Sommersemester 2025)

von Dr.phil.nat. Dr.rer.pol. Matthias Hanauske

Erster Vorlesungsteil:

Numerisches Lösen von Differentialgleichungen (das Anfangswertproblem)

Dieses Jupyter Notebook basiert auf den Materialien der Vorlesung "Einführung in die Programmierung für Studierende der Physik (Introduction to Programming for Physicists)" (siehe [Vorlesung 8](#)).

Numerisches Lösen einer DGL erster Ordnung mit Python

Allgemeine Betrachtungen

Zunächst wird das Python Modul "sympy" eingebunden, das ein Computer-Algebra-System für Python bereitstellt und eine Vielzahl an symbolischen Berechnungen im Bereich der Mathematik und Physik relativ einfach möglich macht (weiteres siehe Vorlesung 6 [Jupyter Notebooks und das Rechnen mit symbolischen Ausdrücken](#)). Falls Sie das "sympy" Modul das erste Mal verwenden, müssen Sie es zunächst in Ihrer Python 3 Umgebung installieren (z.B. in einem Linux Terminal mit "pip3 install sympy").

```
from sympy import *
init_printing()
```

Wir betrachten in diesem Jupyter Notebook das numerische Lösen einer Differentialgleichung (DGL) erster Ordnung der Form

$$\dot{y}(t) = \frac{dy(t)}{dt} = f(t, y(t)) \quad , \text{ mit: } a \leq t \leq b, \quad y(a) = \alpha \quad . \quad (1)$$

Die Funktion $f(t, y(t))$ bestimmt die DGL und somit das Verhalten der gesuchten Funktion $y(t)$. Es wird hierbei vorausgesetzt, dass $f(t, y(t))$ auf einer Teilmenge

Physik der sozio-ökonomischen Systeme mit dem Computer

(Physics of Socio-Economic Systems with the Computer)

Vorlesung gehalten an der J.W.Goethe-Universität in Frankfurt am Main

(Wintersemester 2025/26)

von Dr.phil.nat. Dr.rer.pol. Matthias Hanuske

Frankfurt am Main 22.08.2025

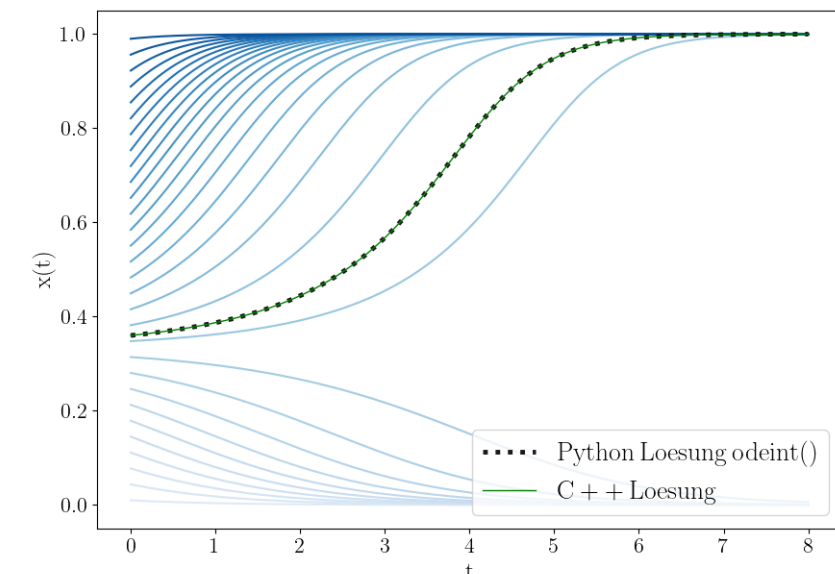
Erster Vorlesungsteil:

Numerisches Lösen von Differentialgleichungen (das Anfangswertproblem)

Dieses Jupyter Notebook basiert auf den Materialien der Vorlesung "Einführung in die Programmierung für Studierende der Physik (Introduction to Programming for Physicists)" (siehe [Vorlesung 8](#)). Das Anfangswertproblem wird zunächst allgemein behandelt und am Ende auf die Differentialgleichung der Replikatordynamik der evolutionären Spieltheorie angewendet.

Anwendung: Evolutionäre Spieltheorie

Download Jupyter Notebook [VPSOC_DGL_1.ipynb](#)
View Jupyter Notebook [VPSOC_DGL_1.html](#)
Download C++ Programm [evol1.cpp](#)



Allgemeine Betrachtungen

Zunächst wird das Python Modul "sympy" eingebunden, das ein Computer-Algebra-System für Python bereitstellt und eine Vielzahl an symbolischen Berechnungen im Bereich der Mathematik und Physik relativ einfach möglich macht (weiteres siehe Vorlesung 6 [Jupyter Notebooks und das Rechnen mit symbolischen Ausdrücken](#)). Falls Sie das "sympy" Modul das erste Mal verwenden, müssen Sie es zunächst in Ihrer Python 3 Umgebung installieren (z.B. in einem Linux Terminal mit "pip3 install sympy").

```
from sympy import *
init_printing()
```

Wir betrachten in diesem Jupyter Notebook das numerische Lösen einer Differentialgleichung (DGL) erster Ordnung der Form

$$\dot{y}(t) = \frac{dy(t)}{dt} = f(t, y(t)) \quad , \text{ mit: } a \leq t \leq b, \quad y(a) = \alpha \quad . \quad (1)$$

```

1 // Klasse dsolve
2 /* Berechnung der Loesung einer Differentialgleichung der Form
3  * mittels Runge-Kutta Ordnung vier Verfahren
4  * Verfahren zur Loesung der DGL ist in eine Klasse abgeschnitten
5  * Zeitentwicklung der fuer unterschiedliche t-Werte
6  * Konstruktor: dsolve(Anfangszeit ta, Endzeit tb, Anzahl N, Anfangswert alpha=x(ta),
7  * Anwendungsfall: Evolutionare Spieltheorie eines symmetrischen (2x2)-Spiels, g(x)=g(t,x)=f(t,x)
8  */
9 #include <stdio.h> // Standard Input- und Output Bibliothek in C, z.B. printf(...)
10 #include <cmath> // Bibliothek fuer mathematisches (e-Funktion, Betrag, ...)
11 #include <vector> // Vector-Container der Standardbibliothek
12 #include <functional> // Funktionen in der Argumentenliste von Funktionen
13 using namespace std; // Benutze den Namensraum std
14
15 class dsolve{ //Definition der Klasse 'dsolve'
16     double ta = 0; // Untergrenze des Zeit-Intervalls [ta,tb] in dem die Loesung berechnet wird
17     double tb = 2; // Obergrenze des Intervalls [ta,tb]
18     int N = 10; // Anzahl der Punkte in die das t-Intervall aufgeteilt wird
19     double alpha = 0.5; // Anfangswert bei t=ta: x(ta)=alpha
20
21     vector<double> x; // Deklaration eines double Vektors zum speichern der Loesung
22     vector<double> Zeit; // Deklaration eines double Vektors zum speichern der Zeit-Werte
23
24 public:
25     // Konstruktor mit fünf Argumenten (Initialisierung der Parameter, Berechnung der Loesung der DGL)
26     dsolve(double ta_, double tb_, int N_, double alpha_, function< double(double, double) > f)
27         double h = (tb - ta)/N; // Abstand dt zwischen den aufgeteilten Zeitpunkten
28         double k1, k2, k3, k4; // Deklaration der vier Runge-Kutta Schritte
29         Zeit.push_back(ta_); // Zum Zeit-Vektor die Anfangszeit hinzufuegen
30         x.push_back(alpha_); // Zum x-Vektor den Anfangswert hinzufuegen
31
32     for( int i=0; i < N; ++i){
33         k1 = h*f(Zeit[i],x[i]);
34         k2 = h*f(Zeit[i]+h/2,x[i] + k1/2);
35         k3 = h*f(Zeit[i]+h/2,x[i] + k2/2);
36         k4 = h*f(Zeit[i]+h,x[i] + k3);
37
38         x.push_back(x[i] + (k1 + 2*k2 + 2*k3 + k4)/6);
39         Zeit.push_back(ta + (i+1)*h);
40     }
41 };
42
43 const vector<double>& get_x() const { return x; }
44 const vector<double>& get_zeit() const { return Zeit; }
45
46
47 // Definition der Funktion g(t,x), die die DGL definiert
48 double g(double t, double x){
49     double a = 2; // Anfangswert
50     double b = 4; // Anfangswert
51     double c = 0; // Anfangswert
52     double d = 5; // Anfangswert
53     double wert = ( (a-c)*(x-x*x) );
54     return wert;
55 }
56
57
58
59
60
61
62
63
64
65
66
67
68
69
70
71
72
73
74
75
76
77
78
79
80
81
82
83
84
85
86
87
88
89
90
91
92
93
94
95
96
97
98
99
100
101
102
103
104
105
106
107
108
109
110
111
112
113
114
115
116
117
118
119
120
121
122
123
124
125
126
127
128
129
130
131
132
133
134
135
136
137
138
139
140
141
142
143
144
145
146
147
148
149
150
151
152
153
154
155
156
157
158
159
160
161
162
163
164
165
166
167
168
169
170
171
172
173
174
175
176
177
178
179
180
181
182
183
184
185
186
187
188
189
190
191
192
193
194
195
196
197
198
199
200
201
202
203
204
205
206
207
208
209
210
211
212
213
214
215
216
217
218
219
220
221
222
223
224
225
226
227
228
229
230
231
232
233
234
235
236
237
238
239
240
241
242
243
244
245
246
247
248
249
250
251
252
253
254
255
256
257
258
259
260
261
262
263
264
265
266
267
268
269
270
271
272
273
274
275
276
277
278
279
280
281
282
283
284
285
286
287
288
289
290
291
292
293
294
295
296
297
298
299
300
301
302
303
304
305
306
307
308
309
310
311
312
313
314
315
316
317
318
319
320
321
322
323
324
325
326
327
328
329
330
331
332
333
334
335
336
337
338
339
340
341
342
343
344
345
346
347
348
349
350
351
352
353
354
355
356
357
358
359
360
361
362
363
364
365
366
367
368
369
370
371
372
373
374
375
376
377
378
379
380
381
382
383
384
385
386
387
388
389
390
391
392
393
394
395
396
397
398
399
400
401
402
403
404
405
406
407
408
409
410
411
412
413
414
415
416
417
418
419
420
421
422
423
424
425
426
427
428
429
430
431
432
433
434
435
436
437
438
439
440
441
442
443
444
445
446
447
448
449
450
451
452
453
454
455
456
457
458
459
460
461
462
463
464
465
466
467
468
469
470
471
472
473
474
475
476
477
478
479
480
481
482
483
484
485
486
487
488
489
490
491
492
493
494
495
496
497
498
499
500
501
502
503
504
505
506
507
508
509
510
511
512
513
514
515
516
517
518
519
520
521
522
523
524
525
526
527
528
529
530
531
532
533
534
535
536
537
538
539
540
541
542
543
544
545
546
547
548
549
550
551
552
553
554
555
556
557
558
559
560
561
562
563
564
565
566
567
568
569
570
571
572
573
574
575
576
577
578
579
580
581
582
583
584
585
586
587
588
589
589
590
591
592
593
594
595
596
597
598
599
600
601
602
603
604
605
606
607
608
609
610
611
612
613
614
615
616
617
618
619
620
621
622
623
624
625
626
627
628
629
630
631
632
633
634
635
636
637
638
639
640
641
642
643
644
645
646
647
648
649
649
650
651
652
653
654
655
656
657
658
659
659
660
661
662
663
664
665
666
667
668
669
669
670
671
672
673
674
675
676
677
678
679
679
680
681
682
683
684
685
686
687
687
688
689
689
690
691
692
693
694
695
696
697
698
699
700
701
702
703
704
705
706
707
708
709
709
710
711
712
713
714
715
716
717
718
719
719
720
721
722
723
724
725
726
727
727
728
729
729
730
731
732
733
734
735
736
737
737
738
739
739
740
741
742
743
744
745
745
746
747
747
748
749
749
750
751
752
753
753
754
755
755
756
757
757
758
759
759
760
761
761
762
762
763
763
764
764
765
765
766
766
767
767
768
768
769
769
770
770
771
771
772
772
773
773
774
774
775
775
776
776
777
777
778
778
779
779
780
780
781
781
782
782
783
783
784
784
785
785
786
786
787
787
788
788
789
789
790
790
791
791
792
792
793
793
794
794
795
795
796
796
797
797
798
798
799
799
800
800
801
801
802
802
803
803
804
804
805
805
806
806
807
807
808
808
809
809
810
810
811
811
812
812
813
813
814
814
815
815
816
816
817
817
818
818
819
819
820
820
821
821
822
822
823
823
824
824
825
825
826
826
827
827
828
828
829
829
830
830
831
831
832
832
833
833
834
834
835
835
836
836
837
837
838
838
839
839
840
840
841
841
842
842
843
843
844
844
845
845
846
846
847
847
848
848
849
849
850
850
851
851
852
852
853
853
854
854
855
855
856
856
857
857
858
858
859
859
860
860
861
861
862
862
863
863
864
864
865
865
866
866
867
867
868
868
869
869
870
870
871
871
872
872
873
873
874
874
875
875
876
876
877
877
878
878
879
879
880
880
881
881
882
882
883
883
884
884
885
885
886
886
887
887
888
888
889
889
890
890
891
891
892
892
893
893
894
894
895
895
896
896
897
897
898
898
899
899
900
900
901
901
902
902
903
903
904
904
905
905
906
906
907
907
908
908
909
909
910
910
911
911
912
912
913
913
914
914
915
915
916
916
917
917
918
918
919
919
920
920
921
921
922
922
923
923
924
924
925
925
926
926
927
927
928
928
929
929
930
930
931
931
932
932
933
933
934
934
935
935
936
936
937
937
938
938
939
939
940
940
941
941
942
942
943
943
944
944
945
945
946
946
947
947
948
948
949
949
950
950
951
951
952
952
953
953
954
954
955
955
956
956
957
957
958
958
959
959
960
960
961
961
962
962
963
963
964
964
965
965
966
966
967
967
968
968
969
969
970
970
971
971
972
972
973
973
974
974
975
975
976
976
977
977
978
978
979
979
980
980
981
981
982
982
983
983
984
984
985
985
986
986
987
987
988
988
989
989
990
990
991
991
992
992
993
993
994
994
995
995
996
996
997
997
998
998
999
999
1000
1000
1001
1001
1002
1002
1003
1003
1004
1004
1005
1005
1006
1006
1007
1007
1008
1008
1009
1009
1010
1010
1011
1011
1012
1012
1013
1013
1014
1014
1015
1015
1016
1016
1017
1017
1018
1018
1019
1019
1020
1020
1021
1021
1022
1022
1023
1023
1024
1024
1025
1025
1026
1026
1027
1027
1028
1028
1029
1029
1030
1030
1031
1031
1032
1032
1033
1033
1034
1034
1035
1035
1036
1036
1037
1037
1038
1038
1039
1039
1040
1040
1041
1041
1042
1042
1043
1043
1044
1044
1045
1045
1046
1046
1047
1047
1048
1048
1049
1049
1050
1050
1051
1051
1052
1052
1053
1053
1054
1054
1055
1055
1056
1056
1057
1057
1058
1058
1059
1059
1060
1060
1061
1061
1062
1062
1063
1063
1064
1064
1065
1065
1066
1066
1067
1067
1068
1068
1069
1069
1070
1070
1071
1071
1072
1072
1073
1073
1074
1074
1075
1075
1076
1076
1077
1077
1078
1078
1079
1079
1080
1080
1081
1081
1082
1082
1083
1083
1084
1084
1085
1085
1086
1086
1087
1087
1088
1088
1089
1089
1090
1090
1091
1091
1092
1092
1093
1093
1094
1094
1095
1095
1096
1096
1097
1097
1098
1098
1099
1099
1100
1100
1101
1101
1102
1102
1103
1103
1104
1104
1105
1105
1106
1106
1107
1107
1108
1108
1109
1109
1110
1110
1111
1111
1112
1112
1113
1113
1114
1114
1115
1115
1116
1116
1117
1117
1118
1118
1119
1119
1120
1120
1121
1121
1122
1122
1123
1123
1124
1124
1125
1125
1126
1126
1127
1127
1128
1128
1129
1129
1130
1130
1131
1131
1132
1132
1133
1133
1134
1134
1135
1135
1136
1136
1137
1137
1138
1138
1139
1139
1140
1140
1141
1141
1142
1142
1143
1143
1144
1144
1145
1145
1146
1146
1147
1147
1148
1148
1149
1149
1150
1150
1151
1151
1152
1152
1153
1153
1154
1154
1155
1155
1156
1156
1157
1157
1158
1158
1159
1159
1160
1160
1161
1161
1162
1162
1163
1163
1164
1164
1165
1165
1166
1166
1167
1167
1168
1168
1169
1169
1170
1170
1171
1171
1172
1172
1173
1173
1174
1174
1175
1175
1176
1176
1177
1177
1178
1178
1179
1179
1180
1180
1181
1181
1182
1182
1183
1183
1184
1184
1185
1185
1186
1186
1187
1187
1188
1188
1189
1189
1190
1190
1191
1191
1192
1192
1193
1193
1194
1194
1195
1195
1196
1196
1197
1197
1198
1198
1199
1199
1200
1200
1201
1201
1202
1202
1203
1203
1204
1204
1205
1205
1206
1206
1207
1207
1208
1208
1209
1209
1210
1210
1211
1211
1212
1212
1213
1213
1214
1214
1215
1215
1216
1216
1217
1217
1218
1218
1219
1219
1220
1220
1221
1221
1222
1222
1223
1223
1224
1224
1225
1225
1226
1226
1227
1227
1228
1228
1229
1229
1230
1230
1231
1231
1232
1232
1233
1233
1234
1234
1235
1235
1236
1236
1237
1237
1238
1238
1239
1239
1240
1240
1241
1241
1242
1242
1243
1243
1244
1244
1245
1245
1246
1246
1247
1247
1248
1248
1249
1249
1250
1250
1251
1251
1252
1252
1253
1253
1254
1254
1255
1255
1256
1256
1257
1257
1258
1258
1259
1259
1260
1260
1261
1261
1262
1262
1263
1263
1264
1264
1265
1265
1266
1266
1267
1267
1268
1268
1269
1269
1270
1270
1271
1271
1272
1272
1273
1273
1274
1274
1275
1275
1276
1276
1277
1277
1278
1278
1279
1279
1280
1280
1281
1281
1282
1282
1283
1283
1284
1284
1285
1285
1286
1286
1287
1287
1288
1288
1289
1289
1290
1290
1291
1291
1292
1292
1293
1293
1294
1294
1295
1295
1296
1296
1297
1297
1298
1298
1299
1299
1300
1300
1301
1301
1302
1302
1303
1303
1304
1304
1305
1305
1306
1306
1307
1307
1308
1308
1309
1309
1310
1310
1311
1311
1312
1312
1313
1313
1314
1314
1315
1315
1316
1316
1317
1317
1318
1318
1319
1319
1320
1320
1321
1321
1322
1322
1323
1323
1324
1324
1325
1325
1326
1326
1327
1327
1328
1328
1329
1329
1330
1330
1331
1331
1332
1332
1333
1333
1334
1334
1335
1335
1336
1336
1337
1337
1338
1338
1339
1339
1340
1340
1341
1341
1342
1342
1343
1343
1344
1344
1345
1345
1346
1346
1347
1347
1348
1348
1349
1349
1350
1350
1351
1351
1352
1352
1353
1353
1354
1354
1355
1355
1356
1356
1357
1357
1358
1358
1359
1359
1360
1360
1361
1361
1362
1362
1363
1363
1364
1364
1365
1365
1366
1366
1367
1367
1368
1368
1369
1369
1370
1370
1371
1371
1372
1372
1373
1373
1374
1374
1375
1375
1376
1376
1377
1377
1378
1378
1379
1379
1380
1380
1381
1381
1382
1382
1383
1383
1384
1384
1385
1385
1386
1386
1387
1387
1388
1388
1389
1389
1390
1390
1391
1391
1392
1392
1393
1393
1394
1394
1395
1395
1396
1396
1397
1397
1398
1398
1399
1399
1400
1400
1401
1401
1402
1402
1403
1403
1404
1404
1405
1405
1406
1406
1407
1407
1408
1408
1409
1409
1410
1410
1411
1411
1412
1412
1413
1413
1414
1414
1415
1415
1416
1416
1417
1417
1418
1418
1419
1419
1420
1420
1421
1421
1422
1422
1423
1423
1424
1424
1425
1425
1426
1426
1427
1427
1428
1428
1429
1429
1430
1430
1431
1431
1432
1432
1433
1433
1434
1434
1435
1435
1436
1436
1437
1437
1438
1438
1439
1439
1440
1440
1441
1441
1442
1442
1443
1443
1444
1444
1445
1445
1446
1446
1447
1447
1448
1448
1449
1449
1450
1450
1451
1451
1452
1452
1453
1453
1454
1454
1455
1455
1456
1456
1457
1457
1458
1458
1459
1459
1460
1460
1461
1461
1462
1462
1463
1463
1464
1464
1465
1465
1466
1466
1467
1467
1468
1468
1469
1469
1470
1470
1471
1471
1472
1472
1473
1473
1474
1474
1475
1475
1476
1476
1477
1477
1478
1478
1479
1479
1480
1480
1481
1481
1482
1482
1483
1483
1484
1484
1485
1485
1486
1486
1487
1487
1488
1488
1489
1489
1490
1490
1491
1491
1492
1492
1493
1493
1494
1494
1495
1495
1496
1496
1497
1497
1498
1498
1499
1499
1500
1500
1501
1501
1502
1502
1503
1503
1504
1504
1505
1505
1506
1506
1507
1507
1508
1508
1509
1509
1510
1510
1511
1511
1512
1512
1513
1513
1514
1514
1515
1515
1516
1516
1517
1517
1518
1518
1519
1519
1520
1520
1521
1521
1522
1522
1523
1523
1524
1524
1525
1525
1526
1526
1527
1527
1528
1528
1529
1529
1530
1530
1531
1531
1532
1532
1533
1533
1534
1534
1535
1535
1536
1536
1537
1537
1538
1538
1539
1539
1540
1540
1541
1541
1542
1542
1543
1543
1544
1544
1545
1545
1546
1546
1547
1547
1548
1548
1549
1549
1550
1550
1551
1551
1552
1552
1553
1553
1554
1554
1555
1555
1556
1556
1557
1557
1558
1558
1559
1559
1560
1560
1561
1561
1562
1562
1563
1563
1564
1564
1565
1565
1566
1566
1567
1567
1568
1568
1569
1569
1570
1570
1571
1571
1572
1572
1573
1573
1574
1574
1575
1575
1576
1576
1577
1577
1578
1578
1579
1579
1580
1580
1581
1581
1582
1582
1583
1583
1584
1584
1585
1585
1586
1586
1587
1587
1588
1588
1589
1589
1590
1590
1591
1591
1592
1592
1593
1593
1594
1594
1595
1595
1596
1596
1597
1597
1598
1598
1599
1599
1600
1600
1601
1601
1602
1602
1603
1603
1604
1604
1605
1605
1606
1606
1607
1607
1608
1608
1609
1609
1610
1610
1611
1611
1612
1612
1613
1613
1614
1614
1615
1615
1616
1616
1617
1617
1618
1618
1619
1619
1620
1620
1621
1621
1622
1622
1623
1623
1624
1624
1625
1625
1626
1626
1627
1627
1628
1628
1629
1629
1630
1630
1631
1631
1632
1632
1633
1633
1634
1634
1635
1635
1636
1636
1637
1637
1638
1638
1639
1639
1640
1640
1641
1641
1642
1642
1643
1643
1644
1644
1645
1645
1646
1646
1647
1647
1648
1648
1649
1649
1650
1650
1651
1651
1652
1652
1653
1653
1654
1654
1655
1655
1656
1656
1657
1657
1658
1658
1659
1659
1660
1660
1661
1661
1662
1
```

C++ Programm evol1.cpp

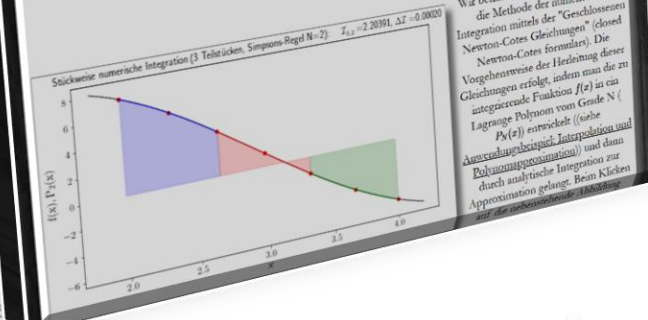
Übungslektion 7

In dieser Vorlesung werden wir den Programmier- und Programmumentwurf der **objektorientierten Programmierung** kennenzulernen. Die gesamte Idee der objektorientierten Programmierung beruht grundsätzlich auf dem Konzept der **Klasse**. Eine C++ **Klasse** ist ein benutzerdefiniertes neue Datentyp, der durch das Schlüsselwort **class** gekennzeichnet wird. **Objekte** werden wir, nachdem wir in einem Jupyter Notebook die Integrationsregeln hergeleitet haben, den **fallen** der empirischen Integration betrachten.

Objekt-orientierte Programmierung und C++ Klassen

Die meisten Programmietechniken, die wir bis jetzt kennengelernt haben, verwenden den Programmierstil der prozeduralen Programmierung. Wir werden nun den Fokus auf die Strukturierung von Programmen legen (die Programmierparadigma der objektorientierten Programmierung) und auf das in C++ integrierte Klasskonzept eingehen. Das Konzept der objektorientierten Programmierung beruht auf den alltäglichen Erfahrungen, nach zwei Maßstäben beurteilt: Ein Objekt besitzt einerseits messbare Eigenschaften (das Objekt als Class) gekennzeichnet und wird die Gesamtheit der objektorientierten Programmierung, das ist Objekt-Konzept der Klasse. In einer C++ Klasse werden die messbaren Eigenschaften des Objektes in Instanzvariablen (Datei Member) gespeichert und durch Konstruktoren werden diese Datei Member dann initialisiert. Die Verhaltensweisen Objektes werden durch klasseninterne Funktionen, die sogenannten Member-Funktionen beschrieben (nheres siehe Objekt-orientierte Programmierung und C++ Klassen).

Theorie: Numerische Integration



```
class Klassename {  
    Private Instanzvariablen (Daten-Member)  
  
    public:  
        Konstrukturen  
        Member-Funktionen  
        (Destruktor)  
};
```

Vorlesung 9

In dieser Vorlesung befassen wir uns zunächst mit dem numerischen Lösen von Systemen gekoppelter Differentialgleichungen und Differentialgleichungen zweiter Ordnung und stellen im darauf folgenden Teil mögliche Programmierprojekte vor, von denen wir einige im Laufe der Vorlesung noch bearbeitet werden.

Beim Klicken auf die Überschriften der Projekte gelangen Sie zu einer detaillierteren Beschreibung der einzelnen Projektthemen.

Systeme von gekoppelten Differentialgleichungen und Differentialgleichungen zweiter Ordnung

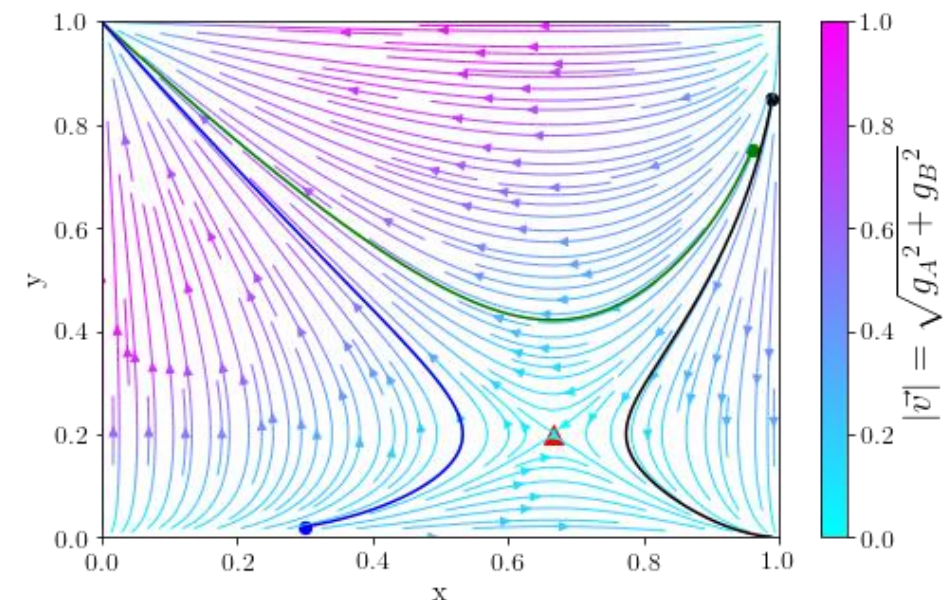
In der vorigen Vorlesung hatten wir die unterschiedlichen Verfahren zum Lösen von Differentialgleichungen erster Ordnung kennengelernt. Die Bewegungsgleichungen vieler physikalischer Systeme sind jedoch von zweiter Ordnung in der Zeit und in diesem Teilkapitel beschreiben wir die Vorgehensweise wie man solche

Differentialgleichungen höherer Ordnung numerisch mittels eines C++ Programmes löst. Um eine

Differentialgleichung zweiter Ordnung mittels des Computers lösen zu können, schreibt man die DGL zunächst in ein System von zwei gekoppelten Differentialgleichungen ersten Ordnung um und diese löst man dann mit den Verfahren, die in der vorigen Vorlesung behandelt wurden. In diesem Unterpunkt werden wir uns zunächst mit Systemen von gekoppelten Differentialgleichungen erster Ordnung befassen und dann das numerische Lösen von Differentialgleichungen zweiter Ordnung vorstellen (näheres siehe [Systeme von gekoppelten Differentialgleichungen und Differentialgleichungen zweiter Ordnung](#)).

Vorlesung 9

Das numerische Lösen von Differentialgleichungen ist ein mathematisch anspruchsvolles Thema und kann in dieser Vorlesung nicht im Detail erläutert werden. Im ersten Teil dieser Vorlesung sollen die im vorigen Unterpunkt ([Differentialgleichungen: Numerische Lösung von Anfangswertproblemen](#)) besprochenen Verfahren auf Systeme von gekoppelten Differentialgleichungen und Differentialgleichungen zweiter Ordnung angewendet werden. Die Bewegungsgleichungen vieler physikalischer Systeme sind von zweiter Ordnung in der Zeit und es soll die Vorgehensweise besprochen werden, wie man solche Differentialgleichungen höherer Ordnung numerisch mittels eines C++ Programmes löst.



Systeme von gekoppelten Differentialgleichungen und Differentialgleichungen zweiter Ordnung

Im vorigen Unterpunkt hatten wir die unterschiedlichen Verfahren zum Lösen von Differentialgleichungen erster Ordnung kennengelernt. Die Bewegungsgleichungen vieler physikalischer Systeme sind jedoch von zweiter Ordnung in der Zeit und dieses Unterkapitel der Vorlesung 9 befasst sich damit, wie man solche Differentialgleichungen höherer Ordnung numerisch mittels eines C++ Programmes löst. Um ein Differentialgleichung zweiter Ordnung mittels des Computers lösen zu können, schreibt man zunächst die DGL in ein System von zwei gekoppelten Differentialgleichungen ersten Ordnung um und diese löst man dann mit den Verfahren, die in der vorigen Vorlesung behandelt wurden. In diesem Unterpunkt werden wir uns zunächst mit Systemen von gekoppelten Differentialgleichungen erster Ordnung befassen und dann das numerische Lösen von Differentialgleichungen zweiter Ordnung vorstellen.

Systeme von gekoppelten Differentialgleichungen

Wir betrachten zunächst das numerische Lösen eines Systems von m -gekoppelten Differentialgleichungen (DGLs) erster Ordnung der Form

$$\begin{aligned}\dot{y}_1(t) &= \frac{dy_1}{dt} = f_1(t, y_1, y_2, \dots, y_m) \\ \dot{y}_2(t) &= \frac{dy_2}{dt} = f_2(t, y_1, y_2, \dots, y_m) \\ \dot{y}_3(t) &= \dots = \\ &\dots = \dots \\ \dot{y}_m(t) &= \frac{dy_m}{dt} = f_m(t, y_1, y_2, \dots, y_m) \quad ,\end{aligned}$$

wobei die zeitliche Entwicklung der Vektorfunktion $\vec{y}(t) = (y_1(t), y_2(t), \dots, y_m(t))$ in den Grenzen $a \leq t \leq b$ gesucht wird. Die m -Funktionen $f_i(t, y_1, y_2, \dots, y_m)$, $i \in [1, 2, \dots, m]$ bestimmen das System der DGLs und somit das Verhalten der gesuchten Funktion $\vec{y}(t)$. Es wird hierbei vorausgesetzt, dass die Funktionen $f_i(t, y_1, y_2, \dots, y_m)$ auf einer Teilmenge \mathcal{D} ($\mathbb{R}^{m+1} \supseteq \mathcal{D}$) kontinuierlich definiert sind und das so definierte Anfangswertproblem "well-posed" ist und eine eindeutige Lösung $\vec{y}(t)$ existiert. Bei gegebener Anfangskonfiguration

$$y_1(a) = \alpha_1, \quad y_2(a) = \alpha_2, \quad \dots, \quad y_m(a) = \alpha_m$$

ist es dann numerisch möglich das System von gekoppelten DGLs zu lösen.

Systeme von gekoppelten Differentialgleichungen



Wir betrachten zunächst das numerische Lösen eines Systems von m -gekoppelten Differentialgleichungen (DGLs) erster Ordnung der Form

$$\begin{aligned}\dot{y}_1(t) &= \frac{dy_1}{dt} = f_1(t, y_1, y_2, \dots, y_m) \\ \dot{y}_2(t) &= \frac{dy_2}{dt} = f_2(t, y_1, y_2, \dots, y_m) \\ \dot{y}_3(t) &= \dots = \\ &\dots = \dots \\ \dot{y}_m(t) &= \frac{dy_m}{dt} = f_m(t, y_1, y_2, \dots, y_m) \quad ,\end{aligned}$$

wobei die zeitliche Entwicklung der Vektorfunktion $\vec{y}(t) = (y_1(t), y_2(t), \dots, y_m(t))$ in den Grenzen $a \leq t \leq b$ gesucht wird.

Die m -Funktionen $f_i(t, y_1, y_2, \dots, y_m)$, $i \in [1, 2, \dots, m]$ bestimmen das System der DGLs und somit das Verhalten der gesuchten Funktion $\vec{y}(t)$. Es wird hierbei vorausgesetzt, dass die Funktionen $f_i(t, y_1, y_2, \dots, y_m)$ auf einer Teilmenge \mathcal{D} ($\mathbb{R}^{m+1} \supseteq \mathcal{D}$) kontinuierlich definiert sind und das so definierte Anfangswertproblem "well-posed" ist und eine eindeutige Lösung $\vec{y}(t)$ existiert. Bei gegebener Anfangskonfiguration

$$y_1(a) = \alpha_1, \quad y_2(a) = \alpha_2, \quad \dots, \quad y_m(a) = \alpha_m$$

ist es dann numerisch möglich das System von gekoppelten DGLs zu lösen.

Beispiel: Numerische Lösung eines Systems von zwei gekoppelten Differentialgleichungen erster Ordnung

Wir betrachten speziell das folgende System bestehend aus zwei gekoppelten DGLs ($m = 2$):

$$\begin{aligned}\dot{y}_1(t) &= \frac{dy_1}{dt} = 3y_1 + 2y_2 - (2t^2 + 1) \cdot e^{2t} =: f_1(t, y_1, y_2) \\ \dot{y}_2(t) &= \frac{dy_2}{dt} = 4y_1 + y_2 + (t^2 + 2t - 4) \cdot e^{2t} =: f_2(t, y_1, y_2) \quad ,\end{aligned}$$

und sind an der numerischen Lösung $\vec{y}(t) = (y_1(t), y_2(t))$ im Zeitintervall $t \in [0, 1]$ interessiert. Die Anfangsbedingungen lauten

$$y_1(0) = \alpha_1 = 1, \quad y_2(0) = \alpha_2 = 1 \quad .$$

Das Lösen dieses Systems von DGLs ist auf gleichem Wege möglich, wie man einzelne Differentialgleichungen numerisch approximiert.

C++ Programm: Implementierung der DGL bestimmenden Funktionen und analytische Lösungen zum Vergleich

DGL_2.cpp

```
/* Berechnung der Lösung eines Systems von Differentialgleichung
* der Form  $y_1' = f_1(t, y_1, y_2)$ ,  $y_2' = f_2(t, y_1, y_2)$ 
* mittels der Euler Methode und Runge-Kutta Ordnung vier Methode
* Zeitentwicklung von  $y_1(t)$ ,  $y_2(t)$  der fuer unterschiedliche  $t$ -Werte in  $[a, b]$ 
* Ausgabe zum Plotten mittels Python Jupyter Notebook DGL_2.ipynb: "./a.out > DGL_2.dat"
*/
#include <stdio.h>           // Standard Input- und Output Bibliothek in C, z.B. printf(...)
#include <cmath>              // Bibliothek für mathematisches (e-Funktion, Betrag, ...)

double f_1(double t, double y_1, double y_2){                                // Deklaration und Definition der Funktion f_1(t,y1,y2)
    double wert;
    wert = 3*y_1 + 2*y_2 - (2*pow(t,2) + 1)*exp(2*t);                         // Eigentliche Definition der Funktion
    return wert;                                                               // Rueckgabewert der Funktion f_1
}

double f_2(double t, double y_1, double y_2){                                // Deklaration und Definition der Funktion f_2(t,y1,y2)
    double wert;
    wert = 4*y_1 + y_2 + (pow(t,2) + 2*t - 4)*exp(2*t);                         // Eigentliche Definition der Funktion
    return wert;                                                               // Rueckgabewert der Funktion f_2
}

double y_1_analytisch(double t){                                                 // Analytische Loesung y_1(t)
    double wert;
    wert = exp(5*t)/3 - exp(-t)/3 + exp(2*t);                                // bei gegebenem Anfangswert y_1(a)=1, y_2(a)=1
    return wert;                                                               // Eigentliche Definition der analytische Loesung
}

double y_2_analytisch(double t){                                                 // Analytische Loesung y_2(t)
    double wert;
    wert = exp(5*t)/3 + 2*exp(-t)/3 + pow(t,2)*exp(2*t);                      // bei gegebenem Anfangswert y_1(a)=1, y_2(a)=1
    return wert;                                                               // Eigentliche Definition der analytische Loesung
}
```

```

int main(){
    double a = 0;
    double b = 1;
    int N = 100;
    double h = (b - a)/N;
    double alpha_1 = 1;
    double alpha_2 = 1;
    double t;
    double y_Euler_1 = alpha_1;
    double y_RungeK_4_1 = alpha_1;
    double k1_1,k2_1,k3_1,k4_1;
    double y_Euler_2 = alpha_2;
    double y_RungeK_4_2 = alpha_2;
    double k1_2,k2_2,k3_2,k4_2;
    double tmp;

    printf("# 0: Index i \n# 1: t-Wert \n# 2: Euler Methode y1 \n# 3: Euler Methode y2 \n");
    printf("# 4: Runge-Kutta Ordnung vier y1 \n# 5: Runge-Kutta Ordnung vier y2 \n");
    printf("# 6: Analytische Loesung y1 \n# 7: Analytische Loesung y2 \n");
    printf("%3d %19.15f %19.15f %19.15f %19.15f ",0, t, y_Euler_1, y_Euler_2, y_RungeK_4_1); // Beschreibung der ausgegebenen Groessen
    printf(" %19.15f %19.15f %19.15f \n", y_RungeK_4_2, y_1_analytisch(t), y_2_analytisch(t)); // Beschreibung der ausgegebenen Groessen
    printf(" %19.15f %19.15f %19.15f \n", y_RungeK_4_2, y_1_analytisch(t), y_2_analytisch(t)); // Beschreibung der ausgegebenen Groessen

    for(int i=0; i <= N; ++i){
        t = a + i*h;
        printf("%3d %19.15f %19.15f %19.15f %19.15f ",i, t, y_Euler_1, y_Euler_2, y_RungeK_4_1); // for-Schleife ueber die einzelnen Punkte des t-Intervalls
        printf(" %19.15f %19.15f %19.15f \n", y_RungeK_4_2, y_1_analytisch(t), y_2_analytisch(t)); // Zeit-Parameter wird um h erhoeht
        printf(" %19.15f %19.15f %19.15f \n", y_RungeK_4_2, y_1_analytisch(t), y_2_analytisch(t)); // Ausgaben der Loesungen
        printf(" %19.15f %19.15f %19.15f \n", y_RungeK_4_2, y_1_analytisch(t), y_2_analytisch(t)); // Ausgaben der Loesungen

        tmp = y_Euler_1 + h*f_1(t,y_Euler_1,y_Euler_2); // Euler Methode
        y_Euler_2 = y_Euler_2 + h*f_2(t,y_Euler_1,y_Euler_2); // y_2 Euler Methode
        y_Euler_1 = tmp; // y_1 Euler Methode

        k1_1 = h*f_1(t,y_RungeK_4_1,y_RungeK_4_2); // Runge-Kutta Parameter k1 fuer y_1
        k1_2 = h*f_2(t,y_RungeK_4_1,y_RungeK_4_2); // Runge-Kutta Parameter k1 fuer y_2
        k2_1 = h*f_1(t+h/2,y_RungeK_4_1+k1_1/2,y_RungeK_4_2+k1_2/2); // Runge-Kutta Parameter k2 fuer y_1
        k2_2 = h*f_2(t+h/2,y_RungeK_4_1+k1_1/2,y_RungeK_4_2+k1_2/2); // Runge-Kutta Parameter k2 fuer y_2
        k3_1 = h*f_1(t+h/2,y_RungeK_4_1+k2_1/2,y_RungeK_4_2+k2_2/2); // Runge-Kutta Parameter k3 fuer y_1
        k3_2 = h*f_2(t+h/2,y_RungeK_4_1+k2_1/2,y_RungeK_4_2+k2_2/2); // Runge-Kutta Parameter k3 fuer y_2
        k4_1 = h*f_1(t+h,y_RungeK_4_1+k3_1,y_RungeK_4_2+k3_2); // Runge-Kutta Parameter k4 fuer y_1
        k4_2 = h*f_2(t+h,y_RungeK_4_1+k3_1,y_RungeK_4_2+k3_2); // Runge-Kutta Parameter k4 fuer y_2
        y_RungeK_4_1 = y_RungeK_4_1 + (k1_1 + 2*k2_1 + 2*k3_1 + k4_1)/6; // Runge-Kutta Ordnung vier Methode fuer y_1
        y_RungeK_4_2 = y_RungeK_4_2 + (k1_2 + 2*k2_2 + 2*k3_2 + k4_2)/6; // Runge-Kutta Ordnung vier Methode fuer y_2
    }
}

```

main()-Programm

Zur Lösung des

Systems bestehend

aus zwei DGLs erster

Ordnung

```

int main(){
    double a = 0;
    double b = 1;
    int N = 100;
    double h = (b - a)/N;
    double alpha_1 = 1;
    double alpha_2 = 1;
    double t;
    double y_Euler_1 = alpha_1;
    double y_RungeK_4_1 = alpha_1;
    double k1_1,k2_1,k3_1,k4_1;
    double y_Euler_2 = alpha_2;
    double y_RungeK_4_2 = alpha_2;
    double k1_2,k2_2,k3_2,k4_2;
    double tmp;

    printf("# 0: Index i \n#");
    printf("# 4: Runge-Kutta \n#");
    printf("# 6: Analytische \n#");
    printf("%3d %19.15f %19.15f \n", y_Euler_1, y_Euler_2, y_RungeK_4_1);
    printf(" %19.15f %19.15f \n", y_RungeK_4_2, y1_analytisch(t), y2_analytisch(t));

    for(int i=0; i <= N; ++i){
        t = a + i*h;
        tmp = y_Euler_1 + h*f1(t,y_RungeK_4_1);
        y_Euler_2 = y_Euler_1;
        y_Euler_1 = tmp;

        k1_1 = h*f1(t,y_RungeK_4_1);
        k1_2 = h*f2(t,y_RungeK_4_1);
        k2_1 = h*f1(t+h/2,y_Euler_1);
        k2_2 = h*f2(t+h/2,y_Euler_1);
        k3_1 = h*f1(t+h/2,y_Euler_2);
        k3_2 = h*f2(t+h/2,y_Euler_2);
        k4_1 = h*f1(t+h,y_Euler_2);
        k4_2 = h*f2(t+h,y_Euler_2);

        y_Euler_1 = y_Euler_1 + (k1_1 + 2*k2_1 + 2*k3_1 + k4_1)/6; // Runge-Kutta Ordnung vier Methode fuer y1
        y_Euler_2 = y_Euler_2 + (k1_2 + 2*k2_2 + 2*k3_2 + k4_2)/6; // Runge-Kutta Ordnung vier Methode fuer y2
    }
}

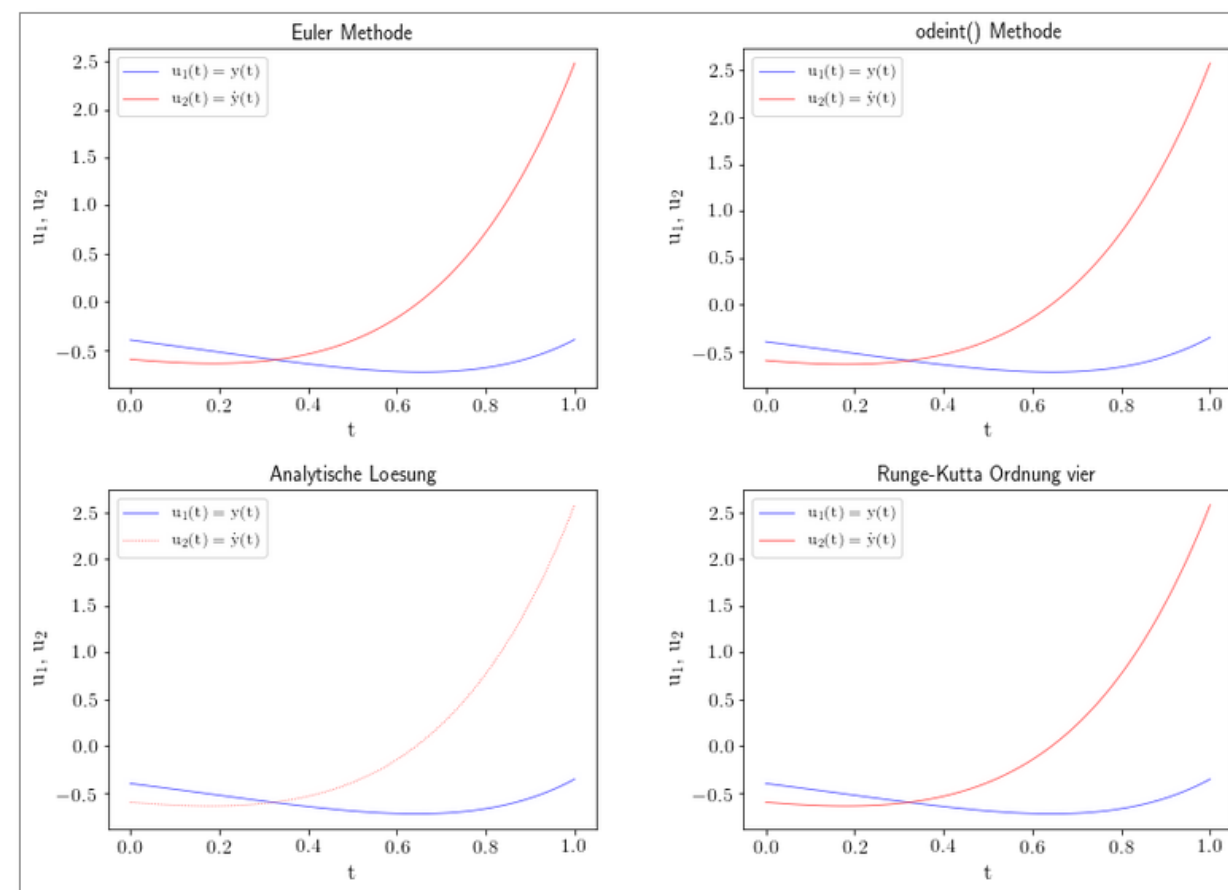
(base) hanauske@hanauske-Aspire-A717-72G:~/PPROG/EigProg/V9$ g++ DGL_2.cpp
(base) hanauske@hanauske-Aspire-A717-72G:~/PPROG/EigProg/V9$ ./a.out
# 0: Index i
# 1: t-Wert
# 2: Euler Methode y1
# 3: Euler Methode y2
# 4: Runge-Kutta Ordnung vier y1
# 5: Runge-Kutta Ordnung vier y2
# 6: Analytische Loesung y1
# 7: Analytische Loesung y2
0 0.000000000000000 1.000000000000000 1.000000000000000 1.000000000000000 1.000000000000000 1.000000000000000 1.000000000000000
0 0.000000000000000 1.000000000000000 1.000000000000000 1.000000000000000 1.000000000000000 1.000000000000000 1.000000000000000
1 0.010000000000000 1.040000000000000 1.010000000000000 1.040608426315013 1.010558940181763 1.040608427569041 1.010558941425456
2 0.020000000000000 1.081195946197052 1.021097006868275 1.082468186487541 1.022272409932680 1.082468189115352 1.022272412539396
3 0.030000000000000 1.123637330492212 1.033343871369918 1.125632778808522 1.035197418735856 1.125632782938618 1.035197422833657
4 0.040000000000000 1.167375849311085 1.046795999898338 1.170158168240702 1.049393799070299 1.170158174010907 1.049393804796552
5 0.050000000000000 1.212465508925469 1.061511473409989 1.216102907913251 1.064924341689591 1.216102915471323 1.064924349191579
6 0.060000000000000 1.258962735934773 1.077551171969109 1.263528266739016 1.081854937478282 1.263528276243294 1.081854946913853
7 0.070000000000000 1.306926493163091 1.094978905171568 1.312498363466237 1.100254726211197 1.312498375086330 1.100254737749452
8 0.080000000000000 1.356418401240555 1.113861548730063 1.363080307492500 1.120196252557172 1.363080321410022 1.120196266379195
9 0.090000000000000 1.407502866150967 1.134269187516644 1.415344346785449 1.141755629685859 1.415344363194790 1.141755645985495
10 0.100000000000000 1.460247213041785 1.156275265373008 1.469364023272402 1.165012710854272 1.469364042381559 1.165012729838951
11 0.110000000000000 1.514721826607265 1.179956742014139 1.525216336079555 1.190051269368648 1.525216358111003 1.190051291260258

```

Visualisierung und numerische Lösung mittels Python



Beim Klicken auf das untere rechte Bild gelangen Sie zu dem Jupyter Notebook [DGL_2.ipynb](#) in dem eine Visualisierung der Ergebnisse des oberen C++ Programms programmiert ist. Die untere Abbildung auf der linken Seite zeigt z.B. die Visualisierung der Daten von [DGL_2.cpp](#). Zusätzlich wird in dem Notebook auch die numerische Lösung direkt in Python generiert (Methode "integrate.odeint()" im Python-Modul "scipy") und mit den simulierten Daten der unterschiedlichen Verfahren verglichen.



Einführung in die Programmierung für Studierende der Physik

(Introduction to Programming for Physicists)

Vorlesung gehalten an der J.W.Goethe-Universität in Frankfurt am Main
(Sommersemester 2025)

von Dr.phil.nat. Dr.rer.pol. Matthias Hanauske

Frankfurt am Main 27.01.2025

Numerisches Lösen von Differentialgleichungen

Systeme von gekoppelten Differentialgleichungen und Differentialgleichungen zweiter Ordnung

Im Jupyter Notebook [DGL_1_2025.ipynb](#) haben wir einige in Python implementierte Lösungsmethoden für Differentialgleichungen erster Ordnung kennengelernt. In diesem Notebook werden wir uns zunächst mit Systemen von gekoppelten Differentialgleichungen erster Ordnung befassen und dann das numerische Lösen von Differentialgleichungen zweiter Ordnung vorstellen.

Systeme von gekoppelten Differentialgleichungen

Wir betrachten zunächst das numerische Lösen eines Systems von m -gekoppelten Differentialgleichungen (DGLs) erster Ordnung der Form

$$\begin{aligned} \dot{y}_1(t) &= \frac{dy_1}{dt} = f_1(t, y_1, y_2, \dots, y_m) \\ \dot{y}_2(t) &= \frac{dy_2}{dt} = f_2(t, y_1, y_2, \dots, y_m) \\ \dot{y}_3(t) &= \dots = \end{aligned}$$

Replikatordynamik (2xM)-Spiele

Wir beschränken uns zunächst auf symmetrische (2xM)-Spiele, d.h. zwei Personen - M Strategien Spiele. Da es sich um symmetrische Spiele handelt, sind alle Spieler gleichberechtigt und man kann von einer homogenen Population ausgehen.

Die Differentialgleichung der Replikatordynamik beschreibt wie sich die einzelnen Populationsanteil der zur Zeit t gewählten Strategien $x_j(t)$, $j=1,2,\dots,M$ im Laufe der Zeit entwickeln.

$$\dot{x}_j(t) := \frac{dx_j(t)}{dt} = x_j(t) \cdot \left[\sum_{k=1}^M \$_{jk} \cdot x_k(t) - \sum_{l=1}^M \sum_{k=1}^M \$_{kl} \cdot x_k(t) \cdot x_l(t) \right]$$

Wobei die Parameter $\$_{kl}$ die einzelnen Einträge in der Auszahlungsmatrix des 1. Spielers darstellen

$$\hat{\$} = \hat{\$}^1 = \begin{pmatrix} \$_{11} & \$_{12} & \$_{13} & \dots & \$_{1M} \\ \$_{21} & \$_{22} & \$_{23} & \dots & \$_{2M} \\ \$_{31} & \$_{32} & \$_{33} & \dots & \$_{3M} \\ \dots & \dots & \dots & \dots & \dots \\ \$_{M1} & \$_{M2} & \$_{M3} & \dots & \$_{MM} \end{pmatrix}$$

Fitness der Strategie j

Durchschnittlicher Erfolg der j-ten Strategie

Durchschnittliche Fitness (Auszahlung) der gesamten Population

Replikatordynamik

(für symmetrische (2x3)-Spiele)

Wir beschränken uns nun auf symmetrische (2x3)-Spiele, d.h. zwei Personen - 3 Strategien Spiele (M=3). Die Differentialgleichung der Replikatordynamik vereinfacht sich unter dieser Annahme wie folgt:

$$\frac{dx_j(t)}{dt} = x_j(t) \cdot \left[\sum_{k=1}^3 \$_{jk} \cdot x_k(t) - \sum_{l=1}^3 \sum_{k=1}^3 \$_{kl} \cdot x_k(t) \cdot x_l(t) \right]$$

$$\frac{dx_j}{dt} = x_j \cdot \left[\$_{j1} \cdot x_1 + \$_{j2} \cdot x_2 + \$_{j3} \cdot x_3 - \left(\$_{11} \cdot x_1 \cdot x_1 + \$_{12} \cdot x_1 \cdot x_2 + \$_{13} \cdot x_1 \cdot x_3 + \$_{21} \cdot x_2 \cdot x_1 + \$_{22} \cdot x_2 \cdot x_2 + \$_{23} \cdot x_2 \cdot x_3 + \$_{31} \cdot x_3 \cdot x_1 + \$_{32} \cdot x_3 \cdot x_2 + \$_{33} \cdot x_3 \cdot x_3 \right) \right]$$

$j = 1,2,3$

$\frac{1}{\$}$

Replikatordynamik

(für symmetrische (2x3)-Spiele)

Man erhält ein System von drei gekoppelten Differentialgleichungen:

$$\frac{dx_1}{dt} = x_1 \cdot [\$_{11} \cdot x_1 + \$_{12} \cdot x_2 + \$_{13} \cdot x_3 - \bar{\$}]$$

$$\frac{dx_2}{dt} = x_2 \cdot [\$_{21} \cdot x_1 + \$_{22} \cdot x_2 + \$_{23} \cdot x_3 - \bar{\$}]$$

$$\frac{dx_3}{dt} = x_3 \cdot [\$_{31} \cdot x_1 + \$_{32} \cdot x_2 + \$_{33} \cdot x_3 - \bar{\$}]$$

Das System von Differentialgleichungen lässt sich bei gegebener Auszahlungsmatrix $\$$ und Anfangsbedingung $(x_1(0), x_2(0), x_3(0))$ meist nur numerisch (auf dem Computer) lösen. Die Lösungen bestehen dann aus den drei (zeitlich abhängigen) Populationsanteilen $(x_1(t), x_2(t), x_3(t))$.

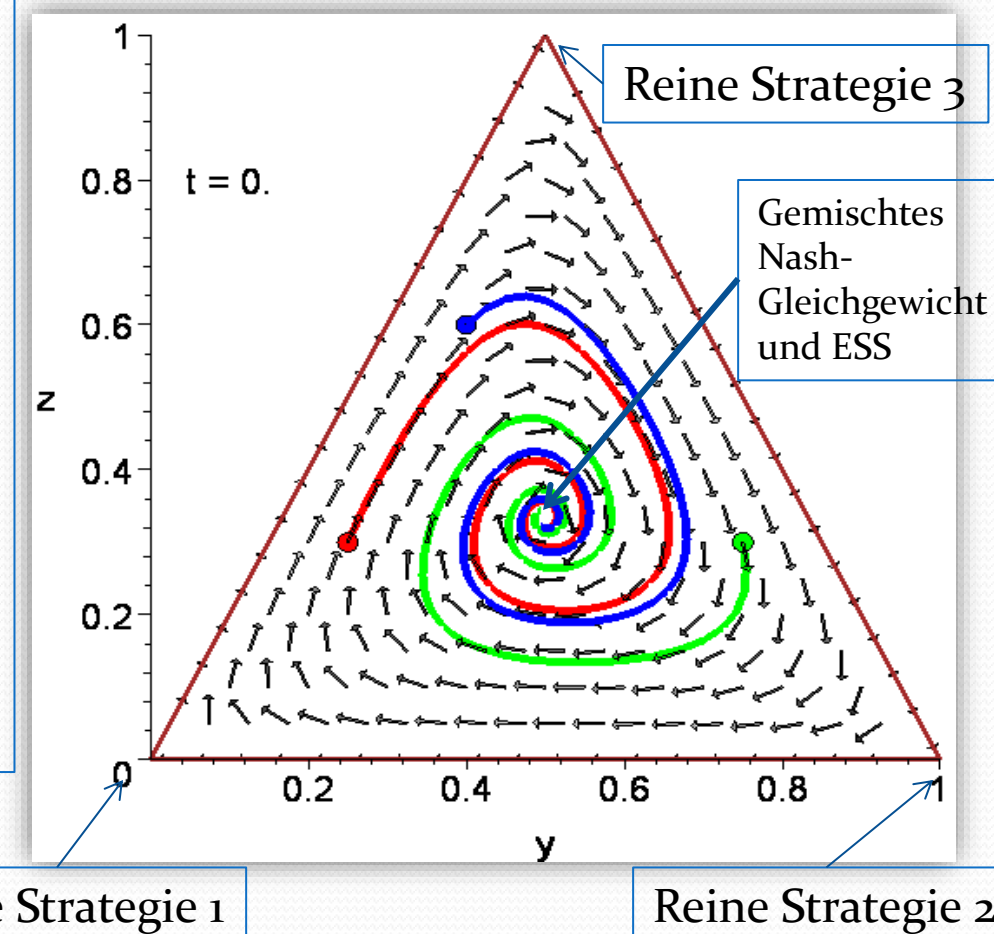
Replikatordynamik

(für symmetrische (2x3)-Spiele, Beispiel 1)

Wir betrachten im Folgenden ein Beispiel eines (2x3)-Spiels mit der rechts angegebenen Auszahlungsstruktur:

Die rechte Abbildung zeigt die zeitliche Entwicklung der relativen Populationsanteile der gewählten Strategien für drei mögliche Anfangsbedingungen. Die einzige evolutionär stabile Strategie dieses Beispiels befindet sich beim gemischten Nash-Gleichgewicht $\left(\frac{1}{3}, \frac{1}{3}, \frac{1}{3}\right)$. Die einzelnen Pfeile im Dreieck veranschaulichen den durch die Spielmatrix bestimmten Strategien-„Richtungswind“, dem die Population zeitlich folgen wird.

	Strategie 1	Strategie 2	Strategie 3
Strategie 1	(0, 0)	(2, -1)	(-1, 2)
Strategie 2	(-1, 2)	(0, 0)	(2, -1)
Strategie 3	(2, -1)	(-1, 2)	(0, 0)



Zur Visualisierung der evolutionären Entwicklung benutzt man oft die sogen. barycentric coordinates:

$$y := x_2 + \frac{x_3}{2}$$

$$z := x_3$$

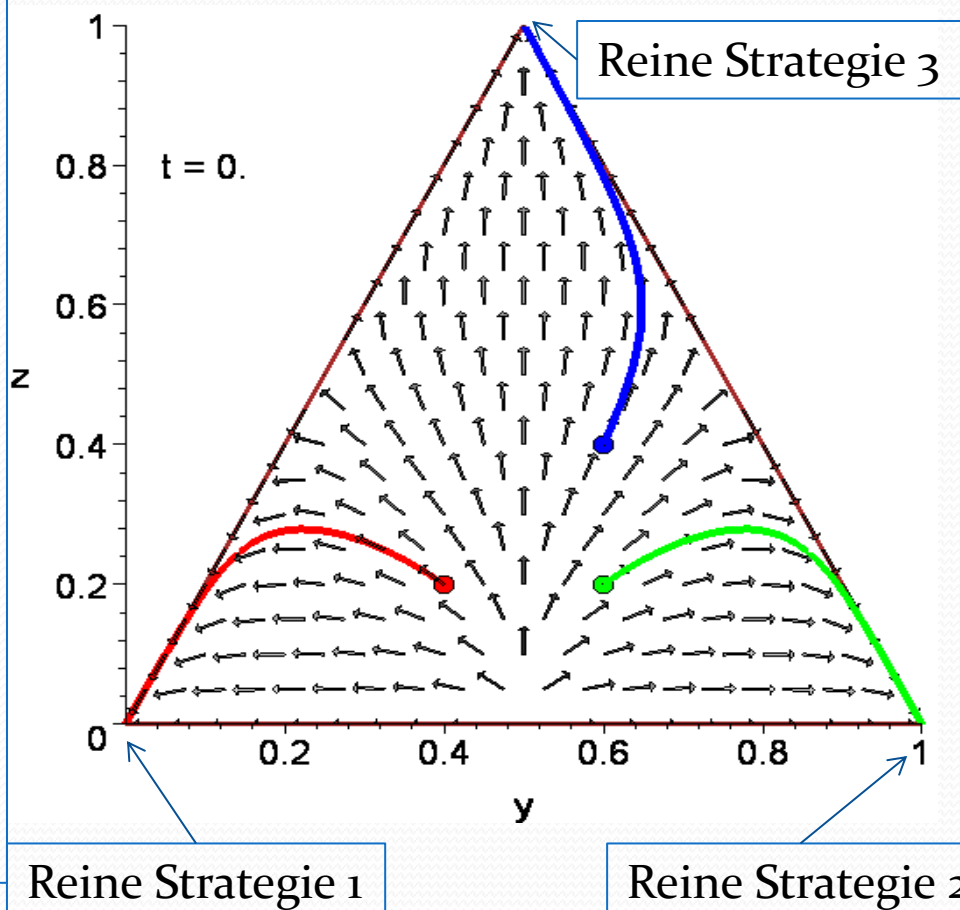
Replikatordynamik

(für symmetrische (2x3)-Spiele, Beispiel 2)

Wir betrachten im Folgenden ein Beispiel eines (2x3)-Spiels mit der rechts angegebenen Auszahlungsstruktur:

Die rechte Abbildung zeigt die zeitliche Entwicklung der relativen Populationsanteile der gewählten Strategien für drei mögliche Anfangsbedingungen. Das Spiel besitzt drei Nash-Gleichgewichte in reinen Strategien, die ebenfalls evolutionär stabile Strategien darstellen. Welche der drei ESS die Population realisiert hängt von dem Anfangswert der Populationsanteile ab. Die zeitliche Entwicklung folgt wieder dem Strategien-„Richtungswind“ der zugrundeliegenden Auszahlungsmatrix.

	Strategie 1	Strategie 2	Strategie 3
Strategie 1	(0, 0)	(-3, -3)	(-1, -1)
Strategie 2	(-3, -3)	(0, 0)	(-1, -1)
Strategie 3	(-1, -1)	(-1, -1)	(0, 0)

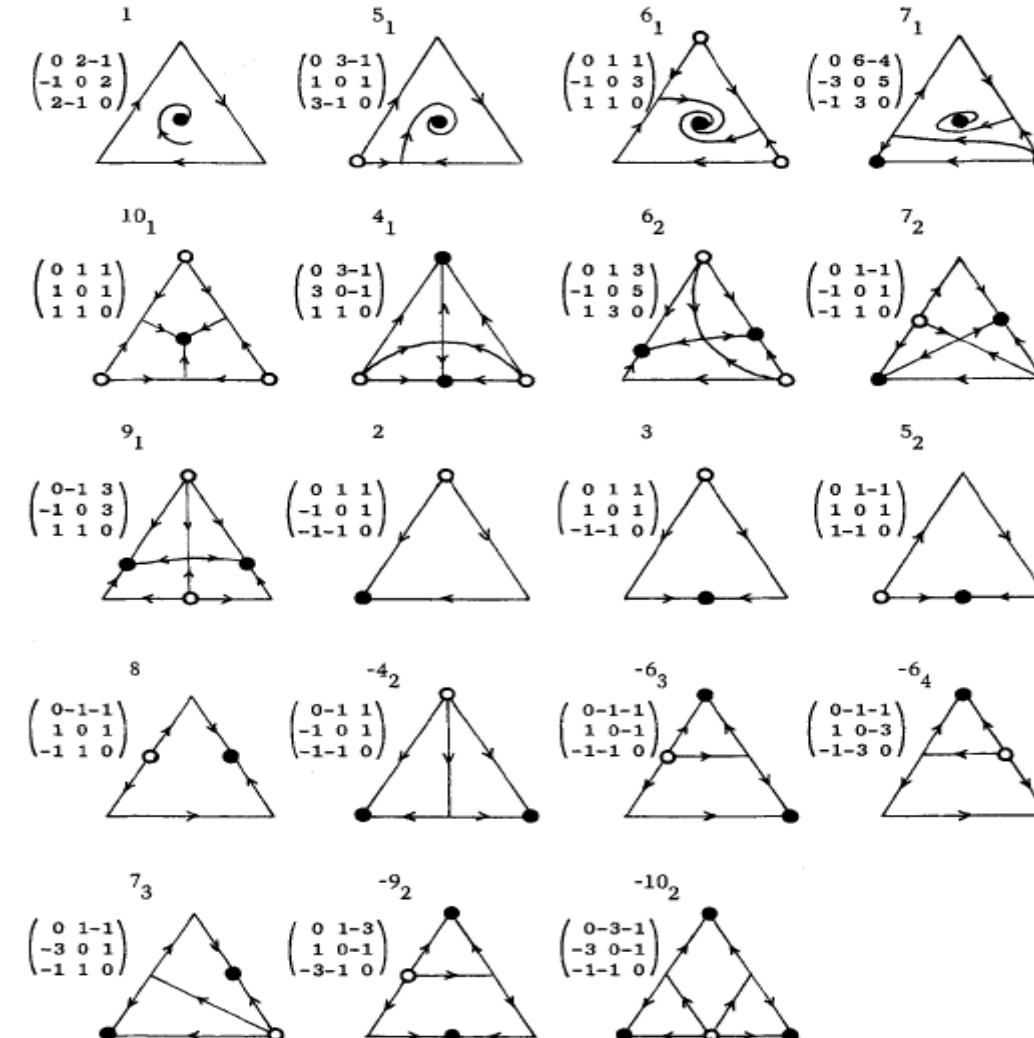


Replikatordynamik

(Klassifizierung symmetrische (2x3)-Spiele)

E. C. Zeeman zeigt in seinem im Jahre 1980 veröffentlichten Artikel, dass man evolutionäre, symmetrische (2x3)-Spiele in 19 Klassen einteilen kann. Die Abbildung rechts zeigt das evolutionäre Verhalten dieser 19 Spieltypen. Die ausgefüllten schwarzen Punkte markieren die evolutionär stabilen Strategien der jeweiligen Spiele. Es gibt Spielklassen, die besitzen lediglich eine ESS und Klassen die sogar drei ESS besitzen.

E. C. Zeeman, *POPULATION DYNAMICS FROM GAME THEORY*,
In: *Global Theory of Dynamical Systems*, Springer 1980



Jupyter Notebook Evolutionsspiel4.ipynb

Physik der sozio-ökonomischen Systeme mit dem Computer
(Physics of Socio-Economic Systems with the Computer)
Vorlesung gehalten an der J.W.Goethe-Universität in Frankfurt am Main
(Wintersemester 2025/26)
von Dr.phil.nat. Dr.rer.pol. Matthias Hanausek
Frankfurt am Main 22.08.2025
Erster Vorlesungsteil:
Die 19 Klassen der evolutionären symmetrischen (2×3) -Spiele

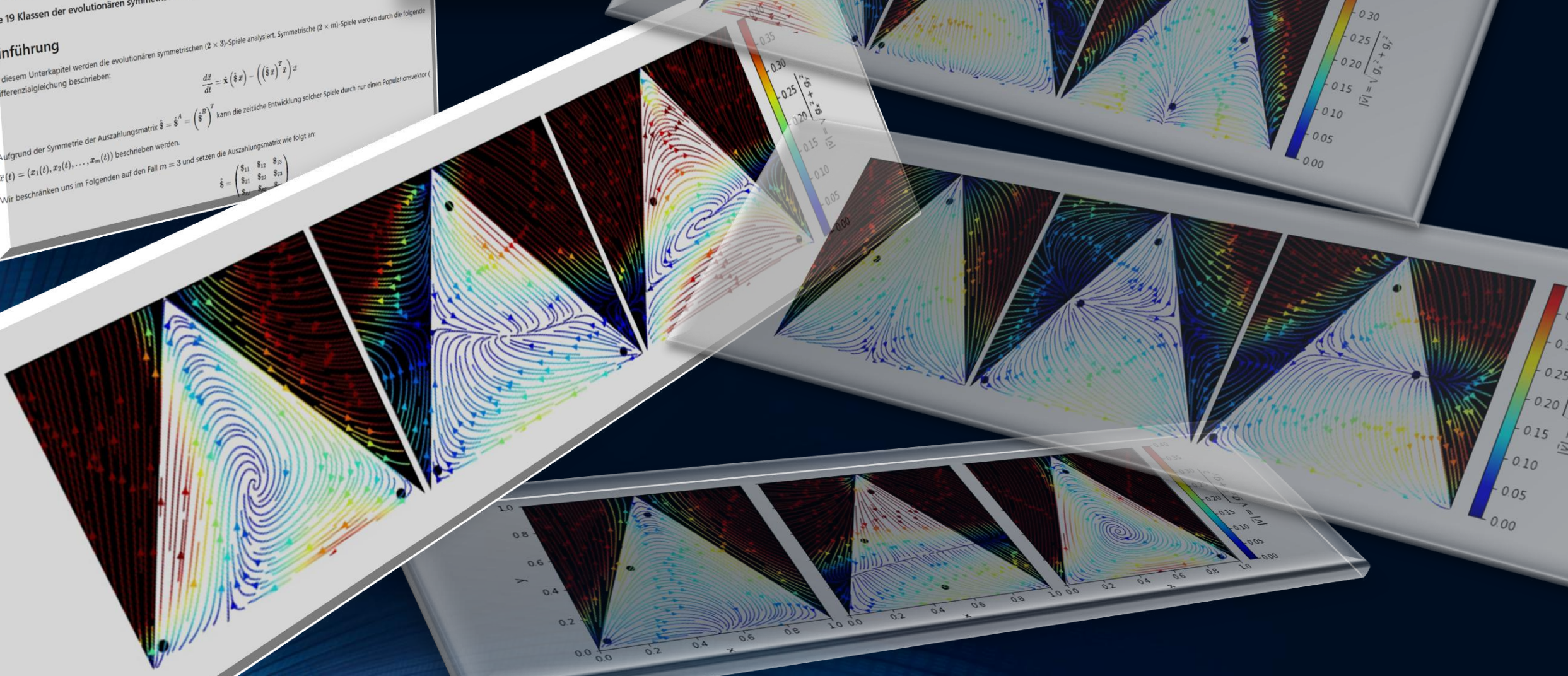
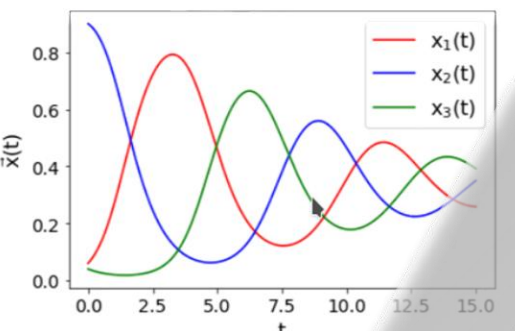
Einführung

In diesem Unterkapitel werden die evolutionären symmetrischen (2×3) -Spiele analysiert. Symmetrische $(2 \times m)$ -Spiele werden durch die folgende Differentialgleichung beschrieben:

$$\frac{dx}{dt} = \hat{x} \left(\hat{\$} \hat{x} \right) - \left(\left(\hat{\$} \hat{x} \right)^T \hat{x} \right) \hat{x}$$

Aufgrund der Symmetrie der Auszahlungsmatrix $\hat{\$} = \begin{pmatrix} \hat{\$}^A & \hat{\$}^B \end{pmatrix}^T$ kann die zeitliche Entwicklung solcher Spiele durch nur einen Populationsvektor $\hat{x}(t) = (x_1(t), x_2(t), \dots, x_m(t))$ beschrieben werden.

Wir beschränken uns im Folgenden auf den Fall $m = 3$ und setzen die Auszahlungsmatrix wie folgt an:

$$\hat{\$} = \begin{pmatrix} \$_{11} & \$_{12} & \$_{13} \\ \$_{21} & \$_{22} & \$_{23} \\ \$_{31} & \$_{32} & \$_{33} \end{pmatrix}$$


```

1  import numpy as np
2  import matplotlib.pyplot as plt
3  from matplotlib import rcParams
4  import matplotlib.colors as colors
5  from scipy.integrate import solve_ivp
6  from sympy import *
7
8  # baryzentrisches Dreiecks-Koordinatensystem
9  def xy(vx):
10     return np.array([vx[1]*vx[2]/2,vx[2]])
11
12 # Definition der Funktionen g_x und g_y
13 def g(xy, D):
14     m = 3
15     x = np.array([1-xy[0]-xy[1]/2,xy[0]-xy[1]/2,xy[1]])
16     dx_dt = []
17     for i in range(m):
18         dx_dt.append(sum(D[i,j]*x[i]*x[j] for j in range(m)))
19     return [dx_dt[1]+dx_dt[2]/2,dx_dt[2]])
20
21 # Vektorisiertes DGL-System mit numpy
22 def DGLsys(t, x, D):
23     x = np.asarray(x)
24     Dx = D @ x
25     u = np.dot(x, Dx)
26     return x * (Dx - u)
27
28 # Alternative Definition des DGL-Systems
29 #def DGLsys(t,x,D):
30 #    # m=3
31 #    # dx_dt = []
32 #    # for i in range(m):
33 #        # dx_dt.append(sum(D[i,j]*x[i]*x[j] for j in range(m)))
34 #    # return dx_dt
35
36 # Loesen der DGL und plotten der Populationsentwicklung
37 def solve_and_plot(D, x_init, t_end=15, n_points=1000):
38     # Groessenfestlegung der Labels usw. im Bild
39     rcParams.update({
40         'text.usetex' : True,
41         'figure.figsize' : [8,6],
42         'axes.titlesize' : 14,
43         'axes.labelsize' : 16,
44         'xtick.labelsize' : 14 ,
45         'ytick.labelsize' : 14
46     })
47
48     # Weitere Festlegungen
49     fehler = 10**(-13)
50     t_eval = np.linspace(0, t_end, n_points)
51
52     # Loesung der DGL fuer eine Anfangspopulation x_init
53     Loes = solve_ivp(DGLsys, [0, t_end], x_init, args=(D, ), t_eval=t_eval)
54
55     # Fuer die Darstellung des Feldliniendiagramms streamplot
56     Y, X = np.mgrid[0:1:100j, 0:1:100j]
57     gXY = g([X,Y],D)
58     # Die Farbe wird die Geschwindigkeit der Aenderung des Populations
59     colorspeed = np.sqrt(gXY[0]**2 + gXY[1]**2)
60
61     # Plotten des Bildes
62     fig, ax = plt.subplots(figsize=(10, 8))
63     ax.set_xlabel(r"$x$")
64     ax.set_ylabel(r"$y$")
65     strm = ax.streamplot(X, Y, gXY[0], gXY[1], linewidth=1, density=1)
66
67     # Anpassungen an das Bild
68     ax.set_xlim(0, 1)
69     ax.set_ylim(0, 1)
70     ax.set_aspect('equal')
71
72     # Legende
73     cbar = plt.colorbar(strm, shrink=0.5, aspect=5)
74     cbar.set_label("Geschwindigkeit")
75
76     # Titel und Beschriftungen
77     plt.title("Baryzentrisches Dreiecks-Koordinatensystem")
78     plt.xlabel("x")
79     plt.ylabel("y")
80
81     # Legende
82     plt.legend()
83
84     # Anzeige
85     plt.show()
86
87     # Speichern
88     plt.savefig("Baryzentrisches_Dreiecks_Koordinatensystem.pdf")
89
90
91
92
93
94
95
96
97
98
99
100
101
102
103
104
105

```

Auf der Internetseite der Vorlesung

- Folien der 5. Vorlesung
- Vorlesungsaufzeichnung der 5. Vorlesung: WS 2022/23 bzw. WS 2021/22
- View Jupyter Notebook: Die 19 Klassen der evolutionären symmetrischen (2x3)-Spiele
- Download Jupyter Notebook: Die 19 Klassen der evolutionären symmetrischen (2x3)-Spiele
- Download Python Programm: Evolutionäre Spieltheorie symmetrischer (2x3)-Spiele (2x3-Spiel)
- View Jupyter Notebook: Die Räuber-Beute Gleichung im Kontext der evolutionären Spieltheorie
- Download Jupyter Notebook: Die Räuber-Beute Gleichung im Kontext der evolutionären Spieltheorie
- Maple Worksheet: Äquivalenz der Räuber-Beute-Gleichung für N-Populationen mit der Replikatorgleichung evolutionären Spieltheorie für (N+1)-Strategien
- Download Jupyter Notebook VPSOC DGL Lipynb
- View Jupyter Notebook VPSOC DGL 1.html
- Download C++ Programm evoll1.cpp
- Download C++ Programm evoll2.cpp

Python Programm 2x3-Spiel_ng.py

Modularisierung des Programms mittels unterschiedlicher Funktionen

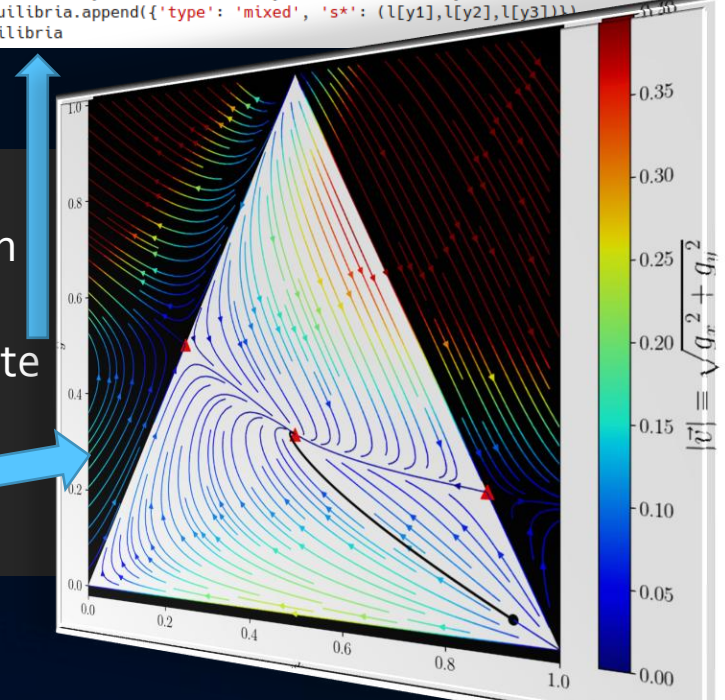
Berechnung der Nash-Gleichgewichte

Automatische Kennzeichnung der Nash-Gleichgewichte im Bild

```

# Funktion zur Berechnung der Nashgleichgewichte
def find_nash_equilibria(D):
    equilibria = []
    # Berechnung der reinen Nash-Gleichgewichte
    for i in range(D.shape[0]):
        for j in range(D.shape[0]):
            if D[i, j] == max(D[:, j]) and D[j, i] == max(D[:, i]):
                equilibria.append({'type': 'pure', 's': (i+1,j+1)})
    #Berechnung der gemischten Nash-Gleichgewichte (Interior-gemischte und Boundary-gemischte)
    Loes_GN = []
    x1,x2,x3,y1,y2,y3 = symbols('x_1,x_2,x_3,y_1,y_2,y_3')
    xs = Matrix([x1,x2,x3])
    ys = Matrix([y1,y2,y3])
    Dollar_A = transpose(xs)*D*ys
    Dollar_As = Dollar_A.subs(x3,1-x1-x2).subs(y3,1-y1-y2)[0]
    Dollar_As_1 = Dollar_A.subs(x1,0).subs(x3,1-x2).subs(y3,1-y1-y2)[0]
    Dollar_As_2 = Dollar_A.subs(x2,0).subs(x3,1-x1).subs(y3,1-y1-y2)[0]
    Dollar_As_3 = Dollar_A.subs(x3,0).subs(x2,1-x1).subs(y3,1-y1-y2)[0]
    GemNash_Eq1 = Eq(Dollar_As.diff(x1),0)
    GemNash_Eq2 = Eq(Dollar_As.diff(x2),0)
    GemNash_Eq_1 = Eq(Dollar_As_1.diff(x2),0)
    GemNash_Eq_2 = Eq(Dollar_As_2.diff(x1),0)
    GemNash_Eq_3 = Eq(Dollar_As_3.diff(x1),0)
    Bed_a=Eq(1,y1+y2+y3)
    Loes_GN.append(solve([GemNash_Eq1,GemNash_Eq2,Bed_a]))
    Bed_a=Eq(0,y1)
    Bed_b=Eq(1,y2+y3)
    Loes_GN.append(solve([GemNash_Eq_1,Bed_a,Bed_b]))
    Bed_a=Eq(0,y2)
    Bed_b=Eq(1,y1+y3)
    Loes_GN.append(solve([GemNash_Eq_2,Bed_a,Bed_b]))
    Bed_a=Eq(0,y3)
    Bed_b=Eq(1,y1+y2)
    Loes_GN.append(solve([GemNash_Eq_3,Bed_a,Bed_b]))
    for l in Loes_GN:
        if l and 0 <= l[y1] < 1 and 0 <= l[y2] < 1 and 0 <= l[y3] < 1 :
            equilibria.append({'type': 'mixed', 's': (l[y1],l[y2],l[y3])})
    return equilibria

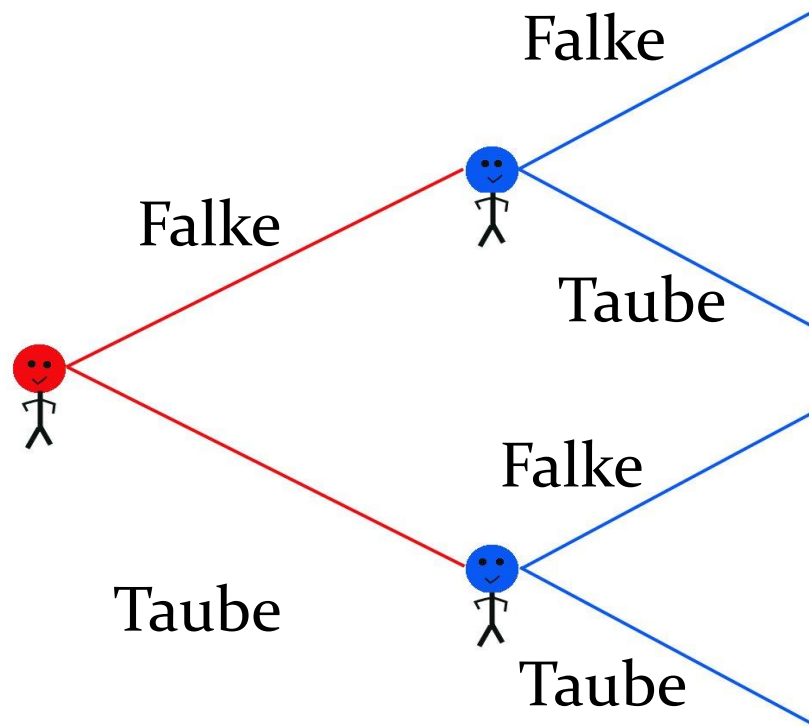
```



Anwendungsfelder Spieltheorie

- Anwendungsfelder in den Wirtschafts- Sozialwissenschaften und Biologie
 - Experimentelle Ökonomie
 - Die Finanzkrise als Falke-Taube Spiel
 - Die Entstehung einer dritten Strategie im Elfmeter-Spiel (Nesken Effekt)
 - Evolutionäre Entwicklung einer Eidechsen Population als symmetrisches (2x3)-Spiel
 - Das Räuber-Beute Spiel und die Lotka-Volterra-Gleichung
 - Die Klimakrise als Populationsdilemma

Das Falke-Taube Spiel



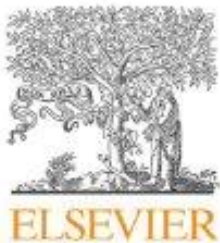
Parameter setting	Risk of destabilisation	d	p_h	p_m
P1	LOW	6	5	3
P2	MEDIUM	10	5	3
P3	HIGH	20	5	3

TABLE II: Parameters of the three different sets of the underlying payoff matrix used to model the investment market of the Hawk-Dove game.

	Falke	Taube
Falke	$((p_h-d)/2, (p_h-d)/2)$	$(p_h, 0)$
Taube	$(0, p_h)$	$(p_m/2, p_m/2)$

Das Falke-Taube-Spiel modelliert ursprünglich den Wettkampf um eine Ressource (z.B. Nistplatz). Das Spiel wird jedoch oft auch auf andere Systeme angewendet, wobei die Taube-Strategie eine friedliche Verhaltensweise symbolisiert und die Falke-Strategie ein aggressives Verhalten. Im folgenden Artikel wird das Falke-Taube-Spiel auf den Immobilien-Investmentmarkt angewendet (Spieler-Population: Investmentbanker).

TABLE I: Payoff matrix for investment bankers A and B within the Hawk-Dove game. The parameters are defined as follows: p_h : high selling premium, d : disutility resulting from fighting and p_m : moderate selling premium.



Contents lists available at ScienceDirect

Physica A

journal homepage: www.elsevier.com/locate/physa



Doves and hawks in economics revisited: An evolutionary quantum game theory based analysis of financial crises

Matthias Hanauske^{a,*}, Jennifer Kunz^b, Steffen Bernius^a, Wolfgang König^c

^a Institute of Information Systems, Goethe-University, Grüneburgplatz 1, 60323 Frankfurt/Main, Germany

^b Chair of Controlling & Auditing, Goethe-University, Grüneburgplatz 1, 60323 Frankfurt/Main, Germany

^c House of Finance, Goethe-University, Grüneburgplatz 1, 60323 Frankfurt/Main, Germany

ARTICLE INFO

Article history:

Received 14 April 2009

Received in revised form 22 April 2010

Available online 15 June 2010

Keywords:

Evolutionary game theory

Quantum game theory

Hawk–dove game

Financial crisis

ABSTRACT

The last financial and economic crisis demonstrated the dysfunctional long-term effects of aggressive behaviour in financial markets. Yet, evolutionary game theory predicts that under the condition of strategic dependence a certain degree of aggressive behaviour remains within a given population of agents. However, as a consequence of the financial crisis, it would be desirable to change the "rules of the game" in a way that prevents the occurrence of any aggressive behaviour and thereby also the danger of market crashes. The paper picks up this aspect. Through the extension of the well-known hawk–dove game by a quantum approach, we can show that dependent on entanglement, evolutionary stable strategies also can emerge, which are not predicted by the classical evolutionary game theory and where the total economic population uses a non-aggressive quantum strategy.

© 2010 Elsevier B.V. All rights reserved.

Wie entwickelt sich der Populationsvektor $x(t)$ der Investmentbanker im Laufe der Zeit?

Benutzen Sie hierbei die drei unterschiedlichen Parametersets der vorigen Folie.

Das Spiel der Geldpolitik

Fiskalbehörde Geldbehörde	Keine neuen Schulden	Weiter Schulden machen
Finanzierung des Staatsdefizits über inflationäre Geldschöpfung	(3, 3)	(2, 4)
Stabile Geldpolitik	(4, 2)	(0, 0)

Eine nationale, oder auch europäische Geldpolitik ist stets in einem fiskalpolitischen Diskurs. Die Geldbehörde (Zentralbank), die z.B. durch eine Verknappung der Geldmenge (kontraktive/restriktive) Geldpolitik bzw. eine Ausdehnung der Geldmenge (expansive Geldpolitik), eine stabile bzw. unstabile Strategie wählen kann, ist bestrebt ihre geldpolitischen Ziele (z.B. Preisniveaustabilität) durchzusetzen. Sowohl die Entscheidungsträger der Geldpolitik als auch die Politiker, welche eine fiskalpolitische Entscheidung zu treffen haben, befinden sich in einem wiederholten Spiel. Laut Gerhard Illing (Theorie der Geldpolitik, Kapitel 10.2) ist das gesamte geldpolitische Spiel, in erster Näherung, wie in der obigen Spielmatrix zu approximieren. Zusätzlich wirkt das globale Finanznetzwerk, zusammengesetzt (unter anderem) aus einer Vielzahl von Spekulanten, auf die Regierung ein, indem sie durch spekulativen Devisenhandel Währungskurse attackieren. Näheres siehe: Hochschul-Sommerkurses 2011, „Money, Money, Money: Deutschlands Wirtschafts- und Finanzleben“ (https://itp.uni-frankfurt.de/~hanauske/new/HSK_2011/index.html)

Das Spiel der Geldpolitik

Fiskalbehörde Geldbehörde	Keine neuen Schulden	Weiter Schulden machen
Finanzierung des Staatsdefizits über inflationäre Geldschöpfung	(3, 3)	(2, 4)
Stabile Geldpolitik	(4, 2)	(0, 0)

Obwohl hier eine symmetrische Spielmatrix vorliegt, ist das zugrundeliegende Spiel als Bi-Matrix Spiel zu beschreiben. In welche Klasse von Bi-Matrix Spielen ist das Spiel einzuordnen? Beschreiben Sie die möglichen zeitlichen Entwicklungen.

Benutzen Sie hierbei das folgende Maple oder Python Programm:

- 1) Bi-Matrix Spiele (Maple): <https://itp.uni-frankfurt.de/~hanauske/VPSOC/T1/maple/I-2-4/BiMatrix1.html>
- 2) Bi-Matrix Spiele (Python): <https://itp.uni-frankfurt.de/~hanauske/VPSOC/2025/jupyter/EvolutionSpiel3.html>

Anwendungsfelder der Spieltheorie (I)

- **Biologie**

- **Verteilung von Bakterien in Organismen**

Siehe z.B.: Kerr, Feldmann, Nature 2002

- **Kooperation von Virus-Populationen**

Siehe z.B.: Turner, Chao, Nature 1999

- **Paarungsstrategien von Eidechsen**

Siehe z.B.: Sinervo, Hazard, Nature 1996

- **Evolutionäre Entwicklung von Makromolekülen**

Siehe z.B.: Eigen, Schuster, Naturwissenschaften 64, 1977

Evolutionäre Spieltheorie

Evolutionäre Entwicklung von biologischen Systemen

Quasispezies und die Fitness der Genom Sequenz

Viele der in diesem Unterkapitel behandelten Systeme sind dem Buch [Martin A. Nowak, Evolutionary Dynamics - Exploring the Equations of Life, 2006](#) entnommen, welches eine sehr gute und allgemein verständliche Einführung in das Themengebiet der evolutionären Dynamik darstellt. Obwohl der Fokus dieses Buches im Bereich der Evolution von biologischen Systemen liegt (siehe Kapitel 10: HIV Infection, Kapitel 11: Evolution of Virulence, Kapitel 12: Evolutionary Dynamics of Cancer, und Kapitel 13: Language Evolution), sind die Kapitel 1-9 weitgehend allgemein formuliert. Die evolutionäre Dynamik unterschiedlicher Spezies einer Tierart und der Mechanismus wie Tierarten ineinander übergehen wurde von Charles Darwin bereits im Jahre 1840 beschrieben. Im Jahre 1973 stellte John Maynard Smith eine Verbindung zwischen den Populationsgleichungen der Biologie und der evolutionären Spieltheorie her. Das Konzept der *Quasi-Spezien* (Ensemble von ähnlichen Genomen Sequenzen (Erbgut eines Lebewesens) welches durch einen Prozess der Mutation und Selektion entstanden ist) wurde von Manfred Eigen und Peter Schuster entwickelt ([siehe Kapitel 3.3: Martin A. Nowak, Evolutionary Dynamics - Exploring the Equations of Life](#)). Die Struktur der Quasi-Spezien Differentialgleichung ist den Gleichungen der evolutionären Spieltheorie sehr ähnlich ([siehe Bild 3.4 und 4.5: Martin A. Nowak, Evolutionary Dynamics - Exploring the Equations of Life](#)). Die evolutionäre Vorteilhaftigkeit einer Genom Sequenz wird hierbei als die *Fitness* der Quasi-Spezie bezeichnet. *Quasi-Spezien* entsprechen den Strategien der Spieltheorie und die Fitness kann als der Auszahlungswert einer Strategie aufgefasst werden. Die zeitliche Entwicklung der *Quasi-Spezien* am Beispiel des Paarungsverhalten von Eidechsen wird z.B. in [siehe Sinervo, Barry, and Curt M. Lively. 'The rock-paper-scissors game and the evolution of alternative male strategies.' Nature 380.6571 \(1996\): 240.](#) analysiert ([siehe auch Vorlesung 6](#)). Die evolutionäre Dynamik hängt von der unterliegenden Netzwerkstruktur der beteiligten Akteure ab und skalenfreie Netzwerkstrukturen agieren hier als Verstärker der evolutionären Selektion ([siehe Kapitel 8, Evolutionary Graph Theory: Martin A. Nowak, Evolutionary Dynamics - Exploring the Equations of Life](#)). Im folgenden Unterpunkt werden sie sogenannten *Spatial Games* behandelt ([eine ausführliche Einführung findet sich im Kapitel 9: Martin A. Nowak, Evolutionary Dynamics - Exploring the Equations of Life](#)).

Siehe Teil III der Vorlesung

Beispiel

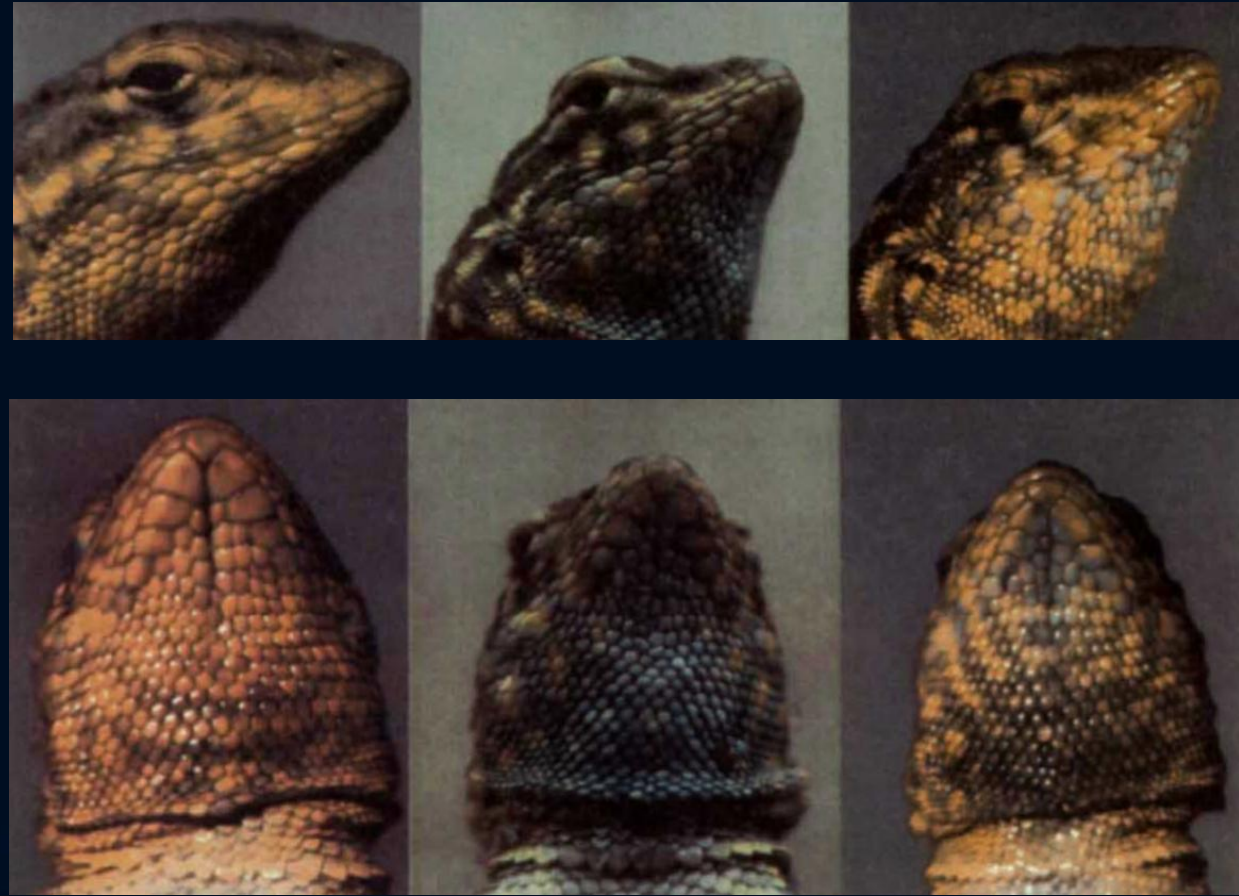
The rock–paper–scissors game and the evolution of alternative male strategies

B. Sinervo & C. M. Lively

Department of Biology and Center for the Integrative Study of Animal Behavior, Indiana University, Bloomington, Indiana 47405, USA



Evolutionäre
Strategie
(Quasi-Spezies)



Orange

Blau

Gelb

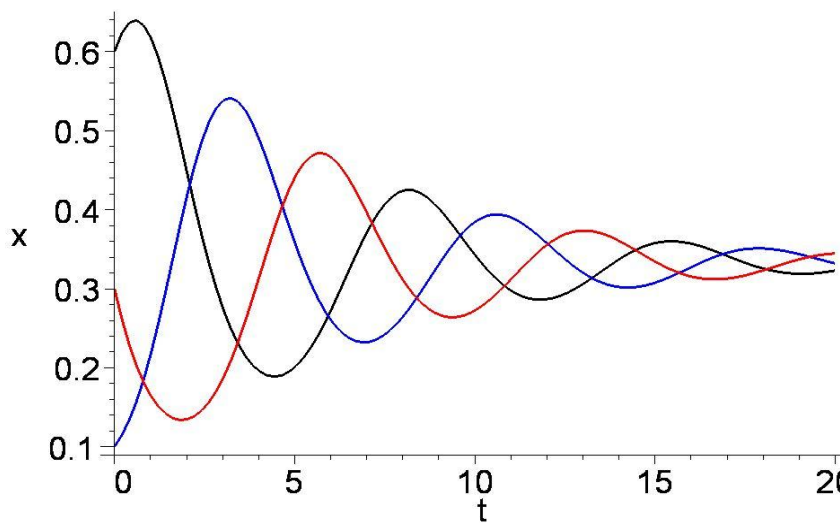
The Rock-Siccor-Paper Game Replicatordynamics and ESS

$$\frac{dx_1}{dt} = x_1 \cdot [2 \cdot x_2 - x_3 - \bar{\$}]$$

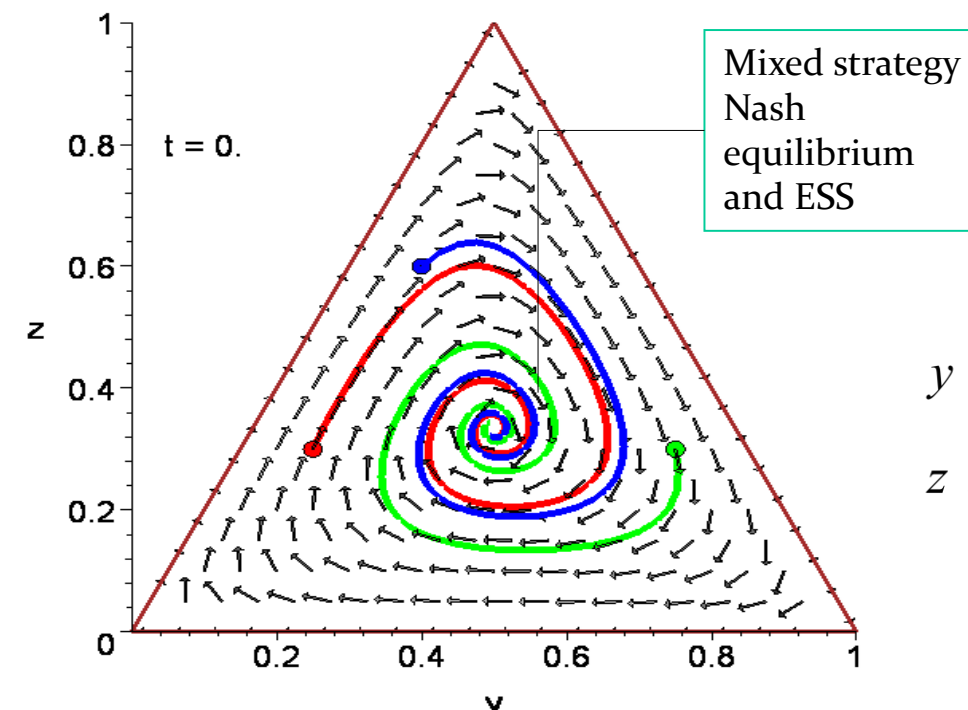
$$\frac{dx_2}{dt} = x_2 \cdot [-x_1 + 2 \cdot x_3 - \bar{\$}]$$

$$\frac{dx_3}{dt} = x_3 \cdot [2 \cdot x_1 - x_2 - \bar{\$}]$$

with: $\bar{\$} = x_1 \cdot x_2 + x_1 \cdot x_3 + x_2 \cdot x_3$



	Strategie 1	Strategie 2	Strategie 3
Strategie 1	(0, 0)	(1, -1)	(-1, 1)
Strategie 2	(-1, 1)	(0, 0)	(1, -1)
Strategie 3	(1, -1)	(-1, 1)	(0, 0)



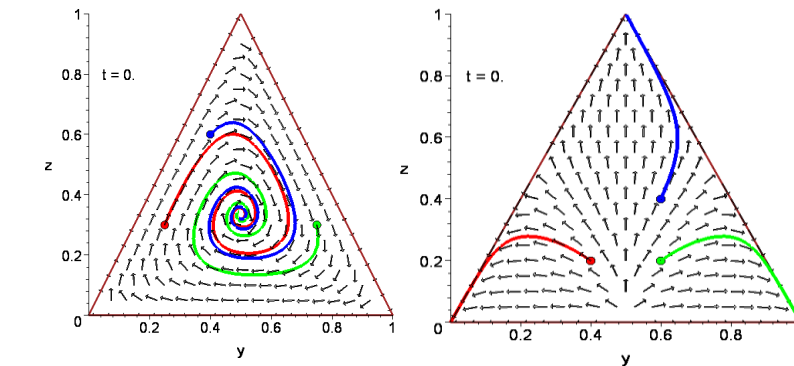
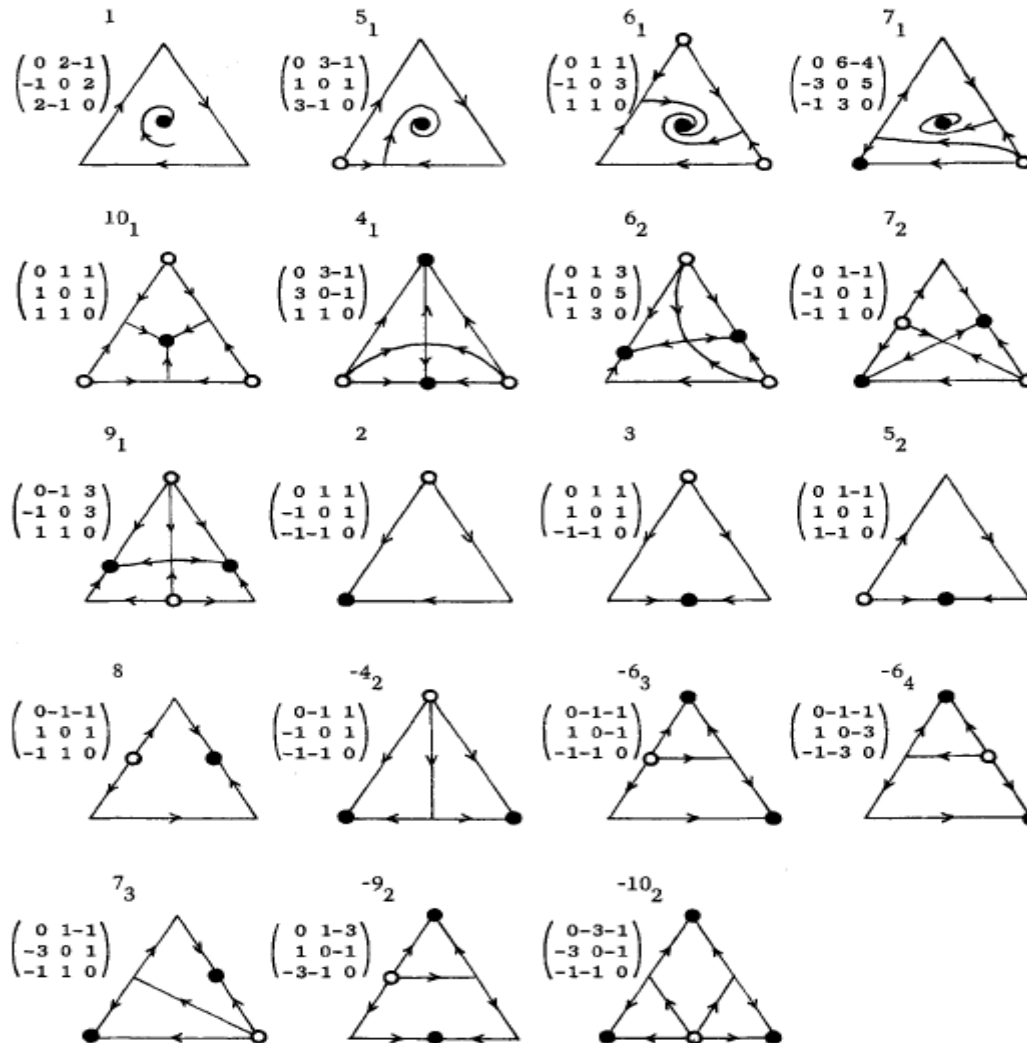
Using
barycentric
coordinates:

$$y := x_2 + \frac{x_3}{2}$$

$$z := x_3$$



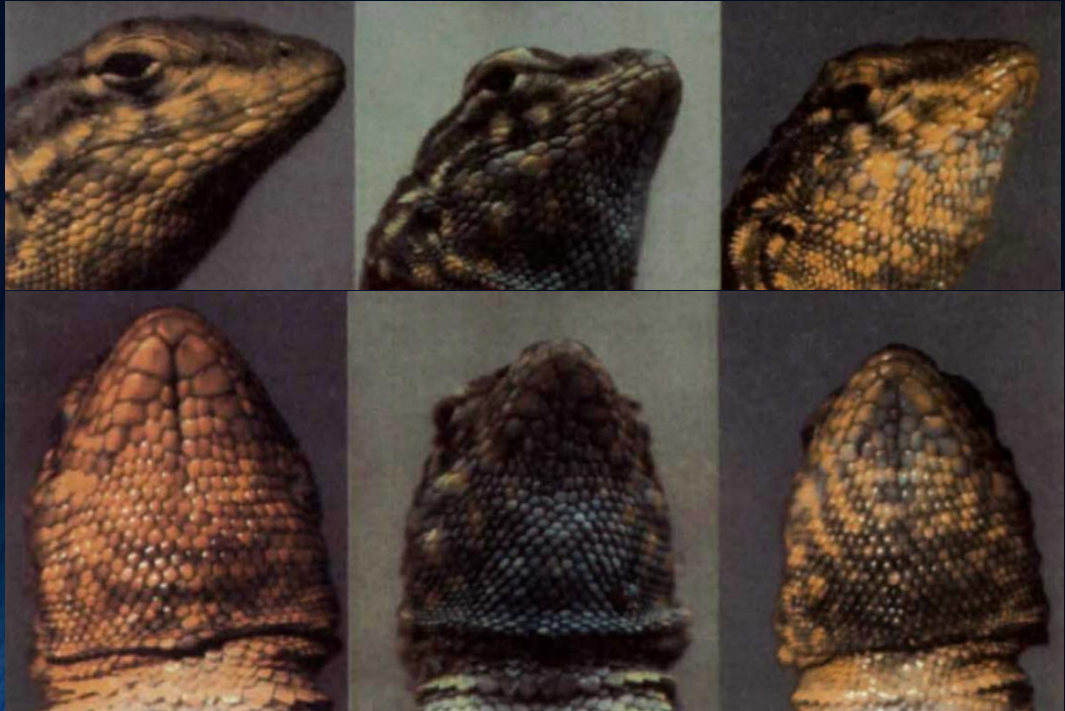
Classes of symmetric (2x3) games



FE. C. Zeeman proved in his article that one can categorize symmetric evolutionary (2x3) games into 19 different classes. The figure on the left side shows that some classes have only one ESS (filled black circles), while others can have three ESSs.

E. C. Zeeman, *POPULATION DYNAMICS FROM GAME THEORY*,
In: Global Theory of Dynamical Systems, Springer 1980

The Rock-Papers-Scissors Game and the Evolution of Sexual Selection



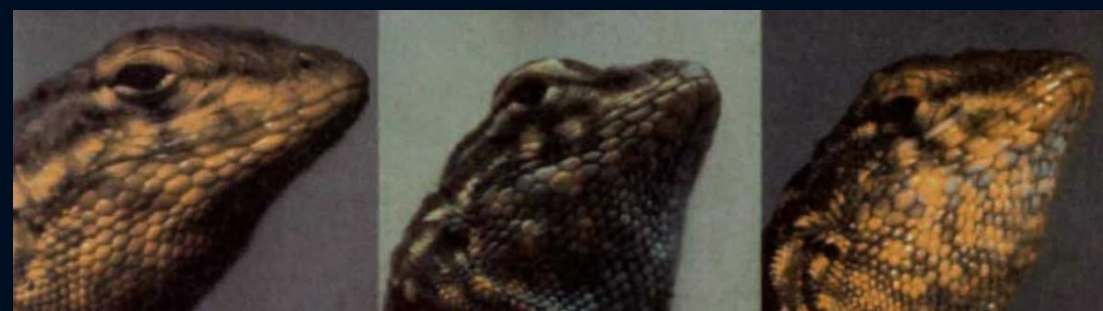
B.Sinervo and C.M.Lively focus within their article (The rock-paper-scissors game and the evolution of alternative male strategies, *Nature*, Vol.380 (1996)) on the sexual selection of male side-blotched lizards. From 1990-1995 they studied experimentally these animals and proposed an evolutionary model to explain their data.

Male fitness:
Number of monopolized + shared females

The male lizards have substantially three different colors, which are strongly connected to their behavior: **Orange** (very aggressive, defend large territories), **Blue** (less aggressive, defend small territories), **Yellow** (sneakers, look like females, not aggressive, do not defend territories). The payoff for the male lizards (their fitness) was estimated by the number of monopolized females (exclusively on his home range) and shared females (overlap to other territories).

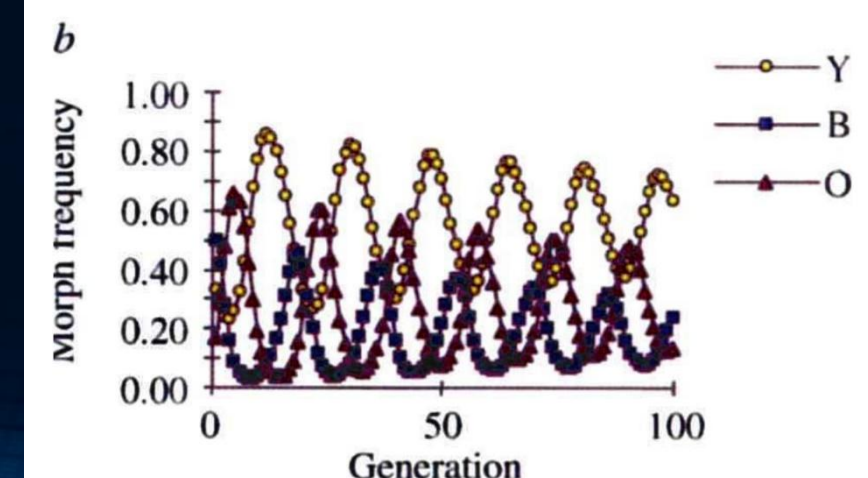
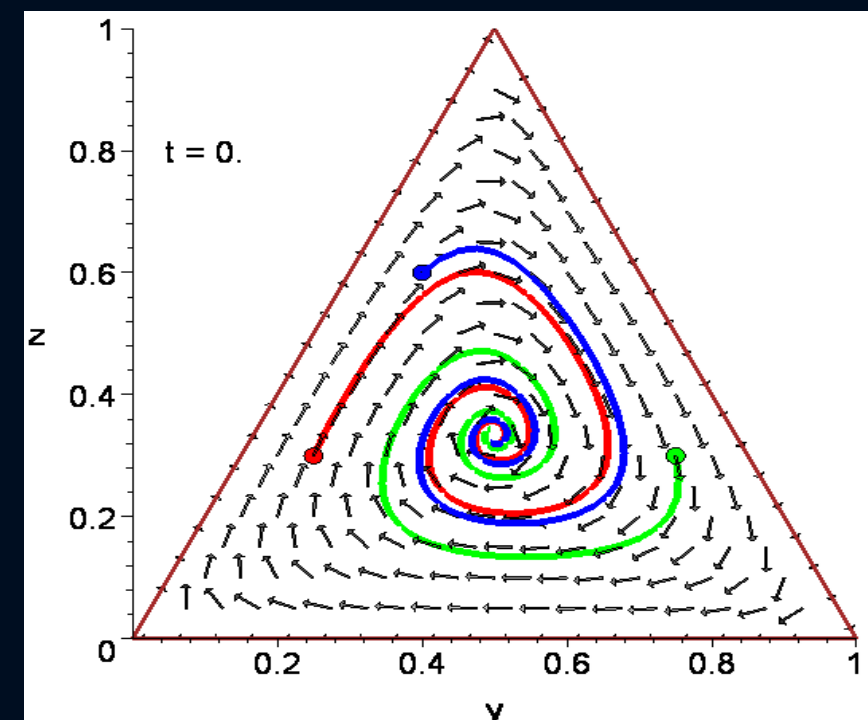
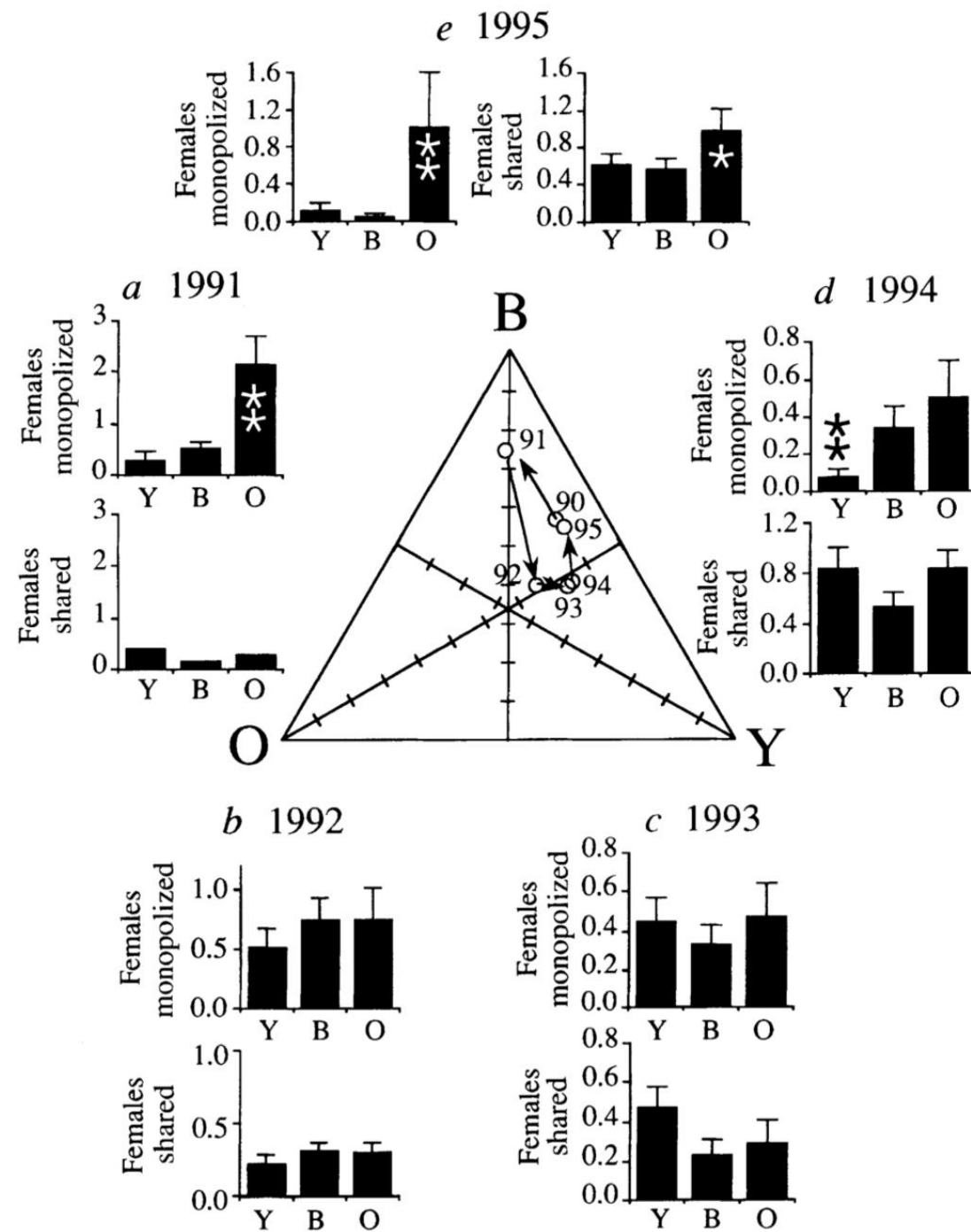
The Rock-Papers-Scissors Game and the Evolution of Sexual Selection

MANY species exhibit colour polymorphisms associated with alternative male reproductive strategies, including territorial males and 'sneaker males' that behave and look like females^{1–3}. The prevalence of multiple morphs is a challenge to evolutionary theory because a single strategy should prevail unless morphs have exactly equal fitness^{4,5} or a fitness advantage when rare^{6,7}. We report here the application of an evolutionary stable strategy model to a three-morph mating system in the side-blotched lizard. Using parameter estimates from field data, the model predicted oscillations in morph frequency, and the frequencies of the three male morphs were found to oscillate over a six-year period in the field. The fitnesses of each morph relative to other morphs were non-transitive in that each morph could invade another morph when rare, but was itself invadable by another morph when common. Concordance between frequency-dependent selection and the among-year changes in morph fitnesses suggest that male interactions drive a dynamic 'rock–paper–scissors' game⁷.



We have described the first biological example of a cyclical 'Rock–paper–scissors' game⁷. As in the game where paper beats rock, scissors beat paper, and rock beats scissors, the wide-ranging 'ultradominant' strategy of orange males is defeated by the 'sneaker' strategy of yellow males, which is in turn defeated by the mate-guarding strategy of blue males; the orange strategy defeats the blue strategy to complete the dynamic cycle. Frequency-dependent selection maintains substantial genetic variation in alternative male strategies, while at the same time prohibiting a stable equilibrium in morph frequency. □

The Rock-Papers-Scissors Game and the Evolution of Sexual Selection



III.3 Anwendungsfelder der Spieltheorie

III.3.1 Die Wissenschaft als komplexes Netzwerk (Models of Science Dynamics)

III.3.2 Sozio-ökonomische Labor- und Feldexperimente

III.3.3 Anwendungen in der Biologie

III.3.4 Anwendungen in den Politikwissenschaften

III.3.5 Spieltheorie und Auktionskonzepte

III.3.6 Finanzkrisen und evolutionäre Spiele

III.3.7 Sozio-ökonomische Netzwerke

Anwendungsfelder der Spieltheorie (II)

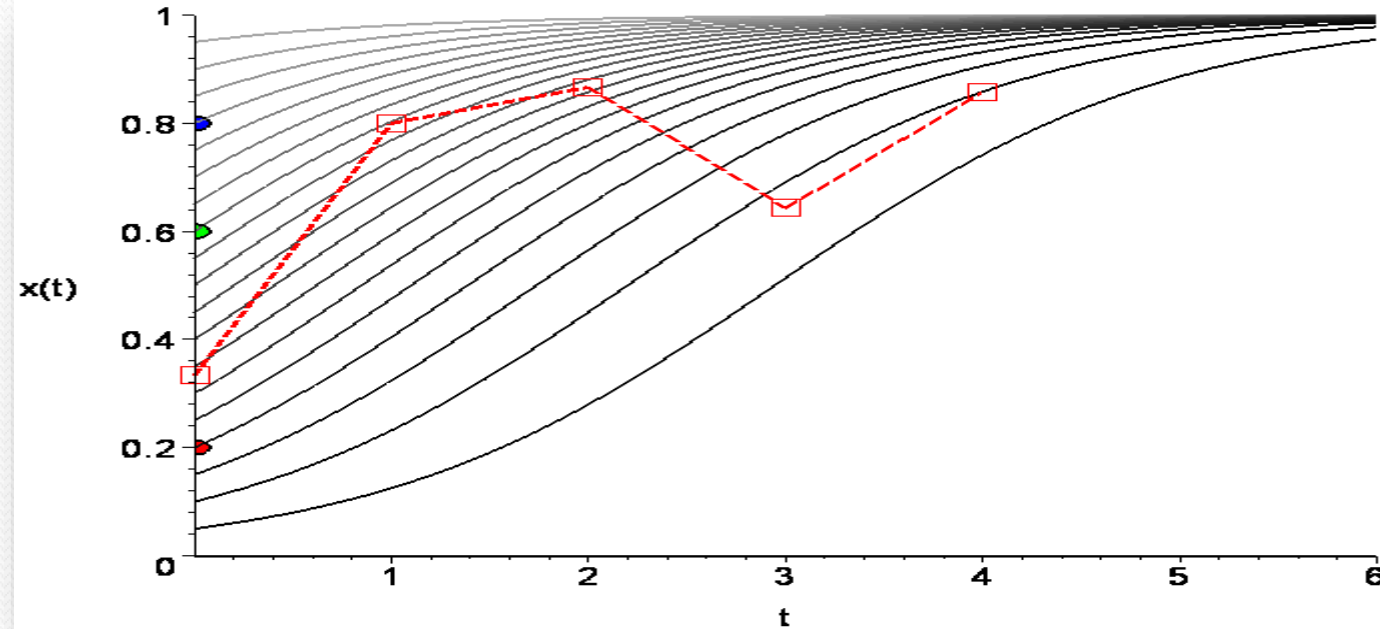
- **Ökonomie**

- **„Public Goods“- (Öffentliches Gut)- Spiele**
 - Trust in Private and Common Property Experiments, Elinor Ostrom, et al.
 - Evolutionary Dynamics in Public Good Games, CHRISTIANE CLEMENS and THOMAS RIECHMANN, Computational Economics (2006) 28: 399–420
 - Institution Formation in Public Goods Games, Michael Kosfeld, Akira Okada, and Arno Riedl, American Economic Review 2009, 99:4, 1335–1355
- **Experimentelle Ökonomie**
 - Cooperation in PD games: Fear, greed, and history of play, T.K. AHN, ELINOR OSTROM, DAVID SCHMIDT, ROBERT SHUPP, Public Choice 106: 137–155, 2001.
- **„Behavioral“- Verhaltensökonomie (Altruismus, Empathie, ...)** z.B.: Fehr et al.
- **Evolution von Informationsnetzwerken**

Theorie \longleftrightarrow Experiment

Experimentelle Ergebnisse des in Lyon gespielten Beispiels 1

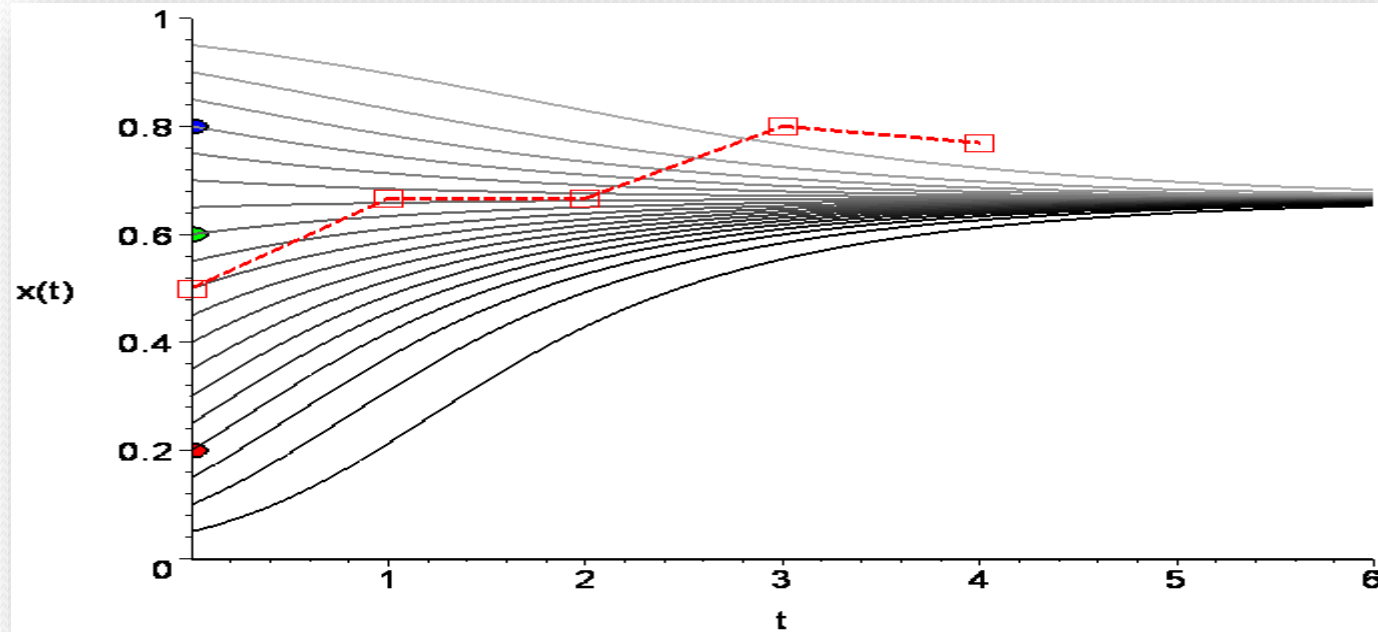
Experimentelle Ökonomie



Das erste Spiel besitzt nur ein Nash-Gleichgewicht das gleichzeitig die dominante Strategie des Spiels ist (Kugel, Kugel). Da es sich bei diesem Beispiel um ein dominantes, symmetrisches (2×2) -Spiel handelt und die Funktion $g(x)$ im relevanten Bereich ($x = [0,1]$) immer größer-gleich Null ist, strebt der Populationsanteil der Kugel-Spieler unabhängig vom Anfangswert immer gegen die evolutionär stabile Strategie $x=1$. Die klassische evolutionäre Spieltheorie sagt demnach voraus, dass die Spieler innerhalb der betrachteten Population nach einer gewissen Zeit maßgeblich die Strategie Kugel wählen ($x=1$). Die rote Kurve in der obigen Abbildung zeigt die experimentellen Ergebnisse des im Vorlesungsteil 4 gespielten Beispiels 1.

Theorie \longleftrightarrow Experiment

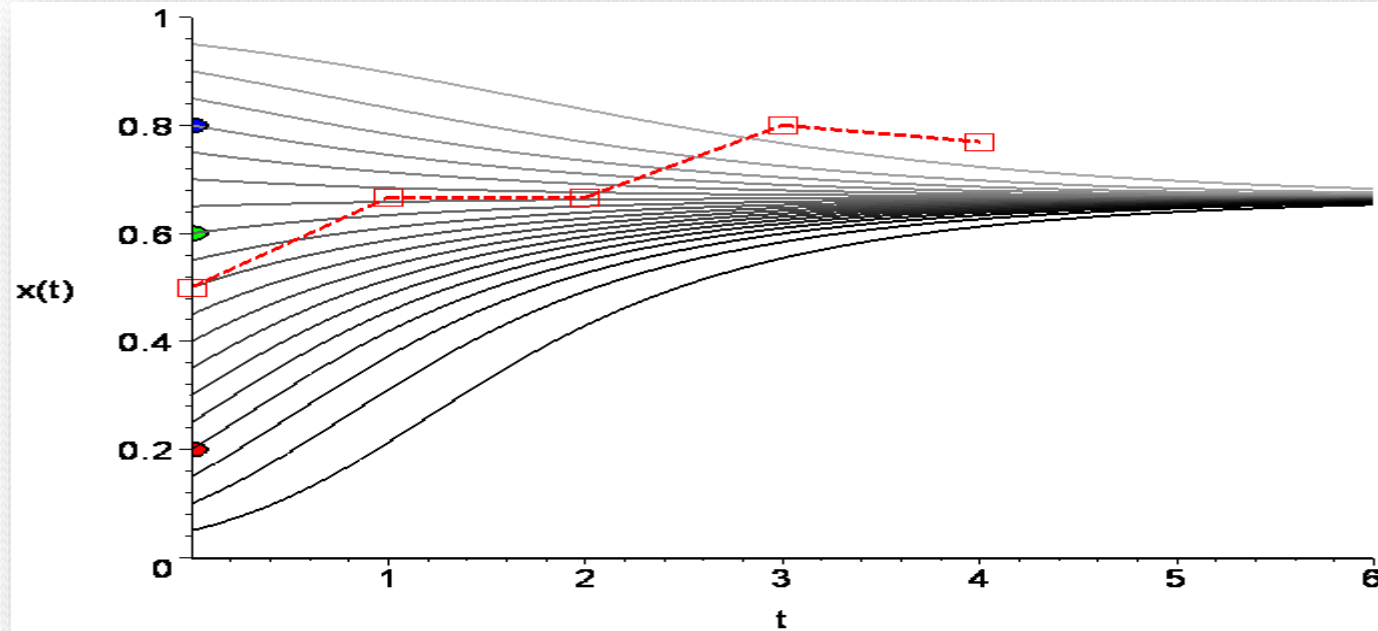
Experimentelle Ergebnisse des in Lyon gespielten Beispiels 2



Das zweite Spiel besitzt keine dominante Strategie, aber zwei unsymmetrische Nash-Gleichgewicht in reinen Strategien ((K,KK) und (KK,K)) und ein gemischtes Nash-Gleichgewicht (0.67 K, 0.33 KK). Da es sich bei diesem Beispiel um ein symmetrisches Anti-Koordinationsspiel handelt, strebt der Populationsanteil der Kugel-Spieler unabhängig vom Anfangswert immer zu dem gemischten Nash-Gleichgewicht (der einzigen evolutionär stabilen Strategie des Spiels), was identisch mit der mittleren Nullstelle der Funktion $g(x)$ ist ($x=0.67$). Die rote Kurve in der obigen Abbildung zeigt die experimentellen Ergebnisse des im Vorlesungsteil 4 gespielten Beispiels 2.

Theorie \longleftrightarrow Experiment

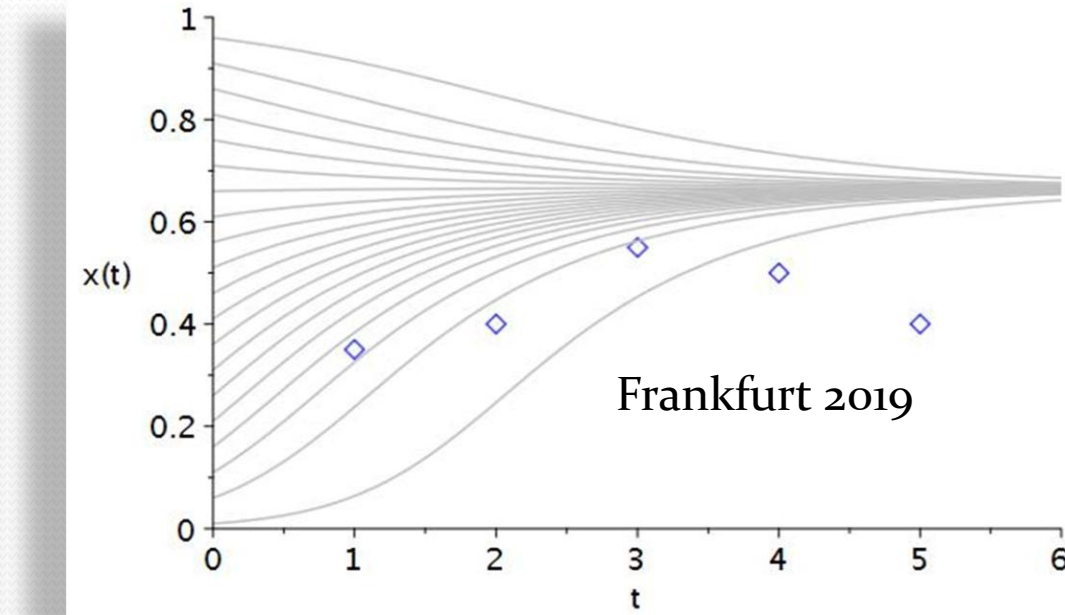
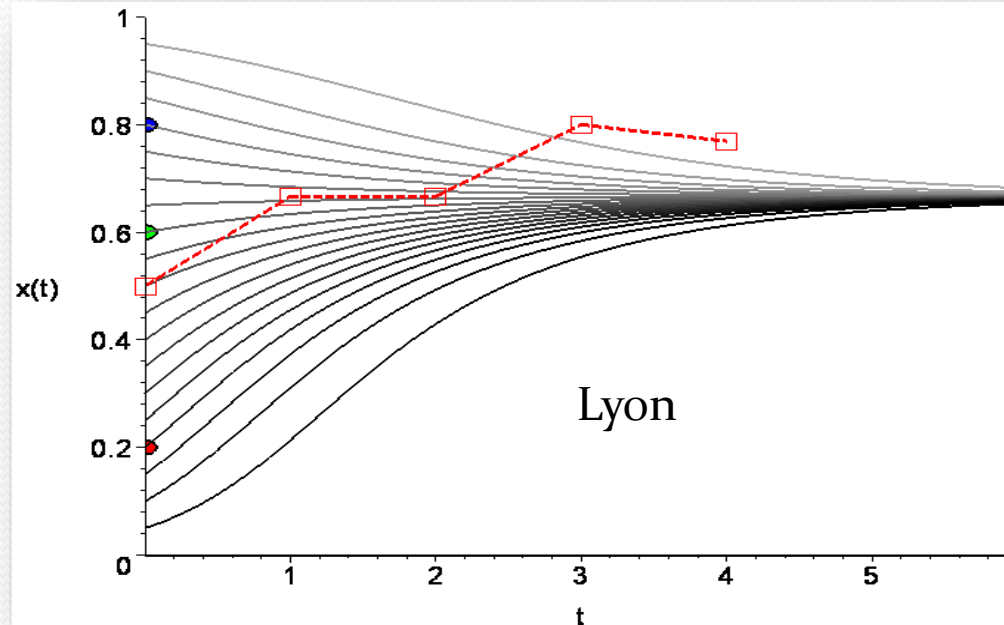
Experimentelle Ergebnisse des in Lyon gespielten Beispiels 2



Das zweite Spiel besitzt keine dominante Strategie, aber zwei unsymmetrische Nash-Gleichgewicht in reinen Strategien ((K,KK) und (KK,K)) und ein gemischtes Nash-Gleichgewicht (0.67 K, 0.33 KK). Da es sich bei diesem Beispiel um ein symmetrisches Anti-Koordinationsspiel handelt, strebt der Populationsanteil der Kugel-Spieler unabhängig vom Anfangswert immer zu dem gemischten Nash-Gleichgewicht (der einzigen evolutionär stabilen Strategie des Spiels), was identisch mit der mittleren Nullstelle der Funktion $g(x)$ ist ($x=0.67$). Die rote Kurve in der obigen Abbildung zeigt die experimentellen Ergebnisse des im Vorlesungsteil 4 gespielten Beispiels 2.

Theorie \longleftrightarrow Experiment

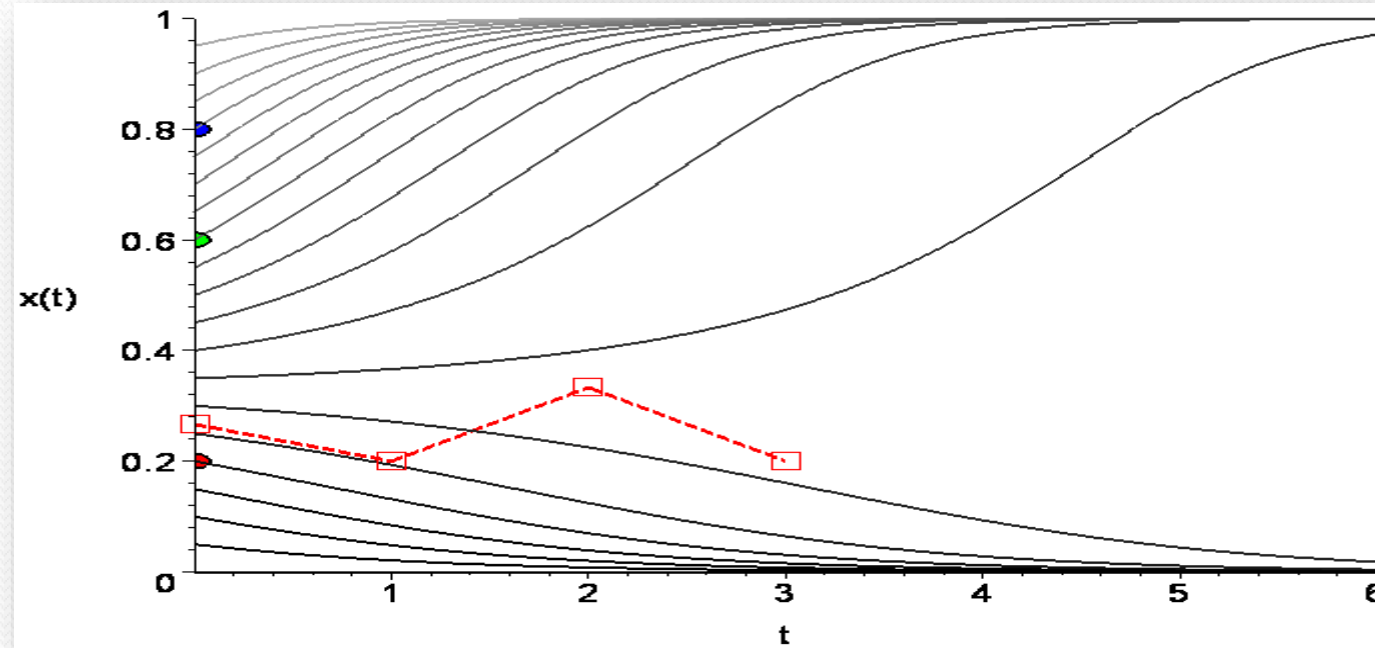
Experimentelle Ergebnisse des Beispiels 2



Das zweite Spiel besitzt keine dominante Strategie, aber zwei unsymmetrische Nash-Gleichgewicht in reinen Strategien ((K,KK) und (KK,K)) und ein gemischtes Nash-Gleichgewicht (0.67 K, 0.33 KK). Da es sich bei diesem Beispiel um ein symmetrisches Anti-Koordinationsspiel handelt, strebt der Populationsanteil der Kugel-Spieler unabhängig vom Anfangswert immer zu dem gemischten Nash-Gleichgewicht (der einzigen evolutionär stabilen Strategie des Spiels), was identisch mit der mittleren Nullstelle der Funktion $g(x)$ ist ($x=0.67$). Die rote Kurve in der linken obigen Abbildung zeigt die experimentellen Ergebnisse des in Lyon gespielten Beispiels 2. Die blauen Punkte in der rechten obigen Abbildung zeigen die experimentellen Ergebnisse des in Frankfurt gespielten Beispiels 2 (zum Vergleich bitte die blauen Punkte um -1 auf der Zeitachse verschieben).

Theorie \longleftrightarrow Experiment

Experimentelle Ergebnisse des in Lyon gespielten Beispiels 3



Das dritte Spiel besitzt ebenfalls keine dominante Strategie, aber zwei symmetrische Nash-Gleichgewicht in reinen Strategien ((K,K) und (KK,KK)) und ein gemischtes Nash-Gleichgewicht (0.33 K , 0.67 KK). Da es sich bei diesem Beispiel um ein symmetrisches Koordinationsspiel handelt, strebt der Populationsanteil der Kugel-Spieler abhängig vom Anfangswert zu einem der beiden reinen Nash-Gleichgewichte ($x=1$ oder $x=0$). Die klassische evolutionäre Spieltheorie sagt demnach voraus, dass es zwei evolutionär stabile Strategien gibt ($x=1$ oder $x=0$). Die rote Kurve in der obigen Abbildung zeigt die experimentellen Ergebnisse des im Vorlesungsteil 4 gespielten Beispiels 3.

Anwendungsfelder der Spieltheorie (III)

- Sozialwissenschaft

- **Kulturelle und moralische Entwicklungen**

- **Evolution of social learning does not explain the origin of human cumulative culture**, Magnus Enquist, Stefano Ghirlanda, Journal of Theoretical Biology 246 (2007) 129–135
 - **EVOLUTION OF MORAL NORMS**, William Harms and Brian Skyrms, For Oxford Handbook on the Philosophy of Biology ed. Michael Ruse

- **Evolution der Sprache**

- **Finite populations choose an optimal language**, Christina Pawlowitsch, Journal of Theoretical Biology 249 (2007) 606–616

- **Soziales Lernen**

- **Evolution of social learning does not explain the origin of human cumulative culture**, Magnus Enquist, Stefano Ghirlanda, Journal of Theoretical Biology 246 (2007) 129–135

- **Evolution von sozialen Normen**

- **Collective Action and the Evolution of Social Norms**, Elinor Ostrom, The Journal of Economic Perspectives, Vol. 14, No. 3 (Summer, 2000), pp. 137-158

- **Evolution von sozialen Netzwerken**

- **GOVERNING SOCIAL-ECOLOGICAL SYSTEMS**, MARCO A. JANSSEN and ELINOR OSTROM
 - **A General Framework for Analyzing Sustainability of Social-Ecological Systems**, Elinor Ostrom, et al., Science 325, 419 (2009)



Physics of Socio-Economic Systems Division

DPG Spring Meeting Berlin, March 25 - 30, 2012

SCOPE

- Financial Markets and Risk Management
- Economic Models and Evolutionary Game Theory
- Traffic Dynamics, Urban and Regional Systems
- Social Systems, Opinion and Group Dynamics
- Networks: From Topology to Dynamics

KEYNOTE TALK

H. Eugene Stanley
(Boston, USA)
"Interdependent Networks and Switching Phenomena"

YOUNG SCIENTIST AWARD FOR SOCIO- AND ECONOPHYSICS*

Keynote Speaker: **Stefan Thurner** (Wien, A)
"The Role of Agent Based Models in Understanding Human Societies"



Registration via <http://berlin12.dpg-tagungen.de/index.html?lang=en>

Conference Languages: English and German

Deadline: December 1st 2011

Young Scientist Award: Call for nominations and applications at
<http://www.dpg-physik.de/dpg/gliederung/fv/soe/YSA/call.html>

Deadline: December 1st 2011

CONTACT

Prof. Dr. Dirk Helbing, Dr. Jörg Reichardt and Dr. Tobias Preis,
Chairmen of the Physics of Socio-Economic Systems Division (Φ-SOE), <http://www.phi-soe.de/>

Tutorial

SOE 1.1 Sun 16:00-18:00 HSZ 04 Collective Dynamics of Firms: A Statistical Physics Approach
•FRANK SCHWEITZER

Focus Session: Swarm Intelligence

SOE 2.1 Mon 10:15-10:45 GÖR 226 Social Media and Attention — •BERNARDO HUBERMAN
SOE 2.2 Mon 10:45-11:15 GÖR 226 Mobilizing society with a red balloon — •RILEY CRANE
SOE 2.3 Mon 11:15-11:45 GÖR 226 Collective behaviour and swarm intelligence — •JENS KRAUSE

Focus Session: GPU-Computing (with DY)

SOE 5.1 Mon 14:00-14:30 GÖR 226 Applications of GPU-Computing in Statistical Physics — •PETER VIRNAU
SOE 5.2 Mon 14:30-15:00 GÖR 226 Accelerating Monte Carlo Simulations in Statistical Physics with GPU's — •DAVID LANDAU

Focus Session: Experimental Methods

SOE 10.1 Tue 13:30-14:00 GÖR 226 Complex Economic Systems in the Laboratory — •CARS HOMMES
SOE 10.2 Tue 14:00-14:30 GÖR 226 Multiplicative Cascades: How to model trip within cities — •MARTA C. GONZÁLEZ
SOE 10.3 Tue 14:30-15:00 GÖR 226 Human behavior on networks: lessons and perspectives from game theory — •ANGEL SÁNCHEZ
SOE 10.4 Tue 15:00-15:30 GÖR 226 Measuring Happiness — •PETER S. DODDS

Young Scientist Award for Socio- and Econophysics

SOE 8.1 Mon 17:00-17:45 HSZ 02 Dragon-kings versus black swans: diagnostics and forecasts for the on-going world financial crisis — •DIDIER SORNETTE
SOE 8.1 Mon 18:00-18:30 HSZ 02 Community structure in networks and statistical physics of social dynamics — •SANTO FORTUNATO

Joint Symposium on Foundations and Perspectives of Climate Engineering (with AKE, UP)

See SYCE for the full program of the symposium.

SYCE 1.1 Tue 10:30-11:00 HSZ 01 Oceanic carbon-dioxide removal options: Potential impacts and side effects — •ANDREAS OSCHLIES
SYCE 1.2 Tue 11:00-11:30 HSZ 01 Climate Engineering through injection of aerosol particles into the atmosphere: physical insights into the possibilities and risks — •MARK LAWRENCE
SYCE 1.3 Tue 11:30-12:00 HSZ 01 Geoengineering - will it change the climate game? — •TIMO GOESCHL
SYCE 1.4 Tue 12:00-12:30 HSZ 01 The gamble with the climate - an experiment — •MANFRED MILINSKI

Plenary Talks related to SOE

PV X Thu 8:30- 9:15 H1 Complex Networks: From Statistical Physics to the Cell — •ALBERT LASZLO BARABASI

Tutorial

SOE 1.1 Sun 16:00-18:00 H10 Time Series Analysis in Sociophysics and Econophysics — •JOHANNES J. SCHNEIDER, •TOBIAS PREIS

Invited Talks

SOE 2.1 Mon 9:30-10:15 H44 Don't panic! - The physics of pedestrian dynamics and evacuation processes — •ANDREAS SCHADSCHNEIDER
SOE 7.1 Tue 9:30-10:00 H44 Humans playing spatial games — •ARNE TRAULSEN
SOE 12.1 Wed 9:30-10:15 H44 The hidden complexity of open source software — •FRANK SCHWEITZER
SOE 17.1 Thu 9:30-10:15 H44 Wave localization in complex networks — •JAN W. KANTELHARDT
SOE 22.1 Fri 9:30-10:15 H44 Hypergraphs and social systems — •GUIDO CALDARELLI

Focus Session: Science of Science

SOE 4.1 Mon 13:30-14:00 H44 Following the actors: individual and collective behavior in epistemic landscapes — •ANDREA SCHARNHORST
SOE 4.2 Mon 14:00-14:30 H44 Tracking science in real-time from large-scale usage data. — •JOHAN BOLLEN
SOE 4.3 Mon 14:45-15:15 H44 Mapping change in science — •MARTIN ROSVALL, CARL BERGSTROM
SOE 4.4 Mon 15:15-15:45 H44 Statistical physics of citation behavior — •SANTO FORTUNATO

Elfmeter im Fussball: Übergang von einem (2x2)-Spiel zu einem (2x3)-Spiel

Wolfgang Leininger and Axel Ockenfels*

The Penalty-Duel and Institutional Design: Is there a Neeskens-Effect?

Abstract

We document an increase in the scoring probability from penalties in soccer, which separates the time period before 1974 significantly from that after 1976: the scoring probability increased by 11%. We explain this finding by arguing that the *institution* of penalty-shooting before 1974 is best described as a *standard of behaviour* for striker and goal-keeper, which in game-theoretic terms represents a 2x2-game. In contrast to this, after 1976 the institution of the penalty-duel is best described by a 3x3 game form constrained by certain behavioural rules. Those rules can be parameterized by a *single* parameter, which nevertheless allows the theoretical reproduction (and hence explanation) of all the empirically documented regularities. The scoring probability in equilibrium of the latter institution is higher than in the former one. We present historical evidence to the effect, that this change in the perception of penalty-duels (as two different games), was caused by Johan Neeskens' shrewd and "revolutionary" penalty-taking during World-Cup 1974, when he shot a penalty in the first minute of the final between Germany and the Netherlands right into the *middle* of the goalmouth.

The following application is based on a working paper by W.Leininger and A.Ockenfels (CESIFO WORKING PAPER No. 2187, 2008). The article focuses on the 'Penalty-Duel' in soccer and describes it as a simultanious two player game – a game between the goalkeeper and the kicker.

Neeskens Elfmeter:

<https://www.youtube.com/watch?v=44HvFzhV9xI>

Artikel:

<https://www.econstor.eu/bitstream/10419/26769/1/528420186.PDF>



Evolutionary Games and Applications: Fifty Years of 'The Logic of Animal Conflict'

Evolutionary Games and Applications: Fifty Years of 'The Logic of Animal Conflict'

Christian Hilbe¹ · Maria Kleshnina² · Kateřina Staňková³

The future of theoretical evolutionary game theory

Arne Traulsen¹ and Nikoleta E. Glynatsi²

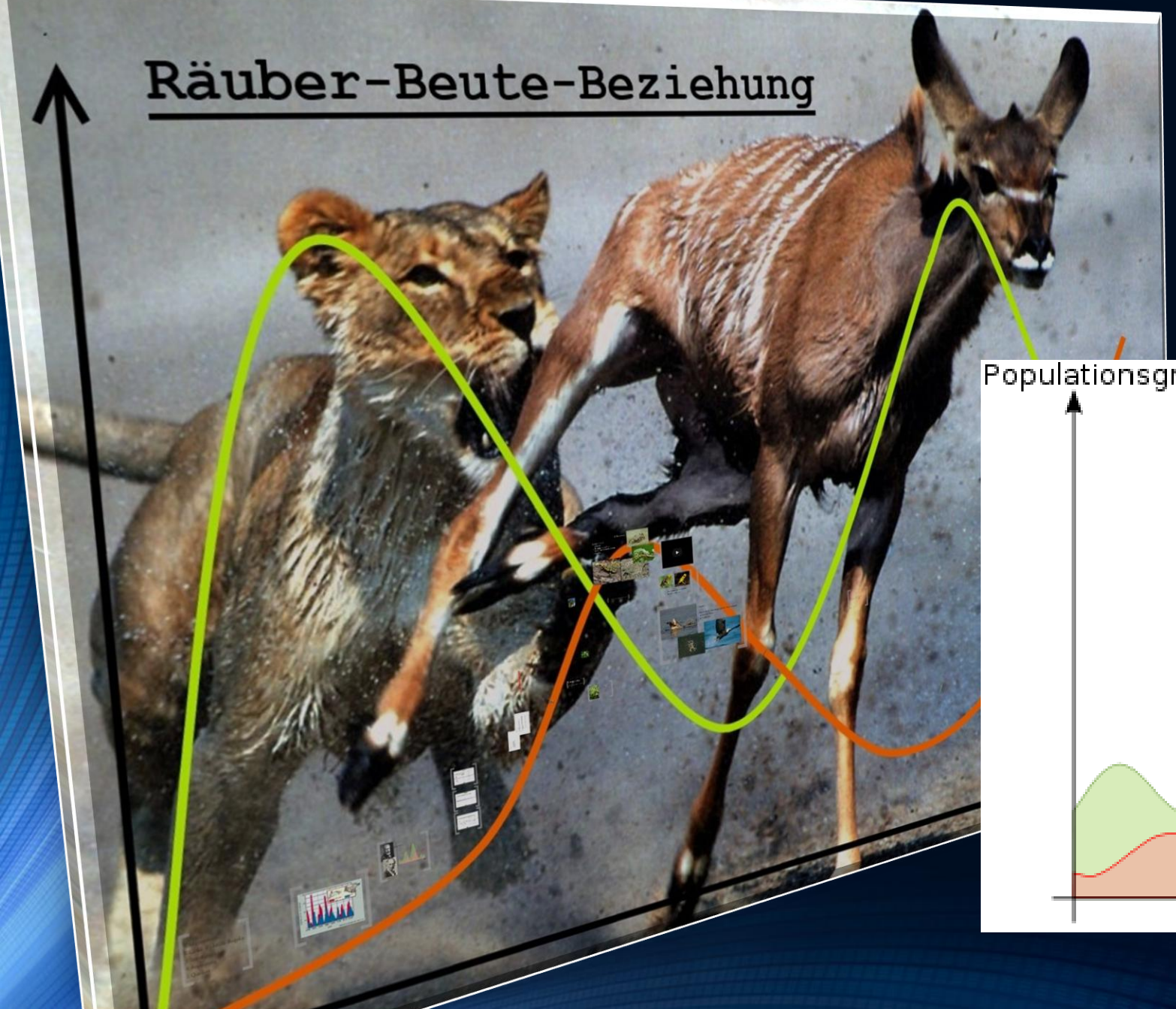
¹Department of Evolutionary Theory, and ²Max Planck Research Group: Dynamics of Social Behavior, Max Planck Institute for Evolutionary Biology, Plön 24306, Germany

 AT, 0000-0002-0669-5267

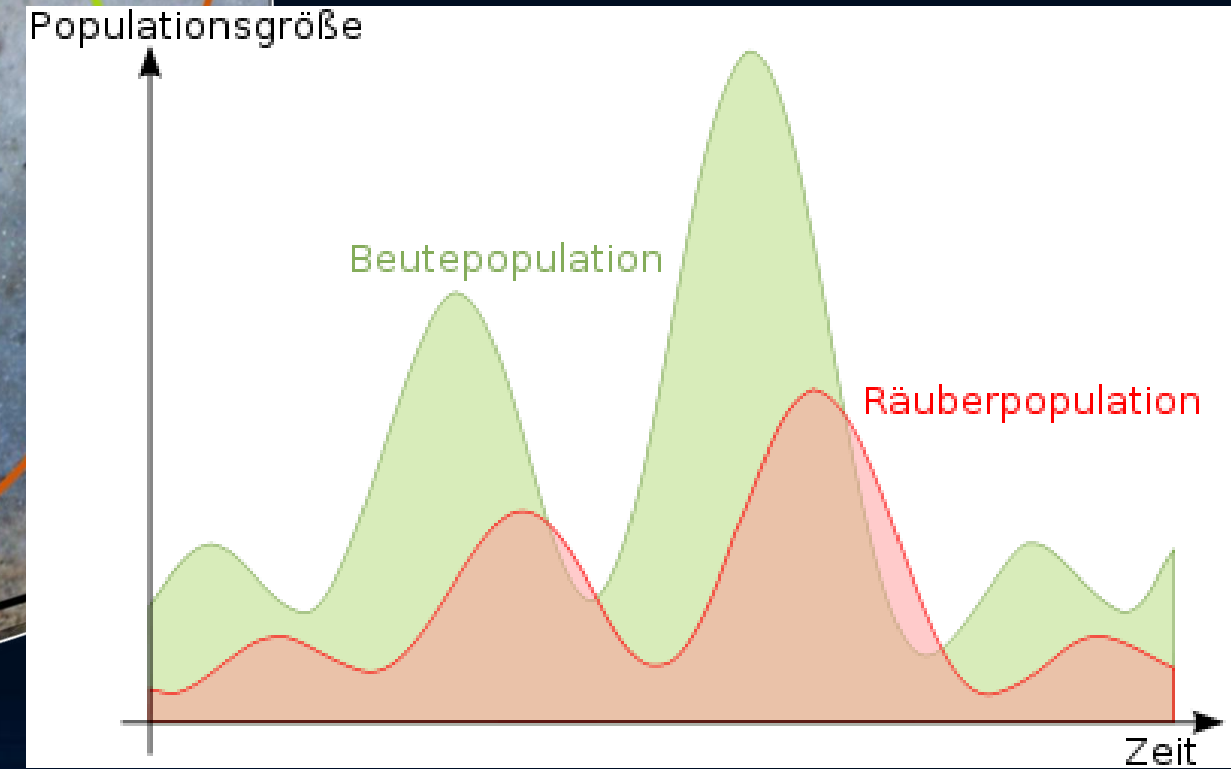
Evolutionary game theory is a truly interdisciplinary subject that goes well



Räuber-Beute-Beziehung



Das Räuber-Beute Spiel



Die Lotka-Volterra-Gleichung (Räuber-Beute-Gleichung) für N-Populationen

Anzahl der Räuber/Beute Wesen
der i-ten Population zur Zeit t

$$\frac{dx_i(t)}{dt} = \left(r_i + \sum_{j=1}^N b_{ij} x_j(t) \right) x_i(t)$$

Reproduktions-
bzw. Sterberaten

Interaktionsmatrix

Evolutionäre Spieltheorie und die Räuber-Beute-Gleichung

Wir wollen nun die Äquivalenz der Räuber-Beute-Gleichung (Lotka-Volterra Gleichung) für n-Populationen mit der Replikatordynamik der evolutionären Spieltheorie für $m = n + 1$ Strategien zeigen. Das System von Differentialgleichungen eines symmetrischen evolutionären Spiels mit m Strategien lautet:

Auf der Internetseite der Vorlesung

$$\frac{dx_i}{dt} = \left(\sum_{j=1}^m \$_{ij} x_j - \sum_{k=1}^m \sum_{j=1}^m \$_{kj} x_k x_j \right) x_i \quad (4)$$

Die Interaktionsmatrix b_{ij} und die intrinsischen Reproduktion-Sterberaten r_i sind dabei mit der Auszahlungsmatrix $\$_{ij}$ des evolutionären Spiels in einer speziellen Weise verknüpft (siehe Sigmund/Hofbauer S:77 bzw. Novak "Evolutionary dynamics", p.68). Es gelten dabei die folgenden Zusammenhänge:

$$r_i = \$_{im} - \$_{mm}, \quad b_{ij} = \$_{ij} - \$_{mj}$$

Jupyter Notebook

Im Folgenden befassen wir uns mit dem Räuber-Beute-Spiel zweier Populationen (Anzahl der Strategien $m=3$, entspricht $n=2$ Populationen) und zeigen anhand der oben behandelten Beispiele, wie die Gleichungen der evolutionären Spieltheorie sich in die der Räuber-Beute-Gleichung überführen lassen.

$$\frac{dX_i(t)}{dt} = \left(r_i + \sum_{j=1}^n b_{ij} X_j(t) \right) X_i(t)$$

Folien der 5. Vorlesung

Vorlesungsaufzeichnung der 5. Vorlesung: [WS 2022/23](#) bzw. [WS 2021/22](#)

[View Jupyter Notebook: Die 19 Klassen der evolutionären symmetrischen \(2x3\)-Spiele](#)

[Download Jupyter Notebook: Die 19 Klassen der evolutionären symmetrischen \(2x3\)-Spiele](#)

Download Python Programm: Evolutionäre Spieltheorie symmetrischer (2x3)-Spiele ([2x3-Spiel_ng.py](#))

[View Jupyter Notebook: Die Räuber-Beute Gleichung im Kontext der evolutionären Spieltheorie](#)

[Download Jupyter Notebook: Die Räuber-Beute Gleichung im Kontext der evolutionären Spieltheorie](#)

[Maple Worksheet: Äquivalenz der Räuber-Gleichung für N-Populationen mit der Replikatorgleichung der evolutionären Spieltheorie für \(N+1\)-Strategien](#)

[Download Jupyter Notebook VPSOC_DGL_1.ipynb](#)

[View Jupyter Notebook VPSOC_DGL_1.html](#)

[Download C++ Programm evol1.cpp](#)

